

ZEITSCHRIFT FÜR PHYSIKALISCHE CHEMIE

BEGRÜNDET VON
WILH. OSTWALD UND J. H. VAN'T HOFF

UNTER MITWIRKUNG VON

ABEL-WIEN, BAUR-ZÜRICH, BENEDICTS-STOCKHOLM, BENNEWITZ-JENA, BILTZ-HANNOVER, BJER-
RUM-KOPENHAGEN, BONHÖFFER-FRANKFURT A. M., BORN-GÖTTINGEN, BRAUNE-HANNOVER, BREDIG-
KARLSRUHE, BRÖNSTED-KOPENHAGEN, CENTNERSZWER-WARSCHAU, CHRISTIANSEN-KOPENHAGEN,
COHEN-GÖTTINGEN, COHEN-UTRECHT, DEBYE-LEIPZIG, EBERT-WÜRZBURG, EGGERT-LEIPZIG, EUCKEN-
GÖTTINGEN, v. EULER-STOCKHOLM, FAJANS-MÜNCHEN, FOERSTER-DRESDEN, FRANCK-GÖTTINGEN,
FREUNDLICH-BERLIN, FRUMKIN-MOSKAU, FÜRTH-FRAG, GERLACH-MÜNCHEN, H. GOLDSCHMIDT-
GÖTTINGEN, V. M. GOLDSCHMIDT-GÖTTINGEN, GRIMM-LUDWIGSHAFEN, HABER-BERLIN, HAHN-BERLIN,
v. HALBAN-ZÜRICH, HANTZSCH-DRESDEN, HENRI-MARSEILLE, HERTZ-BLANK, HERZFELD-BALT-
MORE, v. HEVESTY-FRANKFURT I. B., HINSHELWOOD-OXFORD, HUND-LEIPZIG, HÜTTIG-FRAG, JOFFÉ-
LEWINGRAD, KALLMANN-BERLIN, KOSSEL-KIEL, KRÜGER-GRUNSWALD, LADENBURG-BERLIN,
LANDÉ-TORINGEN, LE BLANC-LEIPZIG, LE CHATELIER-PARIS, LONDON-BERLIN, LUTHER-DRESDEN,
MARK-LUDWIGSHAFEN, MECKE-HIEDELBERG, MEITNER-BERLIN, MEYER-LUDWIGSHAFEN, MITTASCH-
OPPAU, MOLES-MADRID, NERNST-BERLIN, J. UND W. NODDACK-BERLIN, PANETH-KÖNIGSBERG,
POLANYI-BERLIN, RIESENFELD-BERLIN, ROTH-BRAUNSCHWEIG, SCHMIDT-MÜNSTER, SCHOTTKY-
BERLIN, SEMENOFF-LEWINGRAD, SIEGBRANN-UPSALA, SNEKAL-HALLA, SVEDBERG-UPSALA, STERN-
HAMBURG, TAYLOR-FRANCIS, THIEL-MARBURG, TUBANDT-HALLA, VOLMER-BERLIN, WALDEN-
ROSTOCK, v. WARTENBERG-DANKO, WEGSCHEIDER-WIEN, WEIGERT-LEIPZIG, WINTHER-
KOPENHAGEN, WOLF-KIEL UND ANDEREN FACHGENOSSEN

HERAUSGEGEBEN VON

M. BODENSTEIN · C. DRUCKER · G. JOOS · F. SIMON

ABTEILUNG B:

CHEMIE DER ELEMENTARPROZESSE AUFBAU DER MATERIE

SCHRIFTFÜHRUNG:

M. BODENSTEIN · G. JOOS · F. SIMON

14. BAND, HEFT 5

MIT 22 FIGUREN IM TEXT



LEIPZIG 1931 · AKADEMISCHE VERLAGSGESELLSCHAFT M. B. H.

Inhalt.

| | Seite |
|---|-------|
| <i>K. L. Wolf und W. J. Gross</i> , Über die Dipolmomente homologer Alkohole, Ester und Ketone. (Mit 13 Figuren im Text.) (Eingegangen am 30. 8. 31) | 305 |
| <i>H. L. Donle</i> , Über Dipolmomente von Estern mit verzweigten und cyclischen Kohlenwasserstoffresten. (Mit 1 Figur im Text.) (Eingegangen am 30. 8. 31) | 326 |
| <i>O. Fuchs</i> , Über eine allgemeine Formel zur Berechnung von Dipolmomenten. (Mit 3 Figuren im Text.) (Eingegangen am 1. 9. 31) | 339 |
| <i>K. L. Wolf und H. G. Trieschmann</i> , Über die Dipolmomente von Chlortoluolen und Tolunitril. (Eingegangen am 1. 9. 31) | 346 |
| <i>Hermann Lütgert</i> , Über die elektrischen Momente der Nitrohalogenbenzole. (Eingegangen am 3. 9. 31) | 350 |
| <i>H. W. Thompson und C. F. Kearton</i> , Die Verbrennung von Schwefelkohlenstoff mit Sauerstoff. (Mit 1 Figur im Text.) (Eingegangen am 8. 7. 31) | 359 |
| <i>A. Farkas</i> , Über die Parawasserstoffumwandlung an Wolfram und Nickel. (Mit 8 Figuren im Text.) (Eingegangen am 16. 9. 31) | 371 |
| <i>C. Trogus und K. Hess</i> , Über Additionsverbindungen der Cellulose mit Hydrazin, Äthylendiamin und Tetramethyldiamin. (Röntgenographische Untersuchung an Cellulosederivaten. XI.) (Mit 7 Figuren im Text.) (Eingegangen am 20. 8. 31) | 387 |
| <i>Druckfehlerberichtigung</i> | 396 |

Bei der Schriftleitung eingegangene Arbeiten:

| |
|--|
| <i>H. Ehrenberg</i> , Synthese von β -CaSiO ₃ (Wollastonit) durch Reaktion zwischen festen Ausgangsstoffen. (Eingegangen am 30. 9. 31.) |
| <i>Eduard Hertel</i> , Photochemische Kinetik des Chlorknallgases. Bildung von Chlorwasserstoff bei Absorption des Lichtes im Bandengebiet des Chlors. (Eingegangen am 29. 9. 31.) |
| <i>J. H. de Boer</i> , Die Adsorption von Jod an vakuumsublimierten Bariumchloridschichten und ihre Temperaturabhängigkeit. (Eingegangen am 29. 9. 31.) |
| <i>E. Cremer und M. Polanyi</i> , Abschätzung von Molekülgitterabständen aus Resonanzkräften. (Eingegangen am 6. 9. 31.) |
| <i>H. Conrad-Billroth</i> , Optische Untersuchungen des Perylens und seiner Derivate. III. Das ultraviolette Absorptionsspektrum. (Mit 7 Figuren im Text.) (Eingegangen am 8. 10. 31.) |
| <i>K. Weber</i> , Über die enge Beziehung der Fluoreszenzauslöschung zur Hemmung photochemischer Reaktionen. (Mit 6 Figuren im Text.) (Eingegangen am 10. 10. 31.) |
| <i>W. Bodenheimer</i> , Bemerkung zu der Arbeit von O. Hassel und G. Næshagen: „Die elektrischen Momente des Hydrobenzols und Iso-Hydrobenzols.“ (Eingegangen am 10. 10. 31.) |
| <i>Kurt Hess und Carl Trogus</i> , Zur Kenntnis der Reaktionsweise der Cellulose. (Mit 34 Figuren im Text.) (Eingegangen am 8. 9. 31.) |

Bemerkung.

Von sämtlichen Abhandlungen erhalten die Herren Mitarbeiter 100 Gratiasseparata, eine grössere Anzahl auf Wunsch und gegen Erstattung der Herstellungskosten. Es wird ersucht, eine unverbindliche Preisangabe einzufordern.

Den zur Veröffentlichung eingereichten Mitteilungen ist die Versicherung des Verfassers beizufügen, dass eine Publikation an anderer Stelle nicht erfolgt ist und ohne Genehmigung der Redaktion der Zeitschrift nicht erfolgen wird.

Über die Dipolmomente homologer Alkohole, Ester und Ketone.

Von

K. L. Wolf und W. J. Gross.

(Mit 13 Figuren im Text.)

(Eingegangen am 30. 8. 31.)

In der vorliegenden Arbeit werden die Ergebnisse von Messungen von Dipolmomenten homologer Alkohole, Ketone und Ester mitgeteilt. Die Messungen, die ergaben, dass die Grösse der Dipolmomente in den homologen Reihen mit der Kohlenstoffzahl alterniert, werden im Zusammenhang mit anderen alternierenden Eigenschaften kurz diskutiert.

Schliesslich wird eine spezielle Ausführung einer auf dem Schwebungsverfahren beruhenden Apparatur zur Dielektrizitätskonstantenmessung beschrieben, die in mancher Hinsicht besondere Vorteile bietet.

I. Die Grösse der Dipolmomente organischer Moleküle wird im wesentlichen durch die Teilmomente gewisser Gruppen bestimmt, also etwa der *CO*-Gruppe in den Ketonen oder der *OH*-Gruppe in den Alkoholen. Speziell bei gesättigten Kohlenwasserstoffen mit einer polaren Gruppe, also um bei obigem Beispiel zu bleiben, etwa den einwertigen Alkoholen und Ketonen, äussern sich Struktur und Grösse des Kohlenwasserstoffrestes, wenn man von den beiden ersten Gliedern der homologen Reihe absieht, meist kaum wahrnehmbar¹⁾. Es liegen aber bei einigen homologen Reihen Anzeichen dafür vor, dass die Grösse des Moments bei Zunahme der Kohlenstoffzahl in einer Kohlenwasserstoffkette alterniert [Alkohole, Ester, Ketone, Halogenide usw.²⁾]. Da eine eindeutige Aussage darüber, ob solche alternierende Effekte tatsächlich bestehen, auf Grund der bisher vorliegenden Momentmessungen nicht möglich ist, erschien es von Interesse, für einige homologe Reihen Momentmessungen unter denselben Bedingungen mit möglichster Genauigkeit auszuführen. Die im folgenden

¹⁾ Bei den aliphatischen Äthern, bei denen das Moment mit wachsender Kettenlänge abnimmt, liegen Verhältnisse besonderer Art vor (Möglichkeit einer Momentverkleinerung durch Valenzwinkelspreizung am Sauerstoff). ²⁾ Zusammenstellung und Diskussion der diesbezüglichen Beobachtungen siehe Artikel von K. L. WOLF und O. FUCHS in dem von K. FREUDENBERG herausgegebenen Hand- und Hilfsbuch der Stereochemie. Wien 1930/1931.

mitgeteilten Messungen an homologen Alkoholen, Ketonen und Estern sind unter diesem Gesichtspunkt in Angriff genommen worden. Dabei wurde besonderes Gewicht auf die Messung der homologen Ester gelegt, da sich bei diesen eine Reihe weiterer interessanter Gesichtspunkte dadurch ergibt, dass bei diesen eine Änderung der stabilen Lage der Molekülteile aus räumlichen Gründen erfolgen könnte [aus der in den Säuren stabilen Lage¹⁾ der Fig. 1a im Sinne einer Änderung nach Fig. 1b].

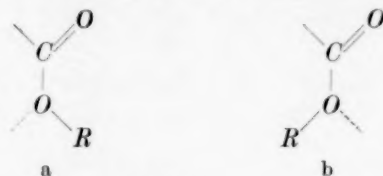


Fig. 1.

Eine solche wäre z. B. bei den Tertiärbutylestern oder Estern mit räumlich ausgedehnten Kohlenwasserstoffringen möglich, bei denen aus dem gleichen Grunde das Einsetzen einer Temperaturabhängigkeit des Dipolmoments bereits bei niedrigeren Temperaturen als bei den Estern mit normaler Kette erwartet werden könnte. Die Voraussetzung für Messungen an Estern dieser Art, über die in einer gleichzeitig erscheinenden Arbeit von H. L. DONLE berichtet wird, bildet aber die genaue Kenntnis der Dipolmomente der homologen Ester mit unverzweigter Kette, so dass auf deren Bestimmung eben aus diesem Grunde besonderer Wert gelegt wurde.

II. Die Messungen wurden bei 22° C nach der Methode der Konzentrationsabhängigkeit der Molekularpolarisation in verdünnten Lösungen (Lösungsmittel: Benzol, Heptan und Tetrachlorkohlenstoff) ausgeführt, indem für eine Reihe von Lösungen (Molenbruch c_1 des gelösten Stoffes von etwa 0.02 bis etwa 0.15 variiert) die Dielektrizitätskonstante ϵ , die Dichte ρ und der Brechungsexponent n bestimmt wurden. Die für verschiedene Wellenlängen des sichtbaren Spektrums gemessenen Brechungsindizes wurden mit Hilfe von Dispersionspapier²⁾ auf unendlich grosse Wellenlängen extrapoliert.

¹⁾ K. L. WOLF, Z. physikal. Ch. (B) 3, 128. 1929. EUCKEN und MEYER, Physikal. Z. 30, 397. 1929. L. MEYER, Z. physikal. Ch. (B) 8, 27. 1930. — Aus dem gleichen Grunde wurden bei einigen Estern (essigsäures Propyl, propionsäures Methyl) die Lösungsmittel variiert.

²⁾ Dispersionspapier von Schleicher & Schüll, in dem mit Hilfe der bekannten Dispersionsformel der Kohlensäure (siehe O. FUCHS, Z. Physik 46, 519. 1928) auf unendliche Wellenlänge extrapoliert wird.

Für die Bestimmung der Dielektrizitätskonstante ϵ wurde eine [im Anschluss an eine bereits früher beschriebene¹⁾] verbesserte Apparatur²⁾ zusammengestellt. Die Messgenauigkeit beträgt $1^0/_{00}$ in $\epsilon-1$ bei einer Temperaturkonstanz des Thermostaten, in dem sich der Flüssigkeitskondensator befindet, von 0.03°C . Die Brechungsexponenten n wurden mit einem Refraktometer nach PULFRICH (Genauigkeit für $n_\infty = 0.2^0/_{00}$), die Dichten ρ mit einem geeigneten Dilatometer (Messgenauigkeit $0.2^0/_{00}$) gemessen.

Die Dipolmomente wurden auf Grund der Messungen aus dem Wert von $({}_0P'_1 + P''_{UR_1})$ unter Berücksichtigung von P''_{UR_1} (siehe weiter unten) erhalten. Dieser wird durch Extrapolation der nach Gleichung

$$P'_1 + P''_{UR_1} = \frac{(P_{12} - R_{\infty 12}) - c_2(P_2 - R_{\infty 2})}{c_1}$$

bestimmten $(P'_1 + P''_{UR_1})$ -Werte auf unendliche Verdünnung erhalten. Dabei bedeuten: c_1 den Molenbruch des gelösten Stoffes, c_2 den des Lösungsmittels, P die Molekularpolarisation, $R_\infty = P''_{El}$ die Molekularrefraktion bei unendlicher Wellenlänge, also die Elektronenverschiebungspolarisation. Der Index 1 bezieht sich auf den gelösten Stoff, der Index 2 auf das Lösungsmittel, der Index 12 auf die Lösung. Der Index 0 (links unten) bedeutet Extrapolation auf $c_1 = 0$, der Index UR Ultrarotanteil.

Die Berechnung der Dipolmomente selbst erfolgt dann nach der DEBYESchen Formel

$$\mu = 0.01273 \sqrt{T} \cdot \sqrt{{}_0P'_1} \cdot 10^{-18} \text{ E. S. E.}$$

Dazu ist die Kenntnis des Ultrarotgliedes der Molekularpolarisation P''_{UR_1} Voraussetzung. Dieses wird, da exakte Angaben nicht möglich sind, gleich 15% von P''_{El} gesetzt³⁾. Neben diesen mit μ bezeichneten Momenten sind in den Tabellen auch die Momente μ' angegeben, die erhalten werden, wenn man das Ultrarotglied gleich Null setzt⁴⁾.

¹⁾ K. L. WOLF, Z. physikal. Ch. (B) **2**, 39. 1929. **3**, 128. 1929. ²⁾ Siehe Anhang.

³⁾ Näheres über die Grösse des Ultrarotgliedes siehe in dem früher erwähnten Artikel von K. L. WOLF und O. FUCHS.

⁴⁾ Die angegebenen Fehlergrenzen sind durch die ϵ -Messung bedingt. Die durch die Unsicherheit des Ultrarotgliedes bedingten Fehler sind darin nicht enthalten, wie die angegebenen μ - und μ' -Werte zeigen.

III. Die Ergebnisse der Messungen sind in den folgenden Tabellen¹⁾ zusammengestellt:

1. Für die Alkohole,
2. für die Ketone und
3. für die Ester.

Tabelle 1. Lösungsmittel.

| | ε | n_{∞} | ϱ | P_2 | P''_{El_2} |
|---------------------------------|---------------|--------------|-----------|-------|--------------|
| Benzol | 2'280 | 1'4745 | 0'87640 | 26'63 | 25'051 |
| Heptan | 1'953 | 1'3886 | 0'71310 | 33'88 | 33'105 |
| Tetrachlorkohlenstoff | 2'242 | 1'4456 | 1'59120 | 28'24 | 25'706 |

Tabelle 2. Methanol²⁾.

| | c_1 | ε | n_{∞} | ϱ | P_{12} | $R_{\infty 12}$ | P_1 | P''_{El_1} | $P'_1 + P''_{UR_1}$ |
|---|---------|---------------|--------------|-----------|----------|-----------------|-------|--------------|---------------------|
| 1 | 0'01867 | 2'357 | 1'4739 | 0'87551 | 27'453 | 24'773 | 70'49 | 10'123 | 60'36 |
| 2 | 0'02727 | 2'395 | 1'4732 | 0'87528 | 27'841 | 24'621 | 70'91 | 9'28 | 61'63 |
| 3 | 0'04827 | 2'500 | 1'4717 | 0'87425 | 28'917 | 24'273 | 73'94 | 8'93 | 65'01 |
| 4 | 0'06749 | 2'605 | 1'4708 | 0'87338 | 29'898 | 23'976 | 75'00 | 9'13 | 65'88 |

$${}_0P'_1 + P''_{UR_1} = 59'0 \pm 1$$

$$P''_{UR_1} = 1$$

$${}_0P'_1 = 58'0 \pm 1$$

$$\mu' = 1'67_9$$

$$\mu = 1'66_4 \pm 0'02$$

Tabelle 3. Äthanol.

| | c_1 | ε | n_{∞} | ϱ | P_{12} | $R_{\infty 12}$ | P_1 | P''_{El_1} | $P'_1 + P''_{UR_1}$ |
|---|---------|---------------|--------------|-----------|----------|-----------------|-------|--------------|---------------------|
| 1 | 0'02252 | 2'374 | 1'4733 | 0'87487 | 27'765 | 24'803 | 76'74 | 14'03 | 62'71 |
| 2 | 0'02699 | 2'390 | 1'4729 | 0'87484 | 27'940 | 24'753 | 76'73 | 13'68 | 63'04 |
| 3 | 0'03647 | 2'440 | 1'4723 | 0'87387 | 28'538 | 24'650 | 78'84 | 14'04 | 64'80 |
| 4 | 0'06185 | 2'561 | 1'4697 | 0'87212 | 29'853 | 24'321 | 78'70 | 13'24 | 65'45 |

$${}_0P'_1 + P''_{UR_1} = 63'0 \pm 1'5$$

$$P''_{UR_1} = 2$$

$${}_0P'_1 = 61'0 \pm 1'5$$

$$\mu' = 1'73_5$$

$$\mu = 1'70_7 \pm 0'02$$

¹⁾ Wo in den Tabellen kein Lösungsmittel angegeben ist, wurde Benzol verwendet. ²⁾ Die Dipolmomente sind in den Tabellen durchweg in 10^{-18} elektrostat. Einh. als Einheit angegeben.

Tabelle 4. Propanol.

| | ϵ_1 | ϵ | n_∞ | ϱ | P_{12} | $R_{\infty 12}$ | P_1 | P''_{El_1} | $P'_1 + P''_{UR_1}$ |
|---|--------------|------------|------------|-----------|----------|-----------------|-------|--------------|---------------------|
| 1 | 0'02803 | 2'392 | 1'4722 | 0'87415 | 28'116 | 25'039 | 79'08 | 17'89 | 61'20 |
| 2 | 0'03010 | 2'399 | 1'4720 | 0'87394 | 28'207 | 24'834 | 78'90 | 17'84 | 61'06 |
| 3 | 0'04529 | 2'470 | 1'4708 | 0'87299 | 29'098 | 24'720 | 81'05 | 17'75 | 63'30 |
| 4 | 0'05598 | 2'519 | 1'4697 | 0'87214 | 29'696 | 24'632 | 81'34 | 17'56 | 63'78 |
| 5 | 0'06953 | 2'581 | 1'4683 | 0'87120 | 30'423 | 24'519 | 81'13 | 17'40 | 63'73 |

$${}_0P'_1 + P''_{UR_1} = 60'0 \pm 1'5$$

$$\mu' = 1'69_3$$

$$P''_{UR_1} = 2'5$$

$${}_0P'_1 = 57'5 \pm 1'5$$

$$\mu = 1'65_7 \pm 0'02$$

Tabelle 5. Butanol.

| | ϵ_1 | ϵ | n_∞ | ϱ | P_{12} | $R_{\infty 12}$ | P_1 | P''_{El_1} | $P'_1 + P''_{UR_1}$ |
|---|--------------|------------|------------|-----------|----------|-----------------|-------|--------------|---------------------|
| 1 | 0'02517 | 2'377 | 1'4726 | 0'87412 | 28'056 | 24'996 | 83'15 | 22'84 | 60'31 |
| 2 | 0'03326 | 2'413 | 1'4718 | 0'87350 | 28'555 | 24'968 | 84'41 | 22'55 | 61'86 |
| 3 | 0'04343 | 2'458 | 1'4709 | 0'87256 | 29'120 | 24'941 | 83'88 | 22'52 | 61'36 |
| 4 | 0'05347 | 2'499 | 1'4698 | 0'87196 | 29'740 | 24'896 | 84'74 | 22'16 | 62'58 |

$${}_0P'_1 + P''_{UR_1} = 61'0 \pm 1'5$$

$$\mu' = 1'70_7$$

$$P''_{UR_1} = 3'3$$

$${}_0P'_1 = 57'7 \pm 1'5$$

$$\mu = 1'66_0 \pm 0'02$$

Tabelle 6. Aceton.

| | ϵ_1 | ϵ | n_∞ | ϱ | P_{12} | $R_{\infty 12}$ | P_1 | P''_{El_1} | $P'_1 + P''_{UR_1}$ |
|---|--------------|------------|------------|-----------|----------|-----------------|--------|--------------|---------------------|
| 1 | 0'01211 | 2'410 | 1'4735 | 0'87554 | 28'406 | 24'952 | 172'20 | 16'84 | 155'36 |
| 2 | 0'02274 | 2'524 | 1'4726 | 0'87486 | 29'879 | 24'863 | 169'55 | 16'75 | 152'80 |
| 3 | 0'02985 | 2'606 | 1'4720 | 0'87434 | 30'882 | 24'804 | 169'37 | 16'79 | 152'58 |
| 4 | 0'03878 | 2'704 | 1'4712 | 0'87361 | 32'043 | 24'732 | 166'13 | 16'56 | 149'57 |
| 5 | 0'04968 | 2'826 | 1'4703 | 0'87281 | 33'401 | 24'646 | 163'02 | 16'89 | 146'13 |

$${}_0P'_1 + P''_{UR_1} = 159'5 \pm 1'5$$

$$\mu' = 2'76_0$$

$$P''_{UR_1} = 2'3$$

$${}_0P'_1 = 157'2 \pm 1'5$$

$$\mu = 2'74_0 \pm 0'02$$

Tabelle 7. Methyläthylketon.

| | ϵ_1 | ϵ | n_∞ | ϱ | P_{12} | $R_{\infty 12}$ | P_1 | P''_{El_1} | $P'_1 + P''_{UR_1}$ |
|---|--------------|------------|------------|-----------|----------|-----------------|-------|--------------|---------------------|
| 1 | 0'01090 | 2'399 | 1'4742 | 0'87619 | 28'330 | — | — | — | 160'29 |
| 2 | 0'02632 | 2'569 | 1'4735 | 0'87594 | 30'534 | — | — | — | 153'69 |
| 3 | 0'03776 | 2'692 | 1'4733 | 0'87516 | 32'066 | — | — | — | 151'68 |
| 4 | 0'04904 | 2'823 | 1'4724 | 0'87455 | 33'604 | — | — | — | 149'83 |

$${}_0P'_1 + P''_{UR_1} = 161 \pm 2$$

$$\mu' = 2'77_3$$

$$P''_{UR_1} = 3$$

$${}_0P'_1 = 158 \pm 2$$

$$\mu = 2'74_7 \pm 0'02$$

Tabelle 8. Methylpropylketon.

| | c_1 | ε | n_{∞} | ϱ | P_{12} | $R_{\infty 12}$ | P_1 | P''_{El_1} | $P'_1 + P''_{UR_1}$ |
|---|---------|---------------|--------------|-----------|----------|-----------------|--------|--------------|---------------------|
| 1 | 0'01376 | 2'423 | 1'4731 | 0'87519 | 28'732 | 25'057 | 178'94 | 25'44 | 153'50 |
| 2 | 0'01767 | 2'465 | 1'4727 | 0'87494 | 29'322 | 25'056 | 179'22 | 25'27 | 153'95 |
| 3 | 0'03923 | 2'695 | 1'4704 | 0'87316 | 32'393 | 25'058 | 173'53 | 25'24 | 148'29 |
| 4 | 0'04950 | 2'803 | 1'4693 | 0'87231 | 33'762 | 25'057 | 170'74 | 25'17 | 145'57 |

$${}_0P'_1 + P''_{UR_1} = 156'5 \pm 2'5$$

$$\mu' = 2'73_2$$

$$P''_{UR_1} = 3'7$$

$${}_0P'_1 = 152'8 \pm 2'5$$

$$\mu = 2'70_1 \pm 0'03$$

Tabelle 9. Methylbutylketon.

| | c_1 | ε | n_{∞} | ϱ | P_{12} | $R_{\infty 12}$ | P_1 | P''_{El_1} | $P'_1 + P''_{UR_1}$ |
|---|---------|---------------|--------------|-----------|----------|-----------------|--------|--------------|---------------------|
| 1 | 0'00687 | 2'350 | 1'4739 | 0'87577 | 27'706 | 25'090 | 181'11 | 30'55 | 150'56 |
| 2 | 0'01020 | 2'377 | 1'4736 | 0'87563 | 28'120 | 25'099 | 171'28 | 29'71 | 141'57 |
| 3 | 0'01805 | 2'459 | 1'4729 | 0'87493 | 29'361 | 25'162 | 177'60 | 31'20 | 146'40 |
| 4 | 0'02990 | 2'575 | 1'4718 | 0'87380 | 31'006 | 25'213 | 173'41 | 30'54 | 142'87 |

$${}_0P'_1 + P''_{UR_1} = 153 \pm 2$$

$$\mu' = 2'69_0$$

$$P''_{UR_1} = 4'2$$

$${}_0P'_1 = 148'8 \pm 2$$

$$\mu = 2'66_0 \pm 0'02$$

Tabelle 10. Ameisensaures Propyl.

| | c_1 | ε | n_{∞} | ϱ | P_{12} | $R_{\infty 12}$ | P_1 | P''_{El_1} | $P'_1 + P''_{UR_1}$ |
|---|---------|---------------|--------------|-----------|----------|-----------------|-------|--------------|---------------------|
| 1 | 0'02926 | 2'426 | 1'4712 | 0'87679 | 28'791 | 24'985 | 98'03 | 22'79 | 75'24 |
| 2 | 0'05005 | 2'530 | 1'4689 | 0'87679 | 30'262 | 24'945 | 99'02 | 22'92 | 76'10 |
| 3 | 0'07293 | 2'649 | 1'4664 | 0'87737 | 31'844 | 24'855 | 98'20 | 22'78 | 75'42 |
| 4 | 0'09569 | 2'764 | 1'4639 | 0'87746 | 33'340 | 24'840 | 96'81 | 22'85 | 73'96 |

$${}_0P'_1 + P''_{UR_1} = 78'0 \pm 1'5$$

$$\mu' = 1'93_0$$

$$P''_{UR_1} = 3$$

$${}_0P'_1 = 75'0 \pm 1'5$$

$$\mu = 1'89_2 \pm 0'02$$

Tabelle 11. Ameisensaures *i*-Butyl.

| | c_1 | ε | n_{∞} | ϱ | P_{12} | $R_{\infty 12}$ | P_1 | P''_{El_1} | $P'_1 + P''_{UR_1}$ |
|---|---------|---------------|--------------|-----------|----------|-----------------|--------|--------------|---------------------|
| 1 | 0'02371 | 2'395 | 1'4713 | 0'87604 | 28'480 | 25'100 | 103'76 | 27'12 | 76'55 |
| 2 | 0'03642 | 2'462 | 1'4697 | 0'87561 | 29'464 | 25'135 | 103'68 | 27'35 | 76'33 |
| 3 | 0'05727 | 2'558 | 1'4669 | 0'87517 | 31'013 | 25'171 | 102'64 | 27'12 | 75'52 |
| 4 | 0'07603 | 2'647 | 1'4644 | 0'87487 | 32'352 | 25'205 | 101'60 | 27'08 | 74'53 |

$${}_0P'_1 + P''_{UR_1} = 78'0 \pm 1$$

$$\mu' = 1'93_1$$

$$P''_{UR_1} = 4$$

$${}_0P'_1 = 74'0 \pm 1$$

$$\mu = 1'88_0 \pm 0'01$$

Tabelle 12. Essigsäures Methyl.

| | ϵ_1 | ϵ | n_∞ | ϱ | P_{12} | $R_{\infty 12}$ | P_1 | P''_{El_1} | $P'_1 + P''_{UR_1}$ |
|---|--------------|------------|------------|-----------|----------|-----------------|-------|--------------|---------------------|
| 1 | 0'06388 | 2'545 | 1'4672 | 0'8783 | 30'092 | 24'576 | 80'26 | 17'61 | 62'65 |
| 2 | 0'08386 | 2'624 | 1'4650 | 0'8770 | 31'028 | 24'426 | 78'66 | 17'60 | 61'06 |
| 3 | 0'12110 | 2'782 | 1'4608 | 0'8810 | 32'818 | 24'150 | 77'49 | 17'63 | 59'86 |
| 4 | 0'16464 | 2'959 | 1'4558 | 0'8820 | 34'780 | 23'934 | 76'02 | 18'26 | 57'76 |

$${}_0P'_1 + P''_{UR_1} = 66'0 \pm 1$$

$$\mu' = 1'77_6$$

$$P''_{UR_1} = 2'5$$

$${}_0P'_1 = 63'5 \pm 1$$

$$\mu = 1'74_2 \pm 0'015$$

Tabelle 13. Essigsäures Äthyl¹⁾.

| | ϵ_1 | ϵ | n_∞ | ϱ | P_{12} | $R_{\infty 12}$ | P_1 | P''_{El_1} | $P'_1 + P''_{UR_1}$ |
|---|--------------|------------|------------|-----------|----------|-----------------|-------|--------------|---------------------|
| 1 | 0'05146 | 2'500 | 1'4822 | 0'8767 | 30'133 | 25'555 | — | — | 69'78 |
| 2 | 0'07018 | 2'595 | 1'4794 | 0'8776 | 31'145 | 25'459 | — | — | 68'83 |
| 3 | 0'09817 | 2'717 | 1'4755 | 0'8777 | 32'695 | 25'314 | — | — | 66'70 |
| 4 | 0'13540 | 2'883 | 1'4708 | 0'8785 | 34'858 | 25'258 | — | — | 65'02 |

$${}_0P'_1 + P''_{UR_1} = 72'0 \pm 2$$

$$\mu' = 1'85_4$$

$$P''_{UR_1} = 3$$

$${}_0P'_1 = 69'0 \pm 2$$

$$\mu = 1'81_2 \pm 0'03$$

Tabelle 14. Essigsäures Propyl.

| | ϵ_1 | ϵ | n_∞ | ϱ | P_{12} | $R_{\infty 12}$ | P_1 | P''_{El_1} | $P'_1 + P''_{UR_1}$ |
|---|--------------|------------|------------|-----------|----------|-----------------|-------|--------------|---------------------|
| 1 | 0'03954 | 2'452 | 1'4696 | 0'8766 | 29'385 | 25'120 | 95'81 | 26'78 | 69'03 |
| 2 | 0'05344 | 2'513 | 1'4668 | 0'8768 | 30'335 | 25'137 | 95'71 | 26'67 | 69'04 |
| 3 | 0'05938 | 2'535 | 1'4667 | 0'8766 | 30'694 | 25'157 | 94'80 | 26'89 | 67'96 |
| 4 | 0'07684 | 2'611 | 1'4647 | 0'8770 | 31'834 | 25'170 | 94'04 | 26'60 | 67'44 |
| 5 | 0'10010 | 2'710 | 1'4618 | 0'8771 | 33'303 | 25'209 | 93'15 | 26'62 | 66'53 |

$${}_0P'_1 + P''_{UR_1} = 70'5 \pm 2$$

$$\mu' = 1'83_5$$

$$P''_{UR_1} = 4$$

$${}_0P'_1 = 66'5 \pm 2$$

$$\mu = 1'78_2 \pm 0'03$$

Tabelle 15. Essigsäures Propyl in Heptan.

| | ϵ_1 | ϵ | n_∞ | ϱ | P_{12} | $R_{\infty 12}$ | P_1 | P''_{El_1} | $P'_1 + P''_{UR_1}$ |
|---|--------------|------------|------------|-----------|----------|-----------------|-------|--------------|---------------------|
| 1 | 0'04225 | 2'068 | 1'3879 | 0'7182 | 36'630 | 32'920 | 98'69 | 28'71 | 69'98 |
| 2 | 0'05247 | 2'092 | 1'3877 | 0'7194 | 37'190 | 32'854 | 96'59 | 28'32 | 68'27 |
| 3 | 0'06889 | 2'135 | 1'3874 | 0'7217 | 38'133 | 32'738 | 95'38 | 27'79 | 67'59 |
| 4 | 0'08270 | 2'171 | 1'3871 | 0'7236 | 38'914 | 32'633 | 94'43 | 27'40 | 67'03 |
| 5 | 0'10807 | 2'240 | 1'3868 | 0'7265 | 40'446 | 32'499 | 94'69 | 27'50 | 67'19 |

$${}_0P'_1 + P''_{UR_1} = 70'5 \pm 2$$

$$\mu' = 1'83_5$$

$$P''_{UR_1} = 4$$

$${}_0P'_1 = 66'5 \pm 2$$

$$\mu = 1'78_2 \pm 0'03$$

¹⁾ Gemessen von G. BRIEGLER.

Tabelle 16. Essigsäures Propyl in Tetrachlorkohlenstoff.

| | c_1 | ε | n_{20} | ρ | P_{12} | R_{2012} | P_1 | P''_{El_1} | $P'_1 + P''_{UR_1}$ |
|---|---------|---------------|----------|--------|----------|------------|--------|--------------|---------------------|
| 1 | 0'03333 | 2'388 | 1'4427 | 1'5630 | 30'857 | 25'785 | 107'05 | 28'08 | 78'97 |
| 2 | 0'04936 | 2'454 | 1'4413 | 1'5515 | 31'835 | 25'765 | 103'04 | 28'91 | 74'13 |
| 3 | 0'06433 | 2'522 | 1'4400 | 1'5371 | 32'950 | 25'806 | 101'39 | 27'25 | 74'14 |
| 4 | 0'08607 | 2'609 | 1'4380 | 1'5200 | 34'321 | 25'799 | 98'56 | 26'78 | 71'78 |
| 5 | 0'10419 | 2'637 | 1'4364 | 1'5047 | 35'511 | 25'815 | 97'60 | 26'75 | 70'85 |

$${}_0P'_1 + P''_{UR_1} = 80'0 \pm 2$$

$$\mu' = 1'95_5$$

$$P''_{UR_1} = 4$$

$${}_0P'_1 = 76'0 \pm 2$$

$$\mu = 1'90_5 \pm 0'03$$

Tabelle 17. Essigsäures *n*-Butyl.

| | c_1 | ε | n_{20} | ρ | P_{12} | R_{2012} | P_1 | P''_{El_1} | $P'_1 + P''_{UR_1}$ |
|---|---------|---------------|----------|--------|----------|------------|--------|--------------|---------------------|
| 1 | 0'04250 | 2'476 | 1'4692 | 0'8758 | 29'983 | 25'327 | 105'34 | 31'53 | 73'81 |
| 2 | 0'06060 | 2'562 | 1'4667 | 0'8756 | 31'399 | 25'437 | 105'00 | 31'42 | 73'58 |
| 3 | 0'08205 | 2'658 | 1'4640 | 0'8752 | 32'999 | 25'576 | 103'95 | 31'44 | 72'51 |
| 4 | 0'11377 | 2'802 | 1'4599 | 0'8749 | 35'320 | 25'772 | 102'80 | 31'39 | 71'41 |

$${}_0P'_1 + P''_{UR_1} = 75'6 \pm 0'5$$

$$\mu' = 1'90_0$$

$$P''_{UR_1} = 4'6$$

$${}_0P'_1 = 71'0 \pm 0'5$$

$$\mu = 1'84_1 \pm 0'01$$

Tabelle 18. Essigsäures *i*-Butyl.

| | c_1 | ε | n_{20} | ρ | P_{12} | R_{2012} | P_1 | P''_{El_1} | $P'_1 + P''_{UR_1}$ |
|---|---------|---------------|----------|--------|----------|------------|--------|--------------|---------------------|
| 1 | 0'05517 | 2'535 | 1'4672 | 0'8748 | 30'989 | 25'431 | 105'25 | 31'94 | 73'31 |
| 2 | 0'08090 | 2'684 | 1'4638 | 0'8745 | 32'895 | 25'590 | 103'74 | 31'75 | 72'00 |
| 3 | 0'10754 | 2'766 | 1'4610 | 0'8742 | 34'810 | 25'783 | 102'69 | 31'86 | 70'83 |
| 4 | 0'13680 | 2'884 | 1'4563 | 0'8739 | 36'753 | 25'913 | 100'16 | 31'35 | 68'81 |

$${}_0P'_1 + P''_{UR_1} = 76'6 \pm 1$$

$$\mu' = 1'91_3$$

$$P''_{UR_1} = 4'6$$

$${}_0P'_1 = 72'0 \pm 1$$

$$\mu = 1'85_1 \pm 0'015$$

Tabelle 19. Essigsäures *i*-Amyl.

| | c_1 | ε | n_{20} | ρ | P_{12} | R_{2012} | P_1 | P''_{El_1} | $P'_1 + P''_{UR_1}$ |
|---|---------|---------------|----------|---------|----------|------------|--------|--------------|---------------------|
| 1 | 0'04291 | 2'467 | 1'4684 | 0'87675 | 30'070 | 25'473 | 106'33 | 34'89 | 71'44 |
| 2 | 0'06978 | 2'582 | 1'4647 | 0'87673 | 32'160 | 25'740 | 105'67 | 34'93 | 70'74 |
| 3 | 0'07368 | 2'601 | 1'4641 | 0'87620 | 32'558 | 25'825 | 106'74 | 35'56 | 71'18 |
| 4 | 0'11284 | 2'765 | 1'4592 | 0'87616 | 35'472 | 26'196 | 104'81 | 35'20 | 69'61 |
| 5 | 0'12310 | 2'799 | 1'4580 | 0'87626 | 36'070 | 26'251 | 102'95 | 34'80 | 68'05 |

$${}_0P'_1 + P''_{UR_1} = 74'5 \pm 1'5$$

$$\mu' = 1'88_6$$

$$P''_{UR_1} = 4'9$$

$${}_0P'_1 = 69'6 \pm 1'5$$

$$\mu = 1'82_1 \pm 0'02$$

Tabelle 20. Propionsaures Methyl.

| | ϵ_1 | ϵ | n_∞ | ϱ | P_{12} | $R_{\infty 12}$ | P_1 | P''_{El_1} | $P'_1 + P''_{UR_1}$ |
|---|--------------|------------|------------|-----------|----------|-----------------|-------|--------------|---------------------|
| 1 | 0'03174 | 2'398 | 1'4710 | 0'8773 | 28'394 | 24'968 | 81'83 | 22'44 | 59'39 |
| 2 | 0'05262 | 2'485 | 1'4687 | 0'8783 | 29'587 | 24'902 | 82'43 | 22'22 | 60'51 |
| 3 | 0'06593 | 2'533 | 1'4673 | 0'8785 | 30'289 | 24'873 | 82'10 | 22'34 | 59'76 |
| 4 | 0'08271 | 2'600 | 1'4654 | 0'8790 | 31'217 | 24'826 | 82'10 | 22'33 | 59'77 |
| 5 | 0'09607 | 2'647 | 1'4640 | 0'8796 | 31'835 | 24'788 | 80'94 | 22'32 | 58'62 |

$${}_0P'_1 + P''_{UR_1} = 63'0 \pm 2$$

$$\mu' = 1'73_5$$

$$P''_{UR_1} = 3$$

$${}_0P'_1 = 60'0 \pm 2$$

$$\mu = 1'69_3 \pm 0'03$$

Tabelle 21. Propionsaures Methyl in Heptan.

| | ϵ_1 | ϵ | n_∞ | ϱ | P_{12} | $R_{\infty 12}$ | P_1 | P''_{El_1} | $P'_1 + P''_{UR_1}$ |
|---|--------------|------------|------------|-----------|----------|-----------------|-------|--------------|---------------------|
| 1 | 0'04000 | 2'045 | 1'3873 | 0'7180 | 35'936 | 32'771 | 84'35 | 24'75 | 59'60 |
| 2 | 0'06000 | 2'090 | 1'3867 | 0'7204 | 36'857 | 32'536 | 82'69 | 23'62 | 59'07 |
| 3 | 0'09000 | 2'160 | 1'3857 | 0'7239 | 38'202 | 32'158 | 80'52 | 22'06 | 58'46 |
| 4 | 0'09978 | 2'184 | 1'3854 | 0'7255 | 38'599 | 31'981 | 80'35 | 21'79 | 58'56 |

$${}_0P'_1 + P''_{UR_1} = 60'5 \pm 2$$

$$\mu' = 1'70_0$$

$$P''_{UR_1} = 3$$

$${}_0P'_1 = 57'5 \pm 2$$

$$\mu = 1'65_7 \pm 0'03$$

Tabelle 22. Propionsaures Methyl in Tetrachlorkohlenstoff.

| | ϵ_1 | ϵ | n_∞ | ϱ | P_{12} | $R_{\infty 12}$ | P_1 | P''_{El_1} | $P'_1 + P''_{UR_1}$ |
|---|--------------|------------|------------|-----------|----------|-----------------|-------|--------------|---------------------|
| 1 | 0'03406 | 2'370 | 1'4426 | 1'5673 | 30'323 | 25'625 | 86'40 | 23'309 | 63'09 |
| 2 | 0'04022 | 2'390 | 1'4420 | 1'5639 | 30'612 | 25'581 | 87'27 | 22'603 | 64'67 |
| 3 | 0'05009 | 2'425 | 1'4411 | 1'5570 | 31'138 | 25'539 | 85'83 | 22'381 | 63'45 |
| 4 | 0'07572 | 2'518 | 1'4388 | 1'5390 | 32'487 | 25'430 | 84'74 | 22'070 | 62'67 |
| 5 | 0'09347 | 2'584 | 1'4372 | 1'5272 | 33'418 | 25'345 | 83'22 | 21'836 | 61'38 |

$${}_0P'_1 + P''_{UR_1} = 66'0 \pm 2$$

$$\mu' = 1'77_1$$

$$P''_{UR_1} = 3$$

$${}_0P'_1 = 63'0 \pm 2$$

$$\mu = 1'73_5 \pm 0'03$$

Tabelle 23. Propionsaures Äthyl.

| | ϵ_1 | ϵ | n_∞ | ϱ | P_{12} | $R_{\infty 12}$ | F_1 | P''_{El_1} | $P'_1 + P''_{UR_1}$ |
|---|--------------|------------|------------|-----------|----------|-----------------|-------|--------------|---------------------|
| 1 | 0'03825 | 2'434 | 1'4700 | 0'8765 | 29'136 | 25'136 | 92'05 | 27'27 | 64'78 |
| 2 | 0'04930 | 2'480 | 1'4687 | 0'8765 | 29'863 | 25'161 | 92'15 | 27'28 | 64'87 |
| 3 | 0'07547 | 2'579 | 1'4656 | 0'8774 | 31'395 | 25'193 | 89'47 | 26'92 | 62'55 |
| 4 | 0'09761 | 2'668 | 1'4630 | 0'8774 | 32'736 | 25'238 | 88'99 | 26'97 | 62'02 |

$${}_0P'_1 + P''_{UR_1} = 67'5 \pm 2$$

$$\mu' = 1'79_6$$

$$P''_{UR_1} = 4$$

$${}_0P'_1 = 63'5 \pm 2$$

$$\mu = 1'74_2 \pm 0'03$$

Tabelle 24. Propionsaures Propyl.

| | c_1 | ε | n_{∞} | ϱ | P_{12} | $R_{\infty 12}$ | P_1 | P''_{El_1} | $P'_1 + P''_{UR_1}$ |
|---|---------|---------------|--------------|-----------|----------|-----------------|-------|--------------|---------------------|
| 1 | 0'04520 | 2'462 | 1'4687 | 0'87658 | 29'884 | 25'320 | 98'43 | 31'13 | 67'30 |
| 2 | 0'05093 | 2'495 | 1'4679 | 0'87655 | 30'350 | 25'361 | 99'32 | 31'12 | 68'20 |
| 3 | 0'06956 | 2'571 | 1'4655 | 0'87647 | 31'492 | 25'350 | 96'51 | 29'34 | 67'17 |
| 4 | 0'08785 | 2'638 | 1'4632 | 0'87664 | 32'784 | 25'582 | 96'51 | 31'09 | 65'42 |
| 5 | 0'09539 | 2'674 | 1'4622 | 0'87678 | 33'364 | 25'619 | 97'07 | 30'94 | 66'13 |

$${}_0P'_1 + P''_{UR_1} = 70'0 \pm 2$$

$$\mu' = 1'82_9$$

$$P''_{UR_1} = 4'6$$

$${}_0P'_1 = 65'4 \pm 2$$

$$\mu = 1'76_1 \pm 0'03$$

Tabelle 25. Propionsaures Butyl.

| | c_1 | ε | n_{∞} | ϱ | P_{12} | $R_{\infty 12}$ | P_1 | P''_{El_1} | $P'_1 + P''_{UR_1}$ |
|---|---------|---------------|--------------|-----------|----------|-----------------|--------|--------------|---------------------|
| 1 | 0'02067 | 2'369 | 1'4710 | 0'87619 | 28'300 | 25'282 | 106'63 | 36'24 | 70'39 |
| 2 | 0'04553 | 2'475 | 1'4686 | 0'87600 | 30'260 | 25'548 | 105'66 | 35'95 | 69'71 |
| 3 | 0'06713 | 2'564 | 1'4658 | 0'87589 | 31'895 | 25'778 | 104'43 | 35'87 | 68'56 |
| 4 | 0'08770 | 2'644 | 1'4631 | 0'87542 | 33'405 | 25'997 | 103'49 | 35'85 | 67'66 |

$${}_0P'_1 + P''_{UR_1} = 71'5 \pm 1'5$$

$$\mu' = 1'84_8$$

$$P''_{UR_1} = 5'3$$

$${}_0P'_1 = 66'2 \pm 1'5$$

$$\mu = 1'77_8 \pm 0'02$$

Tabelle 26. Buttersaures Methyl.

| | c_1 | ε | n_{∞} | ϱ | P_{12} | $R_{\infty 12}$ | P_1 | P''_{El_1} | $P'_1 + P''_{UR_1}$ |
|---|---------|---------------|--------------|-----------|----------|-----------------|-------|--------------|---------------------|
| 1 | 0'04501 | 2'452 | 1'4690 | 0'8769 | 29'430 | 25'133 | 88'77 | 26'86 | 61'90 |
| 2 | 0'07232 | 2'551 | 1'4656 | 0'8777 | 30'974 | 25'159 | 86'65 | 26'53 | 60'12 |
| 3 | 0'10267 | 2'655 | 1'4612 | 0'8781 | 32'601 | 25'171 | 84'75 | 26'84 | 57'91 |
| 4 | 0'13670 | 2'783 | 1'4567 | 0'8790 | 34'527 | 25'186 | 84'38 | 26'04 | 58'35 |

$${}_0P'_1 + P''_{UR_1} = 65'5 \pm 1'5$$

$$\mu' = 1'76_9$$

$$P''_{UR_1} = 4'9$$

$${}_0P'_1 = 60'6 \pm 1'5$$

$$\mu = 1'70_1 \pm 0'02$$

Tabelle 27. Buttersaures Äthyl.

| | c_1 | ε | n_{∞} | ϱ | P_{12} | $R_{\infty 12}$ | P_1 | P''_{El_1} | $P'_1 + P''_{UR_1}$ |
|---|---------|---------------|--------------|-----------|----------|-----------------|-------|--------------|---------------------|
| 1 | 0'05160 | 2'487 | 1'4680 | 0'8756 | 30'291 | 25'415 | 97'49 | 32'11 | 65'38 |
| 2 | 0'08056 | 2'600 | 1'4643 | 0'8756 | 32'257 | 25'600 | 96'23 | 31'86 | 64'37 |
| 3 | 0'09768 | 2'664 | 1'4620 | 0'8757 | 33'348 | 25'696 | 96'04 | 32'39 | 63'65 |
| 4 | 0'12570 | 2'767 | 1'4585 | 0'8757 | 35'105 | 25'863 | 93'89 | 31'55 | 62'34 |

$${}_0P'_1 + P''_{UR_1} = 68'5 \pm 1$$

$$\mu' = 1'80_9$$

$$P''_{UR_1} = 5'3$$

$${}_0P'_1 = 63'2 \pm 1$$

$$\mu = 1'73_8 \pm 0'02$$

Tabelle 28. Valeriansaures Methyl.

| | e_1 | ε | n_{∞} | ϱ | P_{12} | $R_{\infty 12}$ | P_1 | P''_{El_1} | $P'_1 + P''_{UR_1}$ |
|---|---------|---------------|--------------|-----------|----------|-----------------|-------|--------------|---------------------|
| 1 | 0'02542 | 2'367 | 1'4713 | 0'8762 | 28'226 | 25'218 | 88'67 | 31'63 | 57'04 |
| 2 | 0'03811 | 2'411 | 1'4696 | 0'8762 | 29'030 | 25'298 | 89'55 | 31'54 | 58'01 |
| 3 | 0'04676 | 2'444 | 1'4685 | 0'8761 | 29'613 | 25'353 | 89'83 | 31'40 | 58'43 |
| 4 | 0'09545 | 2'610 | 1'4623 | 0'8762 | 32'471 | 25'593 | 88'40 | 31'26 | 57'14 |
| 5 | 0'10001 | 2'625 | 1'4617 | 0'8762 | 32'824 | 25'670 | 88'17 | 31'23 | 56'94 |

$${}_0P'_1 + P''_{UR_1} = 59'0 \pm 2$$

$$\mu' = 1'67_9$$

$$P''_{UR_1} = 5$$

$${}_0P'_1 = 54'0 \pm 2$$

$$\mu = 1'60_6 \pm 0'03$$

IV. In den Tabellen 29 bis 31 sind die gemessenen Momente, zum Teil zusammen mit Resultaten anderer Messungen an homologen Reihen, übersichtlich zusammengestellt. Aus den Tabellen ersieht man, dass dort, wo bereits andere Messungen vorliegen, die Übereinstimmung der verschiedenen Werte untereinander gut ist.

Tabelle 29. Alkohole.

| Alkohol | 1) | 2) | 3) | 4) | 5) | 6) | 7) | 8) | 9) |
|----------------|--------------------------|------|------|------|-------------------|------|------|------|------|
| Methanol . . . | 1'66 ₄ ± 0'02 | — | 1'73 | — | 1'68 ₀ | — | — | 1'65 | 1'64 |
| Äthanol . . . | 1'70 ₇ ± 0'02 | — | 1'72 | — | 1'69 ₆ | — | — | 1'74 | 1'63 |
| Propanol . . . | 1'65 ₇ ± 0'02 | 1'66 | — | — | 1'65 ₇ | — | — | — | — |
| Butanol . . . | 1'66 ₀ ± 0'02 | — | — | 1'65 | 1'65 ₉ | 1'74 | 1'65 | — | — |

Tabelle 30. Ketone.

| Keton | 1) | 10) |
|---------------------------|--------------------------|------|
| Aceton | 2'74 ₀ ± 0'02 | 2'71 |
| Methyläthylketon | 2'74 ₇ ± 0'02 | 2'79 |
| Methylpropylketon | 2'70 ₁ ± 0'03 | 2'72 |
| Methylbutylketon | 2'66 ₆ ± 0'02 | 2'73 |

- 1) Eigene Messungen. 2) GOSH, Nature **123**, 413. 1929. 3) HOJEN-DAHL, Studies of Dipole-Moments, Kopenhagen 1928. Physikal. Z. **30**, 391. 1929.
 4) LANGE, Z. Physik **33**, 169. 1925. 5) J. B. MILES, Physic. Rev. **34**, 964. 1929.
 6) C. P. SMYTH und W. N. STOOFS, J. Am. chem. Soc. **51**, 3312. 1929. 7) C. P. SMYTH und R. W. DORRTE, J. Am. chem. Soc. **53**, 545. 1931. 8) J. O. STRANATHAN, Physic. Rev. **31**, 653. 1928. 9) J. W. WILLIAMS, Fortschr. d. Chemie, Physik u. physikal. Chemie **20**. 1930. 10) K. L. WOLF, Z. physikal. Ch. (B) **2**, 39. 1928.

Tabelle 31. Ester der Monocarbonsäuren.

| Ester | 1) | 2) |
|----------------------------|-------------------|------|
| Ameisensaures Propyl. . . | $1'89_3 \pm 0'02$ | |
| „ <i>i</i> -Butyl. . . | $1'88_0 \pm 0'01$ | |
| Essigsäures Methyl. . . . | $1'74_2 \pm 0'02$ | 1'75 |
| „ Äthyl. | $1'81_5 \pm 0'03$ | 1'81 |
| „ Propyl. | $1'78_2 \pm 0'03$ | 1'86 |
| „ <i>n</i> -Butyl. | $1'84_1 \pm 0'02$ | 1'85 |
| „ <i>i</i> -Butyl. | $1'85_4 \pm 0'02$ | 1'87 |
| „ <i>i</i> -Amyl. | $1'82_3 \pm 0'02$ | 1'91 |
| Propionsäures Methyl. . . | $1'69_3 \pm 0'03$ | |
| „ Äthyl. | $1'74_2 \pm 0'03$ | |
| „ Propyl. | $1'76_7 \pm 0'03$ | |
| „ Butyl. | $1'77_8 \pm 0'02$ | |
| Buttersäures Methyl. . . . | $1'70_7 \pm 0'02$ | |
| „ Äthyl. | $1'73_8 \pm 0'02$ | |
| Valeriansäures Methyl. . . | $1'60_6 \pm 0'03$ | |

Von besonderem Gewicht ist, dass die eigenen, nach der Methode der Konzentrationsabhängigkeit gewonnenen Werte mit den von MILES angegebenen Werten, die nach der Methode der Temperaturabhängigkeit der Molekularpolarisation des Dampfes gemessen wurden, fast identisch sind, da bei letzteren die Unsicherheit bezüglich des Ultrarotgliedes eliminiert ist. Die Ketone stimmen mit den früheren Messungen von K. L. WOLF, die durch Extrapolation aus Lösungen wesentlich grösserer Konzentration gewonnen wurden, gut überein. Bezüglich der Estermomente, die zum Teil bereits von MÜLLER und SACK gemessen sind, ist zu sagen, dass die Messungen dieser beiden Autoren insoweit nicht als hinreichend zuverlässig angesehen werden können, als dort die von Kahlbaum bezogenen Substanzen ohne vorherige ausreichende Reinigung zu den Messungen verwandt worden sind. Eine Reinigung erwies sich aber nach unseren Erfahrungen als unbedingt notwendig, da in mehreren Fällen aus den ungereinigten Präparaten nur 30 bis 50 % in vollkommener Reinheit erhalten wurden³⁾.

1) Eigene Messungen. 2) MÜLLER und SACK, Physikal. Z. **31**, 174. 1930.

3) Alle Substanzen, an denen unsere Messungen ausgeführt wurden (Kahlbaum „rein“ bzw. „reinst“) sind nach den für optische Reinheit üblichen Methoden gereinigt. Die Reinheit wurde, wo trotzdem noch Vorsicht geboten schien, durch Messung der Ultraviolettabsorption geprüft.

Beim Vergleich der Momentwerte innerhalb einer homologen Reihe zeigt sich, wie man am besten aus den für einige Beispiele gegebenen Darstellungen der Fig. 2 bis 5 sieht, dass dieselben mit der Kohlenstoffzahl N des Kohlenwasserstoffrestes¹⁾ alternieren. Allgemein scheinen Moleküle mit geradzahligem Kohlenstoff eine höhere Momentzahl zu haben, als die mit ungeradzahligem. Ausserdem scheint die Grösse

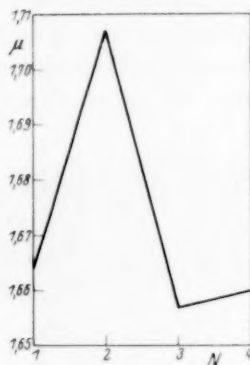


Fig. 2. Momente der Alkohole.

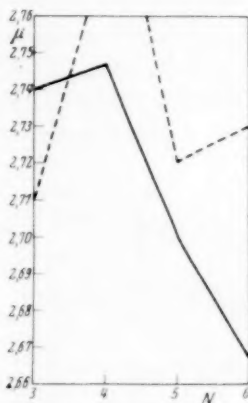


Fig. 3. Momente der Ketone.

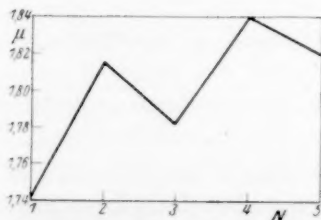


Fig. 4. Momente der Essigsäureester.



Fig. 5. Momente der Methylester der Monocarbonsäuren.

des Moments mit wachsender Kohlenstoffzahl der Kette asymptotisch einem Endwert zuzustreben. Speziell bei den Estern ist aus den Fig. 4 und 5 ersichtlich, dass ihre Momente sich je nachdem, ob man die Zahl der Kohlenstoffatome auf der Seite des Alkohol- oder auf der Seite

¹⁾ In den Figuren bezieht sich N auf die Kohlenstoffzahl des Restes, in dem N variiert wird, so dass also etwa im Essigsäuremethylester $N=1$ ist.

des Säurerestes variiert, verschieden verhalten. Während z. B. die Momente der Essigsäureester (Fig. 4) mit wachsender Kettenlänge grösser werden, nehmen die der Methylester der homologen Säurereihe (Fig. 5) mit wachsender Kettenlänge ab.

Dass die alternierenden Eigenschaften tatsächlich den Momenten zukommen und nicht nur vorgetäuscht sind, zeigt die Fig. 6, aus der hervorgeht, dass die Gesamtpolarisation, nicht aber P''_{El} alterniert.

V. Das Auftreten dieser alternierenden Dipolmomente zeigt besonders deutlich, dass die Ursache von alternierenden Effekten unmittelbar auf den Bau des Einzelmoleküls zurückgeführt werden kann, was aus den meisten anderen Eigenschaften, bei denen alternierende

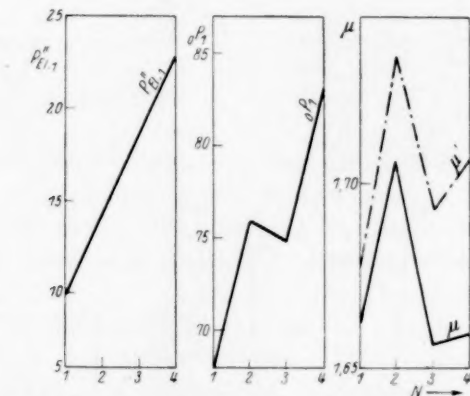


Fig. 6. Refraktion, Polarisation und Dipolmomente der Alkohole.

Effekte schon länger bekannt sind, nicht ohne weiteres geschlossen werden darf. Die Tatsache, dass die Dipolmomente alternieren, gibt also Anhaltspunkte für eine weitere theoretische Behandlung alternierender Eigenschaften überhaupt. Es erscheint deshalb angebracht, in diesem Zusammenhang eine Übersicht über eine Reihe anderer alternierender Eigenschaften zu geben, deren theoretische Deutung zum grössten Teil noch aussteht.

Zunächst sei auf die Arbeiten von H. MEERWEIN¹⁾ hingewiesen, in denen auf Grund rein chemischer Beobachtungen an Pinakolinumlagerungen bereits früher auf eine alternierende „Valenzbeanspruchung“ geschlossen wurde, was offensichtlich ebenfalls, wenn auch in

¹⁾ H. MEERWEIN, Lieb. Ann. **419**, 121. 1919.

physikalisch wenig übersichtlicher Art, darauf hindeutet, dass alternierende Effekte unmittelbar durch den Bau des Moleküls gegeben sind.

Ähnliches gilt für die Verseifungs-, Veresterungs-¹⁾ und Dissoziationskonstanten, deren Differenzen für je zwei benachbarte Glieder der Reihe der homologen Äthylester in der Fig. 7, bzw. deren Zahlenwerte für die Monocarbonsäure in Fig. 8 eingetragen sind.

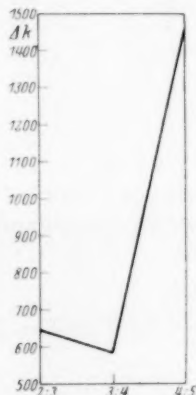


Fig. 7. Differenzen der Verseifungskonstanten der Monocarbonsäureäthylester.

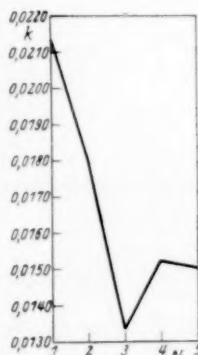


Fig. 8. Dissoziationskonstanten der Monocarbonsäuren.

Eine Reihe weiterer alternierender Effekte ersieht man aus den Fig. 9 bis 11²⁾. Dabei ist zu beachten, dass Gruppen dieser alternierenden Effekte wohl zum grossen Teil gemeinsam auf Grund thermodynamischer Zusammenhänge betrachtet werden müssen und dass ferner bei den ersten Gliedern der einfachen homologen Reihen, sowie bei den ersten Gliedern der Reihen der zweibasischen Säuren³⁾ und bei Ketten mit 5 bzw. 6 Kohlenstoffatomen besondere Verhältnisse vorliegen. Die theoretische Behandlung dieser Zusammenhänge soll einer späteren Arbeit vorbehalten werden.

Abschliessend sei betont, dass die chemischen Eigenschaften (ebenso wie ein Teil der physikalischen) besonders dadurch für eine exakte Diskussion oft ungeeignet sind, dass ihre Kenntnis nur durch relativ harte Eingriffe in das Molekülgefüge gewonnen werden und eventuelle Parallelreaktionen nicht klar genug von dem Hauptvorgang getrennt

¹⁾ Siehe z. B. A. MICHAEL und KWOLGAST, Ber. Dtsch. chem. Ges. **42**, 3157.

²⁾ Die Zahlenwerte sind aus LANDOLT-BÖRNSTEIN, Critical Tables und Z. physikal. Ch. **50**, 43, 1905 entnommen.

³⁾ Hier sollten vor allem Absorptionsmessungen mehr als bisher herangezogen werden.

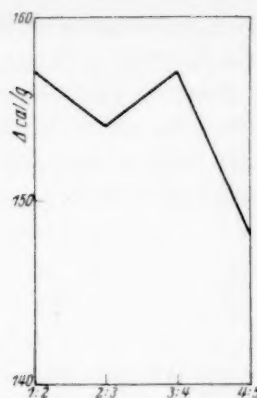


Fig. 9a. Differenzen der Verbrennungswärmen der Alkohole.

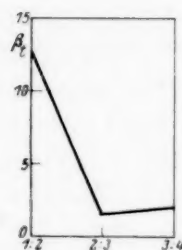


Fig. 9b. Differenzen der mittleren Kompressibilität zwischen 100 und 500 Atm.

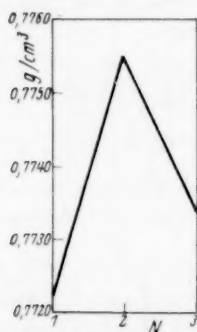


Fig. 9c. Spez. Gewicht der Alkohole beim kritischen Punkt.

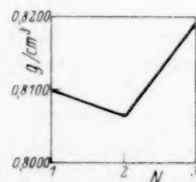


Fig. 9d. Spez. Gewicht der Alkohole bei 0° C.

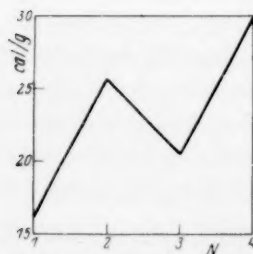


Fig. 9e. Schmelzwärmen der Alkohole.

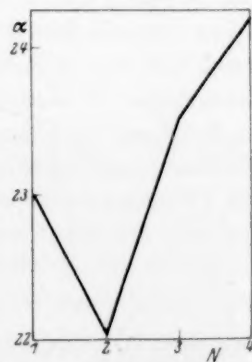


Fig. 9f. Kapillaritätskonstanten gegen den eigenen Dampf bei 20° (in $\alpha \text{ dyn/cm}$) der Alkohole.

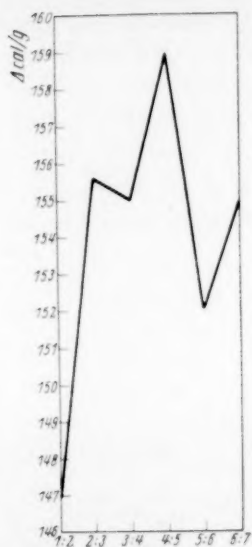


Fig. 10a. Differenz der Verbrennungswärmen der Monocarbonsäuren.

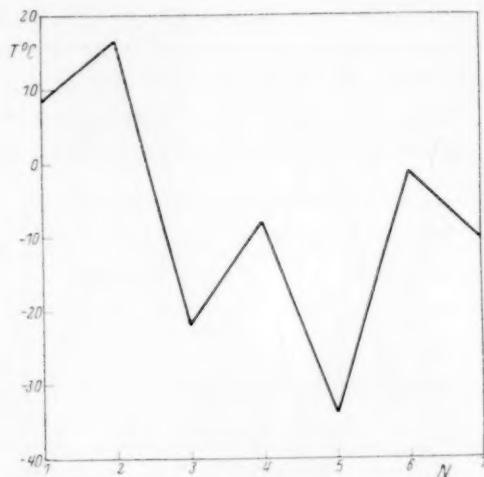


Fig. 10b. Schmelzpunkte der Monocarbonsäuren.

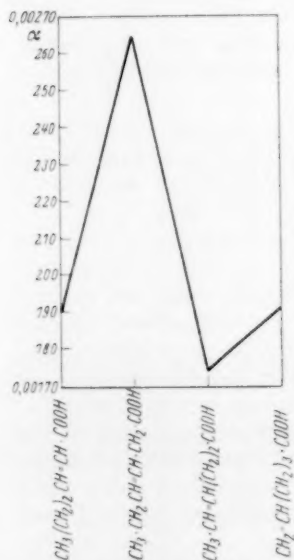


Fig. 10c. Einfluss der Stellung der Doppelbindung auf die Leitfähigkeit α .

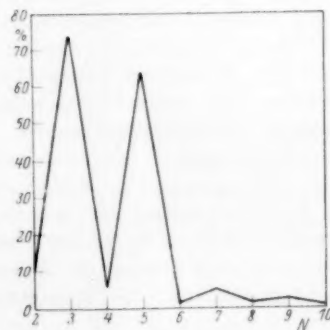


Fig. 10d. Löslichkeit der Dicarbonsäuren in Wasser bei 20°.

werden können. Sie geben zwar qualitativ einwandfrei den Beweis dafür, dass die gerade bzw. ungerade Zahl der Kohlenstoffatome innerhalb einer Reihe sich in den Moleküleigenschaften alternierend äussert, eignen sich aber als Basis einer eingehenden Diskussion weniger als solche Eigenschaften, die unmittelbar das Einzelmolekül charakterisieren, wie das bei den Dipolmomenten der Fall ist, deren Messung zudem keine energischen Eingriffe in das Molekülgefüge erfordert.

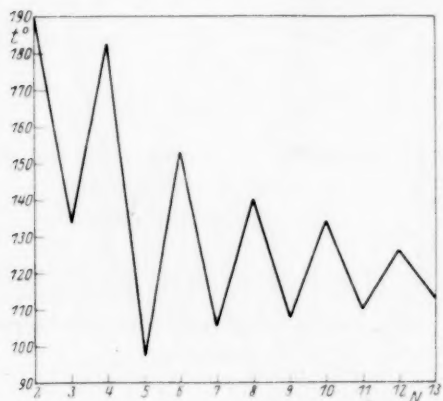


Fig. 10e. Schmelzpunkte der Dicarbonsäuren.

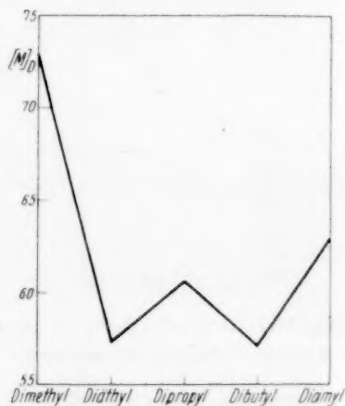


Fig. 10f. Drehungsvermögen der Chlorbernsteinsäureester¹⁾.

VI. Anhang. Bei dem Bau der Apparatur zur Messung der Dielektrizitätskonstanten wurde von einer vorhandenen, auf der Schwebungsmethode beruhenden Apparatur ausgegangen, mit dem Ziel, die Messgenauigkeit und Handlichkeit der Apparatur entsprechend den höheren Anforderungen zu steigern.

Eine Erhöhung der Messgenauigkeit, die dadurch gefordert wurde, dass die relativ kleinen Dipolmomente der Ester und Alkohole möglichst genau gemessen werden sollten, wurde durch bessere Anordnung der Schwingungskreise, vollkommene Abschirmung gegen äussere elektrische Störungen und weitgehenden Schutz gegen mechanische Erschütterungen erzielt.

Der Gesichtspunkt leichter Handhabung schien dadurch gegeben, dass die Dipoleigenschaften heute bereits so weit bei der Behandlung von organischen Problemen Beachtung finden, dass es vorteilhaft sein dürfte, eine Apparatur angeben zu können, die auch im Praktikum oder in der Hand physikalisch weniger gut vorbereiteter Chemiker sicheres und leichtes Arbeiten gewährleistet und fabrikmässig hergestellt werden kann. Die Apparatur²⁾ sei im folgenden kurz beschrieben:

¹⁾ WALDEN, Z. physikal. Ch. **17**, 245. 1895. Siehe auch Handb. d. Physik **20**, 929, Fig. 5. GUYE und CHAVANNE, C. r. **120**, 452. ²⁾ Dieselbe wird, nach unseren Angaben gebaut, von der Firma Spindler & Hoyer, Göttingen, jetzt in den Handel gebracht.

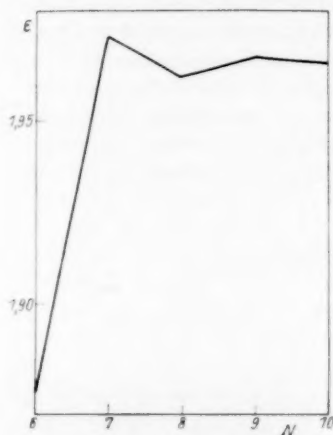


Fig. 11a. Dielektrizitätskonstanten der Paraffine bei 20°.

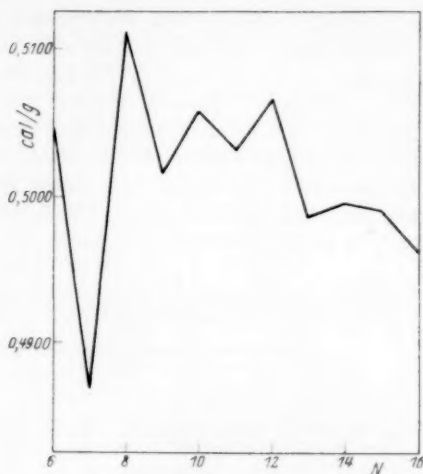


Fig. 11b. Spez. Wärme (c_p) der Paraffine.

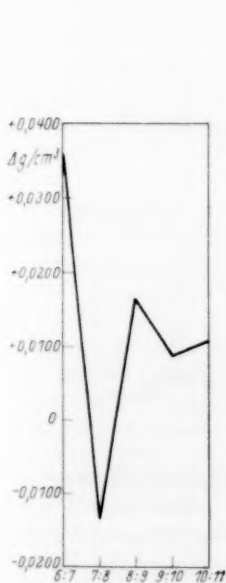


Fig. 11c. Differenz der Dichten der Paraffine.

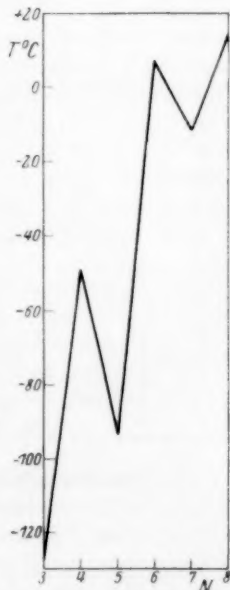


Fig. 11d. Schmelzpunkte der cyclischen Kohlenwasserstoffe.

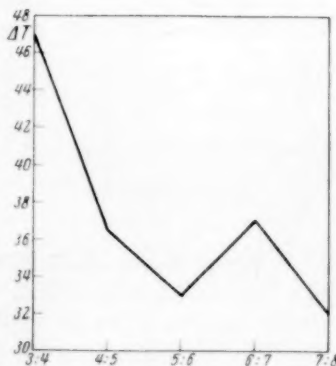


Fig. 11e. Differenzen der Siedepunkte der cyclischen Kohlenwasserstoffe.

Sie besteht aus zwei Schwingungskreisen, die durch eine Doppelspule miteinander gekoppelt sind, von der die Schwebungen über einen Verstärker auf ein Telephone übertragen werden. Die Fig. 12 zeigt den einen Schwingungskreis in einem Anordnungs-, den anderen in einem Schaltschema. Zwischen den beiden Schwingungskreisen befindet sich die Verstärkeranordnung. Sowohl die Schwingungskreise als auch der Verstärker sind in einen dreigeteilten, geerdeten Kasten eingebaut. Dadurch sind sie sowohl nach aussen als auch gegeneinander vollkommen abgeschirmt. Die Zuführung zum Flüssigkeits- bzw. Normalluftkondensator befindet sich in einem geerdeten Metallrohr.

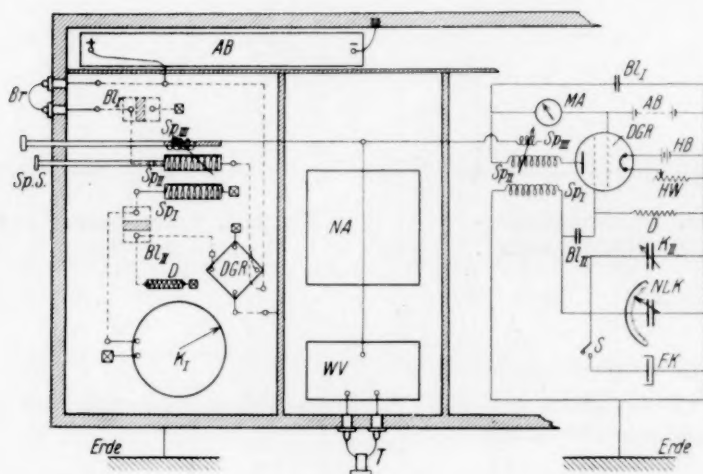


Fig. 12.

$DGR = RE\ 074d$
 $K_I = \text{Drehkond. } 1000\ \text{cm}$
 $K_{II} = \text{„ } 500\ \text{„}$
 $NLK = \text{Normalluftkond.}$
 $FK = \text{Flüssigkeitskond.}$
 $Sp_I = \text{Wabenspule } 75$
 $Sp_{II} = \text{„ } 100$
 $Sp_{III} = \text{Koppelspule } 3Wdg.$

$BL_I = \text{Blockkond. } 250\ \text{cm}$
 $BL_{II} = \text{„ } 100\ \text{„}$
 $D = \text{Widerstand } 2\ \text{Meg } \Omega$
 $AB = \text{Anodenbatterie}$
 $HB = \text{Heizbatterie}$
 $HW = \text{Heizwiderstand}$

$MA = \text{M. Amperemeter}$
 $WV = \text{Widerst.-Verstärker}$
 $NA = \text{Netzanschluss}$
 $T = \text{Telephone}$
 $S = \text{Schalter}$
 $SpS = \text{Spulenschwenker}$
 $Br = \text{Brücke}$
 $\square = \text{Erde}$

Die Schwingungskreise sind auf Pertinaxplatten aufgebaut, deren Unterseiten mit Kupferblech bezogen sind. Sie können in den geerdeten Kasten federnd eingesetzt werden, wobei gleichzeitig ihr Kupferbezug geerdet wird. Das wird ausgenutzt, indem alle Erdungen der Schwingungskreise durch die gelochte Grundplatte mit dem Kupferbezug verbunden werden. Dadurch wird eine weitgehende Platzersparnis und Übersichtlichkeit erzielt. Zugleich werden Überschneidungen und parallellaufende Drähte weitgehend vermieden, wodurch undefinierte Zusatzkapazitäten auf ein Minimum herabgedrückt werden.

Die Daten der Einzelteile sind aus der Zeichenerklärung der Fig. 12 zu ersehen. Die Kombination der verwendeten Selbstinduktionen und Kapazitäten ergibt Wellenlängen von 200 bis 1000 m.

Neben den Schwingungskreisen verdiente, wenn eine höhere Messgenauigkeit erzielt werden sollte, vor allem der Flüssigkeitskondensator besondere Beachtung. Seine Eigenkapazität sollte möglichst gross und absolut reproduzierbar sein. Sie ist bezüglich ihrer Grösse durch den Messbereich und die Messgenauigkeit des verwendeten Normalluftkondensators¹⁾ nach oben begrenzt und beträgt für den in Fig. 13 dargestellten Kondensator 104'97 cm, wenn die grösste der dazugehörigen Satzkapazitäten eingesetzt wird, und 20 cm mit der kleinsten Innenbelegung. Die Konstanz ist in der durch die Messgenauigkeit des Normalluftkondensators gegebenen Grenze ($0'075 \mu\text{F}$) gewährleistet. Durch Verwendung der der grössten Kapazität entsprechenden Innenbelegung ist es möglich, selbst bei Molekülen, deren Dipolmoment nur wenig über $1 \cdot 10^{-18}$ elektrost. Einh. liegt, bei Molenbrüchen von 0'005 die Dielektrizitätskonstante hinreichend genau zu messen, wodurch einmal eine sichere Extrapolation auf $\epsilon_1 = 0^2$) und die Möglichkeit auch bei relativ schwer löslichen Substanzen noch exakte Momentmessungen auszuführen, gegeben wird. Der Kondensator ist auch zur Messung von luftempfindlichen Substanzen geeignet. Er ermöglicht ferner, was bei schwer darstellbaren Substanzen wichtig ist, ein verlustfreies Zurückgewinnen der Lösung und gestattet schliesslich die Ausführung von Messungen unter Überdruck.

Bei Messungen der Temperaturabhängigkeit der Dielektrizitätskonstante ist es vorteilhaft, dass die aus Rotguss (vergoldet) bestehende äussere Belegung als Flüssigkeitsgefäss dient (direktes Einsetzen in den Thermostaten; sehr schneller Temperaturengleich). Gegen die vom Thermostaten verschiedene Aussentemperatur ist der bei der Messung wirksame Teil des Kondensators durch ein System von eingeschliffenen Glasplatten isoliert.

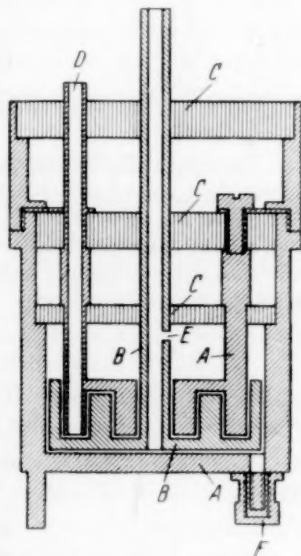


Fig. 13. A = Äussere Belegung.
B = Innere Belegung.
C = Glasplatten. D = Einguss.
E = Luftabzug. F = Ausguss.

¹⁾ Normalluftkondensator von Spindler & Hoyer, Nr. 767. ²⁾ Z. B. bei den stark assoziierten Alkoholen (nichtlinearer Verlauf der $\epsilon - c_1$ -Kurve bis zu sehr kleinen Konzentrationen) von besonderer Wichtigkeit.

Über Dipolmomente von Estern mit verzweigten und cyclischen Kohlenwasserstoffresten.

Von

H. L. Donle.

(Mit 1 Figur im Text.)

(Eingegangen am 30. 8. 31.)

Es werden die Messungen der Dipolmomente von Estern mit verzweigten und ringförmigen Kohlenwasserstoffresten sowie von aromatischen Estern mitgeteilt und diskutiert. Ferner wird auf Grund der Messungen ein Winkelwert für die Lage des Moments in den aliphatischen Benzoessäureestern und in den Phenylestern relativ zum Benzolring berechnet und zur Berechnung der Momente von disubstituierten Benzolderivaten verwendet.

I. Die Dipolmomente der homologen aliphatischen Ester mit normalen Kohlenwasserstoffresten sind, wie in der vorhergehenden Arbeit gezeigt wird, ebenso wie die Dipolmomente in den meisten anderen homologen Verbindungsreihen fast unabhängig von der Länge der Kohlenwasserstoffkette. Während jedoch bei anderen aliphatischen Verbindungen mit nur einer stark polaren Gruppe, z. B. bei den Alkoholen und Ketonen, auch Verzweigung in der Kohlenwasserstoffkette die Werte der Dipolmomente nur unwesentlich ändert, konnte bei den Estern erwartet werden, dass ein Einfluss der Struktur der Kohlenwasserstoffreste sich in der Grösse des Moments deutlich äussern

würde, da die beiden Teilmomente $C=O$ und $O-R$ der $\overset{O}{\diagup}C-O-R$ -Gruppe, falls der unmittelbar am Sauerstoff sitzende Teil des Restes R räumlich viel Platz beansprucht, aus sterischen Gründen eine Aufrichtung aus ihrer stabilen antiparallelen Lage¹⁾ zueinander erfahren könnten, die eine Vergrösserung des Dipolmoments zur Folge hat. In diesem Falle wäre dann auch mit dem Einsetzen einer Temperaturabhängigkeit des Dipolmoments bereits bei niedrigeren Temperaturen als bei Estern mit normaler Kohlenstoffkette zu rechnen²⁾.

¹⁾ K. L. WOLF, Z. physikal. Ch. (B) **3**, 128. 1929. EUCKEN und MEYER, Physikal. Z. **30**, 397. 1929. ²⁾ Dies trifft nur für einbasische Säuren zu; bei zweibasischen liegen die Verhältnisse anders (siehe C. P. SMYTH und W. S. WALLS,

J. Am. chem. Soc. **53**, 527. 1931).

Von solchen Überlegungen ausgehend, wurden in der folgenden Arbeit die Dipolmomente einer Reihe von Estern mit komplizierteren Kohlenwasserstoffresten gemessen, und zwar: 1. Estern von aliphatischen Alkoholen mit verzweigter Kette, 2. Estern von Alkoholen mit gesättigten Ringsystemen¹⁾, 3. Estern von aromatischen Säuren und Phenolen. Die Beobachtungen an den zuletzt genannten Verbindungen schienen ausserdem im Hinblick auf Induktionswirkungen im Benzolring²⁾, deren weitere Untersuchung auf dem Wege der Ultraviolett-absorptionsmessungen in Angriff genommen ist, von besonderem Interesse.

II. Die Messungen wurden bei 22° C in Benzol als Lösungsmittel mit der in der vorhergehenden Arbeit³⁾ beschriebenen Methode und Apparatur ausgeführt. Die Berechnung geschah nach dem dort angegebenen Verfahren, wobei alles über Messgenauigkeit usw. Gesagte, für diese Arbeit Geltung hat. Die folgenden Tabellen bringen die Messergebnisse, nach der in Abschn. I gegebenen Anordnung zusammengestellt.

Tabelle 1. Benzol.

| | | |
|--------------------|------------------------|------------------|
| $\epsilon = 2.280$ | $n_{\infty} = 1.47480$ | $\rho = 0.87654$ |
| $P_2 = 26.630$ | $P''_{El_2} = 25.050$ | |

Tabelle 2⁴⁾. Essigsäureisopropylester.

| | c_1 | ϵ | ρ | n_{∞} | $R_{\infty 12}$ | P_{12} | P_1 | P''_{El_1} | $P'_1 + P''_{UR_1}$ |
|---|---------|------------|---------|--------------|-----------------|----------|--------|--------------|---------------------|
| 1 | 0.11187 | 2.819 | 0.87222 | 1.45830 | 25.26 | 34.92 | 100.71 | 26.96 | 73.75 |
| 2 | 0.09000 | 2.706 | 0.87302 | 1.46140 | 25.22 | 33.29 | 100.59 | 26.95 | 73.63 |
| 3 | 0.06796 | 2.601 | 0.87388 | 1.46460 | 25.18 | 31.71 | 101.32 | 26.96 | 74.36 |
| 4 | 0.05090 | 2.522 | 0.87458 | 1.46700 | 25.13 | 30.49 | 102.36 | 26.72 | 75.65 |

$${}^0P'_1 + P''_{RU_1} = 75.7 \pm 2.5$$

$$\mu' = 1.89_3 \pm 0.015$$

$$P''_{RU_1} = 4.0$$

$${}^0P'_1 = 71.7 \pm 2.5$$

$$\mu = 1.85_1 \pm 0.03$$

¹⁾ Siehe DONLE und WOLF, Z. physikal. Ch. (B) 8, 55. 1930. Die Messungen bedeuten eine Ergänzung der dort mitgeteilten Beobachtungen. ²⁾ Siehe K. L. WOLF und W. HEROLD, Z. physikal. Ch. (B) 13, 201. 1931. ³⁾ K. L. WOLF und W. J. GROSS, Z. physikal. Ch. (B) 14, 322. 1931. ⁴⁾ Die Momente sind in Tabelle 2 bis 19 angegeben in $1 \cdot 10^{-18}$ elektrost. Einh. als Einheit.

Tabelle 3¹⁾. Isopropanol.

| | e_1 | ε | n_∞ | ϱ | P_{12} | $R_{\infty 12}$ | P_1 | P''_{El_1} | $P'_1 + P''_{UR_1}$ |
|--|---------|---------------|------------|-----------|---------------------------|-----------------|-------|--------------|---------------------|
| 1 | 0'12415 | 2'845 | 1'46140 | 0'86512 | 33'37 | 24'06 | 80'91 | 17'11 | 63'80 |
| 2 | 0'08516 | 2'659 | 1'46610 | 0'86836 | 31'38 | 24'41 | 82'34 | 17'57 | 64'77 |
| 3 | 0'06363 | 2'554 | 1'46770 | 0'87030 | 30'15 | 24'55 | 81'94 | 17'26 | 64'68 |
| 4 | 0'04853 | 2'486 | 1'46920 | 0'87180 | 29'32 | 24'66 | 82'01 | 17'12 | 64'89 |
| 5 | 0'04481 | 2'469 | 1'47020 | 0'87202 | 29'12 | 24'73 | 81'31 | 17'20 | 64'14 |
| 6 | 0'03728 | 2'434 | 1'47100 | 0'87276 | 28'67 | 24'78 | 80'53 | 17'30 | 63'36 |
| ${}_0P'_1 + P''_{UR_1} = 63'0 \pm 2'5$ | | | | | $\mu' = 1'72_6 \pm 0'035$ | | | | |
| $P''_{UR_1} = 2'6$ | | | | | | | | | |
| ${}_0P''_1 = 60'4 \pm 2'5$ | | | | | $\mu = 1'69_9 \pm 0'035$ | | | | |

Tabelle 4. Essigsäuretertiärbutylester.

| | e_1 | ε | n_∞ | ϱ | P_{12} | $R_{\infty 12}$ | P_1 | P''_{El_1} | $P'_1 + P''_{UR_1}$ |
|--|---------|---------------|------------|-----------|---------------------------|-----------------|--------|--------------|---------------------|
| 1 | 0'06920 | 2'609 | 1'46470 | 0'87830 | 32'05 | 25'38 | 104'91 | 29'80 | 75'11 |
| 2 | 0'06036 | 2'576 | 1'46610 | 0'87806 | 31'52 | 25'35 | 107'48 | 30'04 | 77'44 |
| 3 | 0'05227 | 2'534 | 1'46740 | 0'87788 | 30'83 | 25'30 | 106'85 | 29'92 | 76'93 |
| 4 | 0'04578 | 2'505 | 1'46800 | 0'87770 | 30'37 | 25'27 | 108'66 | 29'91 | 78'75 |
| 5 | 0'03801 | 2'467 | 1'46940 | 0'87752 | 29'75 | 25'25 | 108'55 | 30'33 | 78'22 |
| ${}_0P'_1 + P''_{UR_1} = 81'0 \pm 2'0$ | | | | | $\mu' = 1'96_6 \pm 0'025$ | | | | |
| $P''_{UR_1} = 4'5$ | | | | | | | | | |
| ${}_0P''_1 = 76'5 \pm 2'0$ | | | | | $\mu = 1'91_2 \pm 0'025$ | | | | |

Tabelle 5²⁾. Tertiärbutanol.

| | e_1 | ε | n_∞ | ϱ | P_{12} | $R_{\infty 12}$ | P_1 | P''_{El_1} | $P'_1 + P''_{UR_1}$ |
|--|---------|---------------|------------|-----------|---------------------------|-----------------|-------|--------------|---------------------|
| 1 | 0'12294 | 2'609 | 1'46010 | 0'86160 | 32'44 | 24'66 | 73'81 | 21'89 | 51'92 |
| 2 | 0'08547 | 2'571 | 1'46400 | 0'86588 | 30'85 | 24'77 | 75'88 | 21'75 | 54'13 |
| 3 | 0'06080 | 2'491 | 1'46700 | 0'86874 | 29'74 | 24'85 | 77'63 | 21'84 | 55'79 |
| 4 | 0'04446 | 2'440 | 1'46930 | 0'87074 | 29'01 | 24'92 | 79'93 | 22'22 | 57'71 |
| 5 | 0'03607 | 2'413 | 1'47020 | 0'87168 | 28'63 | 24'95 | 81'74 | 22'30 | 59'50 |
| ${}_0P'_1 + P''_{UR_1} = 61'0 \pm 1'5$ | | | | | $\mu' = 1'71_0 \pm 0'028$ | | | | |
| $P''_{UR_1} = 3'3$ | | | | | | | | | |
| ${}_0P''_1 = 57'7 \pm 1'5$ | | | | | $\mu = 1'66_1 \pm 0'022$ | | | | |

¹⁾ Bereits früher gemessen von STRANATHAN (Physic. Rev. (2) 31, 653, 1928) zu 1'74, GOSH (Nature 123, 413, 1929) zu 1'78. Die Ursache dafür, dass diese Werte zu gross sind, beruht offensichtlich auf falscher Extrapolation (zu konzentrierte Lösungen). ²⁾ C. P. SMYTH and R. W. DORNT, J. Am. chem. Soc. 53, 545, 1931, zu 1'65 · 10⁻¹⁸.

Tabelle 6. Propionsäure-*l*-menthylester.

| | c_1 | ε | ϱ | n_∞ | P_{12} | $R_{\infty 12}$ | P_1 | P''_{El_1} | $P'_1 + P''_{UR_1}$ |
|---|---------|---------------|-----------|--|----------|---------------------------|--------|--------------|---------------------|
| 1 | 0'10731 | 2'721 | 0'88400 | 1'46380 | 38'10 | 28'834 | 133'67 | 60'47 | 73'27 |
| 2 | 0'06772 | 2'570 | 0'88148 | 1'46780 | 33'94 | 27'458 | 134'55 | 60'64 | 73'90 |
| 3 | 0'05816 | 2'532 | 0'88072 | 1'46880 | 32'93 | 27'124 | 135'11 | 60'90 | 74'20 |
| 4 | 0'04782 | 2'488 | 0'88010 | 1'46970 | 31'80 | 26'751 | 134'73 | 60'69 | 74'03 |
| 5 | 0'03854 | 2'452 | 0'87942 | 1'47070 | 30'84 | 26'421 | 135'93 | 60'71 | 75'22 |
| 6 | 0'02848 | 2'405 | 0'87884 | 1'47170 | 29'70 | 26'059 | 134'35 | 60'64 | 73'76 |
| | | | | ${}_0P'_1 + P''_{UR_1} = 75'0 \pm 1'0$ | | $\mu' = 1'89_7 \pm 0'020$ | | | |
| | | | | $P''_{UR_1} = 9'1$ | | | | | |
| | | | | ${}_0P'_1 = 65'9 \pm 1'0$ | | $\mu = 1'77_5 \pm 0'015$ | | | |

Tabelle 7. *n*-Buttersäure-*l*-menthylester.

| | c_1 | ε | n_∞ | P_{12} | ϱ | $R_{\infty 12}$ | P_1 | P''_{El_1} | $P'_1 + P''_{UR_1}$ |
|---|---------|---------------|------------|--|-----------|---------------------------|--------|--------------|---------------------|
| 1 | 0'11331 | 2'707 | 1'46340 | 38'92 | 0'88370 | 30'24 | 135'05 | 65'05 | 69'99 |
| 2 | 0'09283 | 2'638 | 1'46520 | 36'74 | 0'88252 | 29'42 | 135'48 | 65'16 | 70'32 |
| 3 | 0'07703 | 2'573 | 1'46670 | 34'91 | 0'88174 | 28'78 | 134'04 | 65'26 | 68'78 |
| 4 | 0'05894 | 2'507 | 1'46840 | 32'96 | 0'88040 | 28'06 | 133'91 | 65'35 | 68'55 |
| 5 | 0'03992 | 2'437 | 1'47040 | 30'93 | 0'78932 | 27'28 | 134'11 | 65'51 | 68'60 |
| | | | | ${}_0P'_1 + P''_{UR_1} = 67'7 \pm 1'0$ | | $\mu' = 1'80_7 \pm 0'025$ | | | |
| | | | | $P''_{UR_1} = 9'8$ | | | | | |
| | | | | ${}_0P'_1 = 57'9 \pm 1'0$ | | $\mu = 1'66_4 \pm 0'015$ | | | |

Tabelle 8. *n*-Buttersäure-*l*-bornylester.

| | c_1 | ε | ϱ | n_∞ | P_{12} | $R_{\infty 12}$ | P_1 | P''_{El_1} | $P'_1 + P''_{UR_1}$ |
|---|---------|---------------|-----------|--|----------|---------------------------|--------|--------------|---------------------|
| 1 | 0'1084 | 2'748 | 0'89624 | 1'46680 | 38'55 | 29'05 | 136'57 | 61'94 | 74'63 |
| 2 | 0'07184 | 2'603 | 0'89014 | 1'46980 | 34'62 | 27'73 | 137'88 | 62'45 | 75'44 |
| 3 | 0'05191 | 2'519 | 0'88648 | 1'47150 | 32'45 | 27'01 | 138'75 | 62'91 | 75'83 |
| 4 | 0'03258 | 2'431 | 0'88312 | 1'47310 | 30'26 | 26'30 | 138'07 | 63'37 | 74'69 |
| | | | | ${}_0P'_1 + P''_{UR_1} = 76'0 \pm 1'0$ | | $\mu' = 1'92_5 \pm 0'018$ | | | |
| | | | | $P''_{UR_1} = 9'4$ | | | | | |
| | | | | ${}_0P'_1 = 66'6 \pm 1'0$ | | $\mu = 1'78_4 \pm 0'015$ | | | |

Tabelle 9. Benzoesäuremethylester.

| | c_1 | ε | n_∞ | ϱ | P_{12} | $R_{\infty 12}$ | P_1 | P''_{El_1} | $P'_1 + P''_{UR_1}$ |
|---|---------|---------------|------------|--|----------|--------------------------|--------|--------------|---------------------|
| 1 | 0'12390 | 2'917 | 1'47740 | 0'91146 | 36'45 | 26'44 | 105'92 | 36'32 | 69'60 |
| 2 | 0'08687 | 2'725 | 1'47665 | 0'90130 | 33'65 | 26'03 | 107'47 | 36'42 | 71'05 |
| 3 | 0'06284 | 2'603 | 1'47610 | 0'89466 | 31'79 | 25'75 | 108'80 | 36'38 | 72'42 |
| 4 | 0'04110 | 2'495 | 1'47570 | 0'88854 | 30'10 | 25'51 | 111'19 | 36'64 | 74'55 |
| | | | | ${}_0P'_1 + P''_{UR_1} = 75'8 \pm 1'5$ | | $\mu' = 1'90_7 \pm 0'02$ | | | |
| | | | | $P''_{UR_1} = 5'5$ | | | | | |
| | | | | ${}_1P'_1 = 70'3 \pm 1'5$ | | $\mu = 1'83_4 \pm 0'02$ | | | |

Tabelle 10. Benzoesäureäthylester.

| | c_1 | ε | n_x | ρ | P_{12} | R_{x12} | P_1 | P''_{El_1} | $P'_1 + P''_{UR_1}$ |
|---|---------|---------------|---------|---------|----------|-----------|--------|--------------|---------------------|
| 1 | 0.12708 | 2.995 | 1.47615 | 0.90876 | 38.33 | 27.08 | 118.63 | 41.02 | 77.60 |
| 2 | 0.08614 | 2.752 | 1.47580 | 0.89888 | 34.56 | 26.43 | 118.60 | 41.09 | 77.51 |
| 3 | 0.06570 | 2.628 | 1.47570 | 0.89394 | 32.58 | 26.11 | 118.07 | 41.18 | 76.89 |
| 4 | 0.04321 | 2.508 | 1.47560 | 0.88785 | 30.58 | 25.77 | 117.92 | 41.71 | 76.21 |

$${}_0P'_1 + P''_{UR_1} = 76.2 \pm 1.5$$

$$\mu' = 1.91_7 \pm 0.015$$

$$P''_{UR_1} = 6.2$$

$${}_0P'_1 = 70.0 \pm 1.5$$

$$\mu = 1.82_9 \pm 0.02$$

Tabelle 11. Benzoesäurephenylester.

| | c_1 | ε | n_x | ρ | P_{12} | R_{x12} | P_1 | P''_{El_1} | $P'_1 + P''_{UR_1}$ |
|---|---------|---------------|---------|---------|----------|-----------|--------|--------------|---------------------|
| 1 | 0.11096 | 2.882 | 1.49140 | 0.92916 | 37.90 | 28.50 | 128.21 | 56.18 | 72.03 |
| 2 | 0.07760 | 2.705 | 1.48660 | 0.91464 | 34.61 | 27.44 | 129.37 | 55.89 | 73.48 |
| 3 | 0.05906 | 2.606 | 1.48390 | 0.90600 | 32.76 | 26.87 | 130.44 | 56.06 | 74.38 |
| 4 | 0.03954 | 2.500 | 1.48100 | 0.89674 | 30.77 | 26.27 | 131.36 | 56.15 | 75.21 |

$${}_0P'_1 + P''_{UR_1} = 77.0 \pm 0.5$$

$$\mu' = 1.90_6 \pm 0.02$$

$$P''_{UR_1} = 8.4$$

$${}_0P'_1 = 68.6 \pm 0.5$$

$$\mu = 1.81_1 \pm 0.01$$

Tabelle 12. *o*-Toluylsäuremethylester.

| | c_1 | ε | n_x | ρ | P_{12} | R_{x12} | P_1 | P''_{El_1} | $P'_1 + P''_{UR_1}$ |
|---|---------|---------------|---------|---------|----------|-----------|-------|--------------|---------------------|
| 1 | 0.12544 | 2.764 | 1.47810 | 0.91132 | 35.38 | 27.05 | 96.37 | 41.05 | 55.32 |
| 2 | 0.08738 | 2.618 | 1.47700 | 0.90108 | 32.80 | 26.45 | 97.15 | 41.10 | 56.05 |
| 3 | 0.06486 | 2.536 | 1.47620 | 0.89514 | 31.29 | 26.07 | 98.47 | 40.91 | 57.56 |
| 4 | 0.04297 | 2.449 | 1.47580 | 0.88892 | 29.73 | 25.74 | 98.67 | 41.13 | 57.54 |

$${}_0P'_1 + P''_{UR_1} = 59.6 \pm 1.0$$

$$\mu' = 1.67_8 \pm 0.015$$

$$P''_{UR_1} = 6.2$$

$${}_0P'_1 = 53.4 \pm 1.0$$

$$\mu = 1.59_8 \pm 0.015$$

Tabelle 13. *m*-Toluylsäuremethylester.

| | c_1 | ε | n_x | ρ | P_{12} | R_{x12} | P_1 | P''_{El_1} | $P'_1 + P''_{UR_1}$ |
|---|---------|---------------|---------|---------|----------|-----------|--------|--------------|---------------------|
| 1 | 0.10158 | 2.851 | 1.47670 | 0.90390 | 36.04 | 26.67 | 119.19 | 41.03 | 78.16 |
| 2 | 0.07423 | 2.699 | 1.47640 | 0.89676 | 33.62 | 26.25 | 120.73 | 41.22 | 79.51 |
| 3 | 0.05332 | 2.581 | 1.47600 | 0.89128 | 31.71 | 25.92 | 121.90 | 41.45 | 80.45 |
| 4 | 0.03270 | 2.469 | 1.47570 | 0.88568 | 29.84 | 25.59 | 124.64 | 41.71 | 82.93 |

$${}_0P'_1 + P''_{UR_1} = 83.5 \pm 1.0$$

$$\mu' = 2.01_6 \pm 0.020$$

$$P''_{UR_1} = 6.2$$

$${}_0P'_1 = 77.3 \pm 1.0$$

$$\mu = 1.92_2 \pm 0.015$$

Tabelle 14. *p*-Toluylsäuremethylester.

| | c_1 | ε | n_∞ | ϱ | P_{12} | $R_{\infty 12}$ | P_1 | P''_{El_1} | $P'_1 + P''_{UR_1}$ |
|--|---------|---------------|------------|-----------|---------------------------|-----------------|--------|--------------|---------------------|
| 1 | 0'12474 | 3'068 | 1'47820 | 0'91004 | 39'03 | 27'08 | 125'98 | 41'37 | 84'61 |
| 2 | 0'08672 | 2'830 | 1'47700 | 0'90020 | 35'47 | 26'45 | 128'51 | 41'26 | 87'25 |
| 3 | 0'06429 | 2'690 | 1'47630 | 0'89430 | 33'32 | 26'09 | 130'54 | 41'30 | 89'24 |
| 4 | 0'04482 | 2'569 | 1'47580 | 0'88910 | 31'39 | 25'78 | 132'73 | 41'28 | 91'45 |
| ${}_0P'_1 + P''_{UR_1} = 94'0 \pm 2'0$ | | | | | $\mu' = 2'12_0 \pm 0'020$ | | | | |
| $P''_{UR_1} = 6'2$ | | | | | | | | | |
| ${}_0P'_1 = 87'8 \pm 2'0$ | | | | | $\mu = 2'04_9 \pm 0'023$ | | | | |

Tabelle 15. Essigsäurephenylester.

| | c_1 | ε | n_∞ | ϱ | P_{12} | $R_{\infty 12}$ | P_1 | P''_{El_1} | $P'_1 + P''_{UR_1}$ |
|--|---------|---------------|------------|-----------|---------------------------|-----------------|-------|--------------|---------------------|
| 1 | 0'12284 | 2'733 | 1'47700 | 0'90972 | 34'28 | 26'46 | 88'88 | 36'51 | 52'37 |
| 2 | 0'08658 | 2'602 | 1'47680 | 0'90026 | 32'12 | 26'06 | 89'80 | 36'79 | 53'21 |
| 3 | 0'07464 | 2'560 | 1'47670 | 0'89710 | 31'41 | 25'93 | 90'66 | 36'90 | 53'76 |
| 4 | 0'06288 | 2'514 | 1'47670 | 0'89384 | 30'66 | 25'81 | 90'57 | 37'20 | 53'37 |
| 5 | 0'04469 | 2'448 | 1'47660 | 0'88894 | 29'53 | 25'61 | 91'45 | 37'73 | 53'72 |
| 6 | 0'03057 | 2'394 | 1'47650 | 0'88506 | 28'61 | 25'46 | 91'14 | 38'46 | 52'68 |
| ${}_0P'_1 + P''_{UR_1} = 54'3 \pm 1'0$ | | | | | $\mu' = 1'58_7 \pm 0'015$ | | | | |
| $P''_{UR_1} = 5'5$ | | | | | | | | | |
| ${}_0P'_1 = 48'8 \pm 1'0$ | | | | | $\mu = 1'52_7 \pm 0'015$ | | | | |

Tabelle 16. Propionsäurephenylester.

| | c_1 | ε | n_∞ | ϱ | P_{12} | $R_{\infty 12}$ | P_1 | P''_{El_1} | $P'_1 + P''_{UR_1}$ |
|--|---------|---------------|------------|-----------|---------------------------|-----------------|-------|--------------|---------------------|
| 1 | 0'12395 | 2'750 | 1'47520 | 0'90876 | 35'27 | 26'96 | 96'26 | 40'47 | 55'79 |
| 2 | 0'08640 | 2'605 | 1'47530 | 0'89952 | 32'65 | 26'39 | 96'27 | 40'60 | 55'67 |
| 3 | 0'06377 | 2'518 | 1'47540 | 0'89376 | 31'07 | 26'05 | 96'11 | 40'82 | 55'29 |
| 4 | 0'04711 | 2'455 | 1'47550 | 0'88938 | 29'91 | 25'81 | 96'10 | 41'16 | 54'94 |
| ${}_0P'_1 + P''_{UR_1} = 54'9 \pm 1'0$ | | | | | $\mu' = 1'62_4 \pm 0'010$ | | | | |
| $P''_{UR_1} = 6'1$ | | | | | | | | | |
| ${}_0P'_1 = 48'8 \pm 1'0$ | | | | | $\mu = 1'52_7 \pm 0'016$ | | | | |

Tabelle 17. Essigsäure-*o*-kresylester.

| | c_1 | ε | n_∞ | ϱ | P_{12} | $R_{\infty 12}$ | P_1 | P''_{El_1} | $P'_1 + P''_{UR_1}$ |
|--|---------|---------------|------------|-----------|---------------------------|-----------------|--------|--------------|---------------------|
| 1 | 0'12208 | 2'800 | 1'47510 | 0'90764 | 35'88 | 26'94 | 102'36 | 40'58 | 61'78 |
| 2 | 0'08704 | 2'654 | 1'47510 | 0'89898 | 33'33 | 26'41 | 103'59 | 40'73 | 62'86 |
| 3 | 0'06383 | 2'554 | 1'47520 | 0'89328 | 31'57 | 26'06 | 103'96 | 40'89 | 63'07 |
| 4 | 0'04509 | 2'478 | 1'47520 | 0'88856 | 30'20 | 25'77 | 105'66 | 41'08 | 64'58 |
| ${}_0P'_1 + P''_{UR_1} = 65'0 \pm 1'5$ | | | | | $\mu' = 1'77_5 \pm 0'020$ | | | | |
| $P''_{UR_1} = 6'1$ | | | | | | | | | |
| ${}_0P'_1 = 58'9 \pm 1'5$ | | | | | $\mu = 1'67_5 \pm 0'022$ | | | | |

Tabelle 18. Essigsäure-*m*-kresylester.

| | c_1 | ϵ | n_x | ϱ | P_{12} | R_{x12} | P_1 | P''_{El_1} | $P'_1 + P''_{UR_1}$ |
|--|---------|------------|---------|-----------|---------------------------|-----------|-------|--------------|---------------------|
| 1 | 0.12446 | 2.748 | 1.47500 | 0.90774 | 35.29 | 26.99 | 96.17 | 40.64 | 55.53 |
| 2 | 0.08735 | 2.614 | 1.47500 | 0.89880 | 32.82 | 26.42 | 97.49 | 40.76 | 56.73 |
| 3 | 0.06433 | 2.529 | 1.47510 | 0.89322 | 31.25 | 26.07 | 98.37 | 40.88 | 57.49 |
| 4 | 0.04437 | 2.453 | 1.47510 | 0.88814 | 29.85 | 25.76 | 99.04 | 41.06 | 57.98 |
| ${}_0P'_1 + P''_{UR_1} = 59.5 \pm 1.0$ | | | | | $\mu' = 1.69_1 \pm 0.010$ | | | | |
| $P''_{UR_1} = 6.1$ | | | | | | | | | |
| ${}_0P'_1 = 53.4 \pm 1.0$ | | | | | $\mu = 1.59_s \pm 0.015$ | | | | |

Tabelle 19. Essigsäure-*p*-kresylester.

| | c_1 | ϵ | n_x | ϱ | P_{12} | R_{x12} | P_1 | P''_{El_1} | $P'_1 + P''_{UR_1}$ |
|--|---------|------------|---------|-----------|---------------------------|-----------|-------|--------------|---------------------|
| 1 | 0.12350 | 2.710 | 1.47510 | 0.90746 | 34.79 | 26.98 | 92.62 | 40.69 | 51.93 |
| 2 | 0.08640 | 2.585 | 1.47520 | 0.89860 | 32.42 | 26.41 | 93.55 | 40.84 | 52.71 |
| 3 | 0.06354 | 2.505 | 1.47530 | 0.89306 | 30.91 | 26.06 | 93.89 | 41.06 | 52.83 |
| 4 | 0.04472 | 2.443 | 1.47530 | 0.88818 | 29.72 | 25.78 | 95.58 | 41.37 | 54.21 |
| ${}_0P'_1 + P''_{UR_1} = 54.8 \pm 1.0$ | | | | | $\mu' = 1.62_6 \pm 0.015$ | | | | |
| $P''_{UR_1} = 6.1$ | | | | | | | | | |
| ${}_0P'_1 = 48.7 \pm 1.0$ | | | | | $\mu = 1.52_6 \pm 0.015$ | | | | |

III. Herstellung und Reinigung der Substanzen. Die zur Untersuchung gelangenden Substanzen waren zum Teil fertig bezogen, zum Teil selbst hergestellt worden. Vor der Untersuchung wurden sie sämtlich den für optische Messungen geltenden Reinigungsvorschriften unterworfen¹⁾.

Benzol, als „Benzol Kahlbaum zur Analyse und zur Molekulargewichtsbestimmung und Reagens D.A.B. 6“ bezogen, wurde längere Zeit über Natrium erhitzt; eine abdestillierte Mittelfraktion gelangte als Lösungsmittel zur Verwendung.

Propionsäure-*l*-menthylester,
n-Buttersäure-*l*-menthylester,
n-Buttersäure-*l*-bornylester

wurden aus den entsprechenden Säuren und Alkoholen nach J. BERTRAM²⁾ hergestellt. *l*-Menthol und *l*-Borneol wurden in höchster Reinheit von der Firma Schimmel & Co., Miltitz bei Leipzig, geliefert. Ausbeuten sehr gut, Reinigung nach den bei BERTRAM angegebenen Vorschriften; zuletzt durch wiederholte Vakuumdestillation.

¹⁾ Siehe K. L. WOLF und W. HEROLD, Z. physikal. Ch. (B) **12**, 165. 1931 und **13**, 220. 1931. ²⁾ J. BERTRAM in FRIEDLÄNDER, Fortschr. d. Teerfarbenfabrikation **4**, 1306.

| | |
|---|--|
| Essigsäuretertiärbutylester | wurde nach HENRY ¹⁾ durch Einwirkung von Essigsäureanhydrid auf das Produkt der Reaktion des Methylmagnesiumbromids mit Tertiärbutanol in schlechter Ausbeute gewonnen. Reinigung wie vorher. |
| Tertiärbutanol | (Schuchardt, Görlitz) durch wiederholte Vakuumdestillation. |
| Essigsäureisopropylester (Schuchardt, Görlitz) und Isopropanol | erfuhren ihre Reinigung ebenfalls im Vakuum, ebenso |
| Benzoessäuremethylester und Benzoessäureäthylester, | beide von Kahlbaum bezogen. |
| Benzoessäurephenylester, | von Kahlbaum, wurde wiederholt umkristallisiert. |
| <i>o</i> -Toluylsäuremethylester und <i>p</i> -Toluylsäuremethylester, | durch Verseifung der entsprechenden Nitrile und Veresterung nach KELLAS ²⁾ gewonnen, im Vakuum gereinigt. |
| <i>m</i> -Toluylsäuremethylester, | aus <i>m</i> -Toluylsäure (Schuchardt) durch Veresterung ²⁾ , im Vakuum gereinigt. |
| Essigsäurephenylester, Propionsäurephenylester ³⁾ , Essigsäure- <i>o</i> -kresylester, Essigsäure- <i>m</i> -kresylester, Essigsäure- <i>p</i> -kresylester, | durch Umsetzung der Säurechloride mit den entsprechenden Phenolen erhalten, erfuhren ihre letzte Reinigung gleichfalls bei wiederholter Vakuumdestillation. |

IV. Die Messungen an den aliphatischen Estern mit verzweigter Kette, die mit den zugehörigen Alkoholen in Tabelle 20 zusammengestellt sind, zeigen folgendes Ergebnis: Die Dipolmomente der Alkohole *n*-Propanol, Isopropanol, *n*-Butanol, Isobutanol, Tertiärbutanol sind bis auf kleine, hier unwesentliche Differenzen gleich, insbesondere auch die Momente der isomeren Alkohole untereinander, also von *n*- und Isopropanol einerseits, *n*-, Iso- und Tertiärbutanol andererseits. Bei den Estern liegen die Dinge jedoch anders. Man findet dort, dass die Dipolmomente derjenigen Ester, die in α -Stellung nicht verzweigt sind, verschieden von den Momenten ihrer Isomeren mit Verzweigung in α -Stellung sind; der Unterschied beträgt übereinstimmend — Essigsäure-*n*-propylester zu Essigsäureisopropylester bzw. Essigsäure-*n*-butylester zu Essigsäuretertiärbutylester — $0.07 \cdot 10^{-18}$ elektrost. Einh.

¹⁾ HENRY, Rec. Trav. chim. **26**, 444. 1907. ²⁾ KELLAS, Z. physikal. Ch. **24**, 244. 1897. ³⁾ PERKIN, J. chem. Soc. London **55**, 546. 1889.

Tabelle 20.

| Bezeichnung | Formel | $\mu \cdot 10^{18}$ |
|--|---|------------------------------------|
| <i>n</i> -Propanol | $\text{CH}_3 - \text{CH}_2 - \text{CH}_2 - \text{OH}$ | 1'65 ₇ ¹⁾ 2) |
| Isopropanol | $\begin{array}{c} \text{CH}_3 \\ \diagdown \\ \text{H} - \text{C} - \text{OH} \\ \diagup \\ \text{CH}_3 \end{array}$ | 1'69 ₉ |
| Essigsäure- <i>n</i> -propylester . . | $\text{CH}_3 - \text{CH}_2 - \text{CH}_2 - \text{O} - \underset{\text{O}}{\underset{ }{\text{C}}} - \text{CH}_3$ | 1'78 ₂ ¹⁾ |
| Essigsäureisopropylester . . | $\begin{array}{c} \text{CH}_3 \\ \diagdown \\ \text{H} - \text{C} - \text{O} - \underset{\text{O}}{\underset{ }{\text{C}}} - \text{CH}_3 \\ \diagup \\ \text{CH}_3 \end{array}$ | 1'85 ₁ |
| <i>n</i> -Butanol | $\text{CH}_3 - \text{CH}_2 - \text{CH}_2 - \text{CH}_2 - \text{OH}$ | 1'66 ₀ ¹⁾ 2) |
| Isobutanol | $\begin{array}{c} \text{CH}_3 \\ \diagdown \\ \text{CH}_3 - \text{CH} - \text{H}_2\text{C} - \text{OH} \end{array}$ | |
| Tertiärbutanol | $\begin{array}{c} \text{CH}_3 \\ \diagdown \\ \text{CH}_3 - \text{C} - \text{OH} \\ \diagup \\ \text{CH}_3 \end{array}$ | 1'66 ₁ |
| Essigsäure- <i>n</i> -butylester . . . | $\text{CH}_3 - \text{CH}_2 - \text{CH}_2 - \text{CH}_2 - \text{O} - \underset{\text{O}}{\underset{ }{\text{C}}} - \text{CH}_3$ | 1'84 ₁ ¹⁾ |
| Essigsäureisobutylester . . . | $\begin{array}{c} \text{CH}_3 \\ \diagdown \\ \text{CH}_3 - \text{CH} - \text{CH}_2 - \text{O} - \underset{\text{O}}{\underset{ }{\text{C}}} - \text{CH}_3 \end{array}$ | 1'85 ₄ ¹⁾ |
| Essigsäuretertiärbutylester . | $\begin{array}{c} \text{CH}_3 \\ \diagdown \\ \text{CH}_3 - \text{C} - \text{O} - \underset{\text{O}}{\underset{ }{\text{C}}} - \text{CH}_3 \\ \diagup \\ \text{CH}_3 \end{array}$ | 1'91 ₂ |

Diese Differenz ist nicht gross, übersteigt aber doch deutlich die Grenzen der Messfehler: Verzweigung in α -Stellung verursacht also offensichtlich in beiden Fällen bereits eine schwache Aufrichtung der

Teilmomente in der $\overset{\text{O}}{\underset{||}{\text{C}}} - \text{O} - \text{R}$ -Gruppe. Das Auftreten einer Temperaturabhängigkeit des Dipolmoments ist in beiden Fällen unbedingt zu erwarten. Noch stärker müsste dieser Effekt der Aufrichtung bei Estern von Alkoholen wie etwa Triäthyl- oder Tripropylcarbinol auftreten, wo die räumliche Ausdehnung des Alkoholrestes vermehrt zur Geltung kommen wird.

¹⁾ Messungen von K. L. WOLF und J. W. GROSS, siehe vorhergehende Arbeit Z. physikal. Ch. (B) 14, 305. 1931. ²⁾ Messungen von J. B. MILES, Physic. Rev.

(2) 34, 964. 1929.

In der Reihe der in Tabelle 21 zusammengefassten Ester von *l*-Menthol und *l*-Borneol zeigt sich ebenso wie bei den Estern von normalen aliphatischen Alkoholen¹⁾ ein stetiges Abnehmen des Dipolmoments mit wachsender Länge des Säurerestes²⁾. Es fällt fernerhin auf, dass von der Essigsäure ab die Menthylester generell kleineres Dipolmoment aufweisen als die Ester des Borneols. Dies ist eventuell als, wenn auch schwache, so doch reelle Äusserung der im Borneol herrschenden Ringspannung anzusehen.

Tabelle 21.

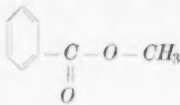
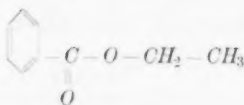

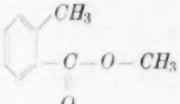
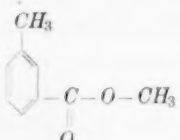
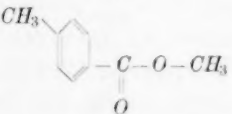
| Bezeichnung | $\mu \cdot 10^{18}$ | Bezeichnung | $\mu \cdot 10^{18}$ |
|----------------------------|---------------------|---------------------------|---------------------|
| 1-Menthol | $1'57_6 \pm 0'03$ | 1-Borneol | $1'56_1 \pm 0'02$ |
| Ameisensäurementhylester | $2'05_6 \pm 0'03$ | Ameisensäurebornylester | $2'04_0 \pm 0'01$ |
| Essigsäurementhylester . . | $1'82_6 \pm 0'03$ | Essigsäurebornylester . . | $1'86_7 \pm 0'02$ |
| Propionsäurementhylester. | $1'77_5 \pm 0'015$ | Propionsäurebornylester | $1'84_2 \pm 0'05$ |
| Buttersäurementhylester . | $1'66_4 \pm 0'015$ | Buttersäurebornylester . | $1'78_4 \pm 0'015$ |

Bei Vergleich der nicht substituierten aromatisch-aliphatischen Ester, d. h. von Benzoesäuremethyl- und äthylester und der mit ihnen isomeren Essigsäure- und Propionsäurephenylester, fällt der erhebliche Unterschied der Momente zwischen den Isomeren auf, der offensichtlich dadurch bedingt ist, dass im einen Falle der negative Sauerstoff, im anderen Falle der positive Kohlenstoff am Benzolring steht (verschiedene Bindungsmomente $O-C_{\text{aliph}}$ gegen $O-C_{\text{arom}}$ bzw. $C_{\text{aliph}}-C_{\text{aliph}}$ gegen $C_{\text{arom}}-C_{\text{aliph}}$, Induktion im Benzolring?). Dieser Unterschied äussert sich ebenso in den isomeren substituierten in Tabelle 22 aufgeführten Estern. Schwierigkeiten in der Deutung bereitet lediglich das Moment von Benzoesäurephenylester, das sich wohl in die Reihe der Benzoesäureester einfügt, nicht aber in die der Phenylester.

Der *p*-Toluylsäureester und der *p*-Kresylester ermöglichen weiterhin eine Berechnung des Winkels, unter dem das Moment gegen die Verbindungslinie des Benzolkohlenstoffatoms zu dem diesen benachbarten Atom des Substituenten in den Benzoesäureestern und Phenylestern geneigt ist. Eine Kontrolle dieser so berechneten Winkel gestattet dann die Berechnung der Momente der *o*- und *m*-Derivate mit Hilfe der in der folgenden Arbeit von O. FUCHS³⁾ angegebenen all-

¹⁾ K. L. WOLF und J. W. GROSS, loc. cit. ²⁾ Vgl. H. L. DONLE und K. L. WOLF, Z. physikal. Ch. (B) 8, 55, 1930. Die in den Tabellen 2 bis 19 obiger Arbeit nicht aufgeführten Ester von *l*-Menthol und *l*-Borneol sind bereits dort veröffentlicht. ³⁾ O. FUCHS, Z. physikal. Ch. (B) 14, 339, 1931.

Tabelle 22.

| Bezeichnung | Strukturformel | Bruttoformel | $\mu \cdot 10^{18}$ |
|---------------------------------|---|-------------------|---------------------|
| Benzoessäuremethylester . |  | $C_8H_8O_2$ | $1.83_4 \pm 0.02$ |
| Benzoessäureäthylester . . |  | $C_9H_{10}O_2$ | $1.82_0 \pm 0.02$ |
| Benzoessäurephenylester . |  | $C_{13}H_{10}O_2$ | $1.81_1 \pm 0.01$ |
| <i>o</i> -Tolylsäuremethylester |  | $C_9H_{10}O_2$ | $1.59_8 \pm 0.015$ |
| <i>m</i> -Tolylsäuremethylester |  | $C_9H_{10}O_2$ | $1.92_2 \pm 0.015$ |
| <i>p</i> -Tolylsäuremethylester |  | $C_9H_{10}O_2$ | $2.04_9 \pm 0.023$ |

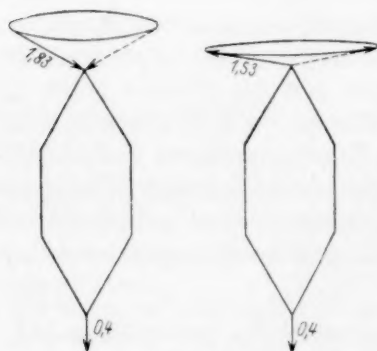
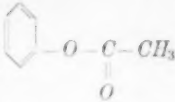
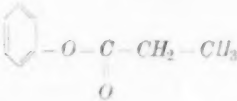
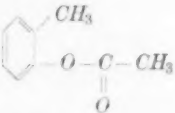
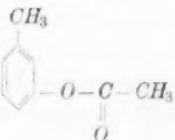
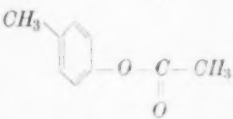


Fig. 1.

gemeinen Formel, und zwar findet man, dass in den Benzoessäureestern das Moment gegen die genannte Richtung unter 62° geneigt ist, in den Phenylestern unter 82° , wobei der Sinn der Momente in den beiden Verbindungsreihen entgegengesetzt gerichtet ist (siehe Fig. 1).

Die mittels dieser Werte berechneten Momente der *o*- und *m*-Verbindungen sind in Tabelle 23 angegeben. Die Übereinstimmung ist,

Tabelle 22.

| 10 ¹⁸ | Bezeichnung | Strukturformel | Bruttoformel | $\mu \cdot 10^{18}$ |
|------------------|-----------------------------------|--|----------------|---------------------|
| $\pm 0'02$ | Essigsäurephenylester . . |  | $C_8H_8O_2$ | $1'52_7 \pm 0'015$ |
| $\pm 0'02$ | Propionsäurephenylester |  | $C_9H_{10}O_2$ | $1'52_7 \pm 0'015$ |
| $\pm 0'01$ | | | | |
| $\pm 0'015$ | Essigsäure- <i>o</i> -kresylester |  | $C_9H_{10}O_2$ | $1'67_8 \pm 0'022$ |
| $\pm 0'015$ | Essigsäure- <i>m</i> -kresylester |  | $C_9H_{10}O_2$ | $1'59_8 \pm 0'015$ |
| $\pm 0'023$ | Essigsäure- <i>p</i> -kresylester |  | $C_9H_{10}O_2$ | $1'52_6 \pm 0'015$ |

wie ersichtlich, bei den *m*-Verbindungen sehr gut, bei den *o*-Verbindungen bestehen Abweichungen im Sinne zu kleiner Dipolmomente, die auf eine Aufhebung der freien Drehbarkeit zugunsten der stabileren Lage hinweisen.

Unter Zugrundelegung der gleichen Winkel- und Momentwerte, sind ausserdem die Momente von Terephthalsäuredimethylester und Hydrochinondiacetat (siehe Tabelle 23) wieder unter Berücksichtigung der freien Drehbarkeit berechnet. Auch hier ist die Übereinstimmung zwischen Berechnung und Beobachtung gut, so dass die angegebenen Winkelungswerte hinreichend bestätigt erscheinen. Eine Berechnung von Momenten solcher komplizierteren Verbindungen ist damit immer gegeben, sobald nicht, wie bei den *o*-Verbindungen ersichtlich, Stö-

rungen der ungehinderten freien Drehbarkeit vorliegen. Umfangreicherer diesbezügliches Material soll zusammen mit den Absorptionsmessungen an den Toluylsäureestern und Kresylestern an anderer Stelle behandelt werden.

Tabelle 23.

| Bezeichnung | $\mu \cdot 10^{18}$ | | Bezeichnung | $\mu \cdot 10^{18}$ | |
|--------------------------------------|---------------------|-------------------|-------------------------------------|----------------------|-------------------|
| | ber. | beob. | | ber. | beob. |
| Benzoesäuremethylester . . . | — | 1'83 ₄ | Essigsäurephenylester . . | — | 1'52 ₇ |
| <i>o</i> -Toluylsäuremethylester . . | 1'78 | 1'59 ₈ | Essigsäure- <i>o</i> -kresylester . | 1'60 | 1'67 ₈ |
| <i>m</i> -Toluylsäuremethylester . . | 1'96 | 1'92 ₂ | Essigsäure- <i>m</i> -kresylester | 1'55 | 1'59 ₈ |
| <i>p</i> -Toluylsäuremethylester . . | 2'04 ₉ | 2'04 ₉ | Essigsäure- <i>p</i> -kresylester . | [1'52 ₆] | 1'52 ₆ |
| Terephthalsäuredimethylester | 2'28 | 2'2 | Hydrochinondiacetat . . . | 2'14 | 2'2 |
| Toluol | — | 0'40 | Toluol | — | 0'40 |

Herrn Prof. K. L. WOLF gebührt für die Anregung zu dieser Arbeit und seine weitgehende Unterstützung während ihrer Anfertigung mein aufrichtiger Dank. Der Notgemeinschaft der Deutschen Wissenschaft, die mir durch Gewährung eines Forschungsstipendiums sowie durch Überlassung von Chemikalien und eines Teiles der verwendeten Apparaturen diese Untersuchungen ermöglichte, sei auch an dieser Stelle verbindlichst gedankt.

Kiel, Physikalisch-chemisches Laboratorium der Universität.

August 1931.

Über eine allgemeine Formel zur Berechnung von Dipolmomenten.

Von

O. Fuchs.

(Mit 3 Figuren im Text.)

(Eingegangen am 1. 9. 31.)

Es wird eine Formel abgeleitet, welche gestattet, aus den Momenten der Monosubstitutionsprodukte die Dipolmomente der mehrfach substituierten Moleküle zu berechnen, auch wenn die Substituenten gewinkelte, „frei drehbare“ Gruppen sind.

1. In der Literatur finden sich verstreut verschiedene, für spezielle Fälle geeignete Formeln zur Berechnung von Dipolmomenten durch Vektorzusammensetzung der den einzelnen Gruppen eines Moleküls zukommenden Momente, der sogenannten Gruppenmomente. Es ist indes wünschenswert, eine allgemeinere Formel zur Verfügung zu haben, die diese Spezialfälle mit einschliesst und darüber hinaus auch auf andere Fälle Anwendung finden kann. Eine solche Formel soll im folgenden abgeleitet werden. Dieser Ableitung liegen die beiden Annahmen zugrunde, dass die Gruppen sich gegenseitig nicht beeinflussen und dass, falls es sich um gewinkelte Gruppen handelt, diese — nach der Ausdrucksweise der Stereochemie — als „frei drehbar“ angesehen werden können, d. h., dass jede Lage der Gruppen zueinander mit gleicher Wahrscheinlichkeit realisiert sein kann. Wieweit diese Voraussetzungen in jedem einzelnen Falle zutreffen, ersieht man aus der Abweichung der so berechneten von den gemessenen Momentwerten.

2. Vor der Ableitung der Formel soll zunächst erläutert werden, was unter dem Gruppenmoment und Winkel der freien Drehbarkeit verstanden wird. Betrachten wir z. B. das Chlorbenzol. Hier kommt sowohl dem *Cl* gegenüber dem Benzolrest, als auch dem Benzolrest selbst bzw. der in para-Stellung zum *Cl* stehenden $C_{ar}-H$ -Gruppe ein bestimmtes Moment zu. Die algebraische Summe beider Momente ist das Gesamtmoment von C_6H_5Cl , das zu $1.55 \cdot 10^{-18}$ elektrost. Einh. gemessen wurde. Nun ist zwar das Moment der $C_{ar}-H$ -Bindung (Bindungsmoment) nicht bekannt. Werte, die bisher hierfür angewandt wur-

den, sind mit Willkür behaftet¹⁾; seine Kenntnis ist aber auch, wie unten (Abschn. 4) noch gezeigt wird, zur Momentberechnung gar nicht erforderlich. Wir verzichten daher von vornherein auf eine solche Zerlegung und wählen für das Gruppenmoment einer Gruppe jeweils das der Monoverbindung²⁾).

Analog ist es mit dem Winkel, den eine gewinkelte, frei drehbare Gruppe mit dem ihr zuzuordnenden Benzoldurchmesser bildet. An Sauerstoff z. B. nimmt man meistens einen Winkel von 110° an. Dieser Winkel ist jedoch offenbar leicht veränderlich³⁾. Um jede Willkür auszuschalten, sollen daher bestimmte Winkelwerte a priori nicht festgesetzt werden. Die Winkel werden vielmehr bei den Benzolderivaten auf Grund der Vektorzusammensetzung bekannter Gruppenmomente aus den para-Derivaten berechnet, wie ebenfalls in Abschn. 4 an einem Beispiel gezeigt wird⁴⁾.

3. Der Gang der Ableitung der gewünschten Formel soll an dem Beispiel, dass das Molekül zwei gewinkelte Gruppen mit den Gruppenmomenten a und b enthält, skizziert werden.

In Fig. 1 seien a und b die diese Gruppenmomente darstellenden Vektoren. Sie seien um die Achsen a_2 bzw. b_2 , die den Winkel ω miteinander bilden, frei drehbar, und mögen mit diesen die Winkel α und β bilden. a und b werden in die beiden Komponenten a_1, a_2 bzw. b_1, b_2 zerlegt. Die Vektorsumme von a_2 und b_2 sei g . Wegen der ungehinderten Rotation von a_1 und b_1 können diese beiden Komponenten verschiedene Lagen zu der durch a_2 und b_2 festgelegten Ebene einnehmen. Die Bahnebenen von a_1 und b_1 stehen senkrecht zu dieser Ebene.

In Fig. 1 ist angenommen, a_1 und b_1 fielen beide in die (a_2b_2) -Ebene. In das Molekül werde jetzt ein räumliches Koordinatensystem

¹⁾ So setzen z. B. EUCKEN und MEYER die Bindungsmomente $C_{ar}-H=0$; $C_{al}-H=0.40$; $C_{ar}-C_{al}=0$. Näheres hierzu siehe in dem Artikel „Sterischer Bau und elektrische Eigenschaften“ von K. L. WOLF und O. FUCHS in dem von FREUDENBERG herausgegebenen Handbuch der Stereochemie. Wien 1931. ²⁾ In diesem Falle ist also bei einfachen Benzolderivaten, wie dem Monochlorbenzol, der Zahlenwert des so definierten Gruppenmoments gleich dem von EUCKEN und MEYER angegebenen Bindungsmoment.

³⁾ Siehe K. L. WOLF und O. FUCHS, loc. cit. ⁴⁾ Dabei handelt es sich nicht um Winkel bestimmter Valenzen, sondern um die Winkel, die den Kegelmantel definieren, auf dem man sich das gesamte Gruppenmoment — also etwa beim Anisol das Gesamtmoment des Moleküls — gedreht denken kann, falls die drehbare polare Gruppe mit einem bestimmten, vom Gesamtmoment verschiedenen Moment um die Achse der „freien Drehbarkeit“ rotiert.

gelegt, dessen Ursprung im Punkt Null liegt, und zwar so, dass die z -Achse mit der Richtung von g zusammenfällt und die $(a_2 b_2)$ -Ebene in der (xz) -Ebene liegt. Die Winkel, den die Bahnebene von a_1 bzw. b_1 mit der (zy) -Ebene bilden, seien mit γ bzw. δ bezeichnet; sie können aus dem von a_2 , b_2 und g gebildeten Dreieck in Fig. 1 berechnet werden.

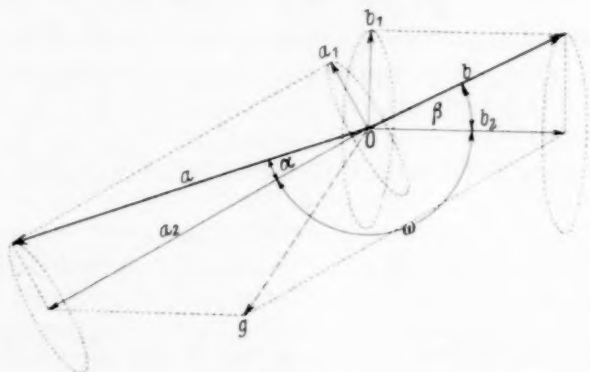


Fig. 1.

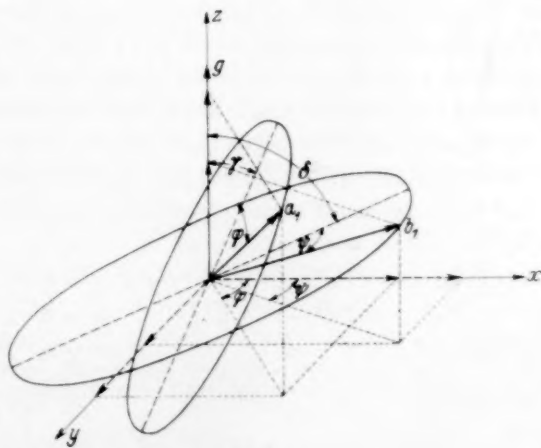


Fig. 2.

Fig. 2 stellt den Fall dar, dass a_1 um den Winkel φ und b_1 um den Winkel ψ aus der eben definierten (xz) -Ebene herausgedreht sind. Für diesen Fall sind die drei Vektoren a_1 , b_1 und g zusammenzusetzen. Die Projektionen dieser Vektoren auf die x - bzw. y - bzw. z -Achse sind:

| | x | y | z |
|-------|--|--|--------------------------------|
| a_1 | $a_1 \sqrt{1 - \cos^2 \gamma \cos^2 \varphi} \cos \varphi$ | $a_1 \sqrt{1 - \cos^2 \gamma \cos^2 \varphi} \sin \varphi$ | $a_1 \cos \gamma \cos \varphi$ |
| b_1 | $b_1 \sqrt{1 - \cos^2 \delta \cos^2 \psi} \cos \psi$ | $b_1 \sqrt{1 - \cos^2 \delta \cos^2 \psi} \sin \psi$ | $b_1 \cos \delta \cos \psi$ |

Auf der z -Achse liegt ferner der Vektor

$$g = \sqrt{a_2^2 + b_2^2 + 2 a_2 b_2 \cos \omega}.$$

Daraus berechnet sich der resultierende Vektor m der drei Vektoren a_1 , b_1 und g . Lässt man nun a_1 und b_1 in der angegebenen Weise rotieren (φ und ψ variabel), während g festgehalten wird, so besitzt m für jeden Wert von φ und ψ einen anderen Wert. Im Mittel ergibt sich hieraus ein Dipolmoment μ , dessen Quadrat gegeben ist durch:

$$\mu^2 = \frac{\int_0^{2\pi} \int_0^{2\pi} m^2 d\varphi d\psi}{\int_0^{2\pi} \int_0^{2\pi} d\varphi d\psi}.$$

Indem man in diesen Ausdruck den Wert von m einsetzt, folgt nach Ausführung der Integration:

$$\mu = \sqrt{a^2 + b^2 + 2ab \cos \alpha \cos \beta \cos \omega}. \quad (1)$$

Wie aus Fig. 1 ersichtlich, gilt diese Formel für gleiche Vorzeichen¹⁾ der beiden Gruppenmomente (z. B. Cl und NO_2). Bei ungleichen Vorzeichen (z. B. CH_3 und Cl) ist an Stelle von b der Wert $(-b)$ zu setzen. Formel (1) gestattet dann die Vektorzusammensetzung bei beliebigen Substanzen mit zwei beliebigen polaren Gruppen. Aus ihr ergeben sich leicht die folgenden Spezialfälle für Benzolderivate:

I. $a, b, \alpha = 0, \beta = 0$ (zwei nicht gewinkelte, sonst beliebige Substituenten).

1. $\omega = 60^\circ$ (ortho): $\mu = \sqrt{a^2 + b^2 + ab}$; wenn $a = b$, so $\mu = a\sqrt{3}$.
2. $\omega = 120^\circ$ (meta): $\mu = \sqrt{a^2 + b^2 - ab}$; „ $a = b$, „ $\mu = a$.
3. $\omega = 180^\circ$ (para): $\mu = a - b$; „ $a = b$, „ $\mu = 0$.

II. $a, b, \alpha, \beta = 0$ (ein gewinkelter und ein nichtgewinkelter Substituent).

1. $\omega = 60^\circ$ (ortho): $\mu = \sqrt{a^2 + b^2 + ab \cos \alpha}$.
2. $\omega = 120^\circ$ (meta): $\mu = \sqrt{a^2 + b^2 - ab \cos \alpha}$.
3. $\omega = 180^\circ$ (para): $\mu = \sqrt{a^2 + b^2 - 2ab \cos \alpha}$.

¹⁾ Wobei die Vorzeichen, wie üblich, angeben sollen, mit welchem Pol das Moment vom Benzolring weggerichtet ist. Zuordnung von — zu dem Gruppenmoment in Monochlorbenzol heisst also, dass der negative Pol des Dipolmoments nach der Seite des Cl hinweist.

III. a, b, α, β (zwei bezüglich Grösse und Winkel voneinander verschiedene, gewinkelte Substituenten).

1. $\omega = 60^\circ$ (ortho) : $\mu = \sqrt{a^2 + b^2 + ab \cos \alpha \cos \beta}$;
wenn $a = b$; $\alpha = \beta$, so $\mu = a \sqrt{2 + \cos^2 \alpha}$.
2. $\omega = 120^\circ$ (meta) : $\mu = \sqrt{a^2 + b^2 - ab \cos \alpha \cos \beta}$;
wenn $a = b$; $\alpha = \beta$, so $\mu = a \sqrt{2 - \cos^2 \alpha}$.
3. $\omega = 180^\circ$ (para) : $\mu = \sqrt{a^2 + b^2 - 2 ab \cos \alpha \cos \beta}$;
wenn $a = b$; $\alpha = \beta$, so $\mu = a \cdot \sin \alpha \sqrt{2}$.

Bei Molekülen, die mehr als zwei charakteristische Gruppen enthalten, verläuft die Berechnung des resultierenden Gesamtmoments ganz analog wie oben. So ergibt sich für die Zusammensetzung der drei gewinkelten, frei drehbaren Gruppen a, b und c mit den Winkeln der freien Drehbarkeit (bez. wie oben auf die Momente) α, β und γ , wenn die zugehörigen Drehachsen in einer Ebene liegen und die Winkel zwischen der Achse von a und der von b bzw. von a und c mit ω_{ab} bzw. ω_{ac} bezeichnet werden, die Beziehung:

$$\mu = \sqrt{a^2 + b^2 + c^2 + 2 ab \cos \alpha \cos \beta \cos \omega_{ab} + 2 ac \cos \alpha \cos \gamma \cos \omega_{ac} + 2 bc \cos \beta \cos \gamma \cos (\omega_{ab} + \omega_{ac})} \quad (2)$$

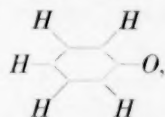
Bezüglich des Vorzeichens gilt das gleiche wie oben.

4. An Hand von Gleichung (1) und (2) sollen die Momente¹⁾ von *o*- und *m*-Kresylmethyläther, von Brenzkatechin-, Resorcin- und Hydrochinondimethyläther und von Phloroglucintrimethyläther (1, 3, 5) berechnet werden. Die Gruppenmomente von CH_3 und OCH_3 sind +0.40 bzw. +1.23. CH_3 ist nichtgewinkelt; der Winkel der freien Drehbarkeit für das Moment im Anisol ergibt sich durch Anwendung der Formel II, 3 auf *p*-Kresylmethyläther, dessen Moment zu 1.21 gemessen ist, zu 78° . Damit berechnen sich die folgenden Momente (Reihenfolge wie oben): 1.33 (gemessen 1.0); 1.25 (1.1₇), 1.76 (1.3₁), 1.72 (1.5₉), 1.70 (1.7₅) und 2.08 (1.8). Wie man aus dem Vergleich der berechneten und gemessenen Momente erkennt, besteht bei den *o*-Verbindungen wie bei dem Triderivat je ein Unterschied von etwa 0.3, der immer in dem Sinne liegt, dass die beobachteten Werte zu klein erscheinen, was auf eine Abstossung der CH_3 -Gruppen untereinander hinweist. Bei den *m*-Verbindungen macht sich ein Unterschied zwischen gemessenen und berechneten Werten eben bemerkbar,

¹⁾ Die Momentwerte sind angegeben in 10^{-18} elektrost. Einh. als Einheit.

während bei den *p*-Verbindungen die Abweichungen vollkommen innerhalb der durch die Messfehler gegebenen Grenzen bleiben. Genau so wie bei den als Rechenbeispiel gewählten obigen Substanzen liegen die Verhältnisse, wenn man ein grösseres Material mit gewinkelten Substituenten betrachtet, ganz allgemein¹⁾. Die Abweichungen in *o*-Stellung, die immer zu kleine beobachtete Werte erkennen lassen, sind dabei offenbar weniger auf den sogenannten *o*-Effekt als vielmehr auf eine Bevorzugung der energieärmeren unter den bei freier Drehbarkeit möglichen Lagen zurückzuführen²⁾.

5. Die Rechnungen hätten auch anders durchgeführt werden können. Angenommen, der Sauerstoffwinkel im Anisol sowie das Moment der Gruppe $O-CH_3$ seien einzeln bekannt³⁾. Sie seien mit a' und a' bezeichnet, während das Moment von



das gegeben ist durch die algebraische Summe der Bindungsmomente $C_{ar}-H$ und $C_{ar}-O_{\text{Äther}}$, gleich d sei. Der Zusammenhang zwischen diesen Grössen sowie den oben benutzten Werten $a=1.23$ und $\alpha=78^\circ$ ist nach Fig. 3 durch folgende Beziehungen gegeben:

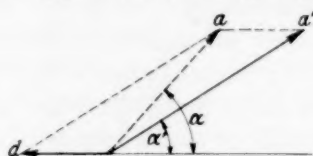


Fig. 3.

$$a = \sqrt{a'^2 + d^2 - 2 a' d \cos \alpha'}$$

und

$$\cos \alpha = \frac{a' \cos \alpha' - d}{\sqrt{a'^2 + d^2 - 2 a' d \cos \alpha'}}$$

¹⁾ Grösseres Material siehe K. L. WOLF und O. FUCHS, loc. cit., sowie die voranstehende Arbeit von H. L. DONLE (Z. physikal. Ch. (B) 14, 326. 1931). ²⁾ Wie

wenig ein sogenannter *o*-Effekt bei nichtgewinkelten Gruppen sich oft äussert, siehe z. B. in der nachfolgenden Arbeit von K. L. WOLF und H. G. TRIESCHMANN, Z. physikal. Ch. (B) 14, 346. 1931. ³⁾ Für a' den Wert 110° zu setzen und

a' etwa aus dem Momentwert von Dimethyl- oder Diphenyläther zu berechnen, ist willkürlich und führt, wenn man die Momente der anderen Äther mit in die Betrachtung zieht, auch sehr schnell auf Widersprüche. Näheres siehe K. L. WOLF und O. FUCHS, loc. cit.

Für Resorcindimethyläther ergäbe sich hiermit nach III, 2:

$$\mu = \sqrt{a'^2 + a'^2 \sin^2 \alpha' + 2 a' d \cdot \cos \alpha' + d^2}.$$

Der gleiche Ausdruck folgt aber auch, wenn man die Berechnung mit a' , α' und d ähnlich wie in Abschn. 2 durchführt. [An Stelle von a_1 tritt $a'_1 = a' \sin \alpha'$ und für g ist $(a' \cos \alpha' - d)$ zu setzen.] Dies besagt, dass die Kenntnis von d , wie eingangs betont, nicht erforderlich ist und dass die Gruppenmomente und Winkel der freien Drehbarkeit in der oben definierten Weise, die alle Willkür ausschliesst, benutzt werden können. Ähnlich liegen die Verhältnisse in allen anderen Fällen.

Herrn Prof. K. L. WOLF sage ich für die Diskussion bei obigen Berechnungen meinen besten Dank.

Kiel, Physikalisch-chemisches Laboratorium der Universität.
August 1931.

Über die Dipolmomente von Chlortoluolen und Tolunitril.

Von

K. L. Wolf und H. G. Trieschmann.

(Eingegangen am 1. 9. 31.)

Es werden Messungen der Dipolmomente von *o*-, *m*- und *p*-Chlortoluol und von *o*-Tolunitril mitgeteilt. Die beobachteten Werte stimmen mit den berechneten überein.

Bei der Durchsicht der Dipolmomente von disubstituierten Benzolderivaten mit nicht gewinkelten Substituenten fällt auf, dass die gemessenen¹⁾ Dipolmomente bei den drei isomeren Chlortoluolen mit den auf Grund vektorieller Zusammensetzung errechneten verhältnismässig schlecht übereinstimmen. Es schien deshalb ratsam, die Momente der genannten Substanzen mit möglicher Genauigkeit erneut zu bestimmen. Ausserdem sollte ein weiteres Beispiel für substituierte Nitrile mit nichtgewinkeltem zweitem Substituenten gemessen werden, da in der Literatur²⁾ bezüglich der Nitrilgruppe unwahrscheinliche Angaben zu finden sind. Es wurde Tolunitril gewählt, da an diesem gleichzeitig geprüft werden konnte, ob — ähnlich wie beim *o*-Chlortoluol und anderen *o*-Verbindungen, bei denen der zweite Substituent die CH_3 -Gruppe ist — ein messbarer Orthoeffekt nicht auftritt.

Die Messungen wurden ausgeführt mit der in der Arbeit von K. L. WOLF und J. W. GROSS³⁾ beschriebenen Apparatur. Die Bezeichnungen sind ebenfalls dieselben wie dort. Alle zur Messung verwandten Substanzen waren optisch rein.

Die Ergebnisse der Messungen sind in Tabelle 1 bis 5, die Momente selbst zusammen mit den auf Grund einfacher vektorieller Zusammensetzung (alle Gruppenmomente nichtgewinkelt) errechneten Werten in Tabelle 6 zusammengestellt.

Tabelle 1. Benzol.

| | | |
|--------------------|----------------------|------------------|
| $\epsilon = 2.280$ | $n_D = 1.47480$ | $\rho = 0.87652$ |
| $P_2 = 26.630$ | $P_{Elz}'' = 25.060$ | |

¹⁾ P. WALDEN und O. WERNER, Z. physikal. Ch. (B) **2**, 10. 1929.

²⁾ L. BERGMANN, E. ENGEL und S. SANDOR, Z. physikal. Ch. (B) **10**, 397. 1930.

³⁾ K. L. WOLF und J. W. GROSS, Z. physikal. Ch. (B) **14**, 322. 1931.

Tabelle 2¹⁾. *o*-Chlortoluol.

| | c_1 | ε | ϱ | n_∞ | P_{12} | $R_{\infty 12}$ | P_1 | P''_{El_1} | $P'_1 + P''_{UR_1}$ |
|---|---------|---------------|-----------|------------|----------|-----------------|-------|--------------|---------------------|
| 1 | 0'05637 | 2'4435 | 0'89080 | 1'47685 | 29'458 | 25'614 | 76'70 | 34'55 | 42'16 |
| 2 | 0'04750 | 2'4183 | 0'88850 | 1'47670 | 29'030 | 25'540 | 77'13 | 34'85 | 42'28 |
| 3 | 0'03677 | 2'3865 | 0'88594 | 1'47615 | 28'436 | 25'381 | 75'73 | 33'39 | 42'34 |
| 4 | 0'02392 | 2'3487 | 0'88252 | 1'47588 | 27'835 | 25'308 | 76'98 | 34'78 | 42'19 |
| 5 | 0'01292 | 2'3170 | 0'87972 | 1'47547 | 27'283 | 25'200 | 77'22 | 34'83 | 42'38 |

$${}_0P'_1 + P''_{UR_1} = 42'0 \pm 1$$

$$\mu' = 1'414 \pm 0'02$$

$$P''_{UR_1} = 5'2$$

$${}_0P'_1 = 36'8 \pm 1$$

$$\mu = 1'324 \pm 0'02$$

Tabelle 3. *m*-Chlortoluol.

| | c_1 | ε | ϱ | n_∞ | P_{12} | $R_{\infty 12}$ | P_1 | P''_{El_1} | $P'_1 + P''_{UR_1}$ |
|---|---------|---------------|-----------|------------|----------|-----------------|--------|--------------|---------------------|
| 1 | 0'02124 | 2'3820 | 0'88101 | 1'47523 | 28'306 | 25'280 | 105'55 | 34'74 | 70'8 |
| 2 | 0'01582 | 2'3564 | 0'87996 | 1'47513 | 27'886 | 25'223 | 106'08 | 34'45 | 71'6 |
| 3 | 0'01327 | 2'3450 | 0'87940 | 1'47506 | 27'735 | 25'230 | 109'99 | 34'79 | 73'2 |
| 4 | 0'00839 | 2'3193 | 0'87832 | 1'47495 | 27'284 | 25'160 | 104'69 | 35'29 | 69'4 |
| 5 | 0'00651 | 2'3130 | 0'87812 | 1'47492 | 27'167 | 25'136 | 109'07 | 34'41 | 74'6 |

$${}_0P'_1 + P''_{UR_1} = 73'0 \pm 3$$

$$\mu' = 1'864 \pm 0'04$$

$$P''_{UR_1} = 5'4$$

$${}_0P'_1 = 67'6 \pm 3$$

$$\mu = 1'794 \pm 0'04$$

Tabelle 4. *p*-Chlortoluol.

| | c_1 | ε | ϱ | n_∞ | P_{12} | $R_{\infty 12}$ | P_1 | P''_{El_1} | $P'_1 + P''_{UR_1}$ |
|---|---------|---------------|-----------|------------|----------|-----------------|-------|--------------|---------------------|
| 1 | 0'04246 | 2'507 | 0'88670 | 1'47600 | 30'204 | 25'481 | 110'8 | 34'64 | 76'16 |
| 2 | 0'03341 | 3'458 | 0'88454 | 1'47585 | 29'459 | 25'397 | 111'3 | 34'68 | 76'60 |
| 3 | 0'03037 | 2'442 | 0'88385 | 1'47560 | 29'209 | 25'360 | 111'5 | 34'47 | 77'08 |
| 4 | 0'02039 | 2'390 | 0'88150 | 1'47555 | 28'385 | 25'270 | 112'7 | 34'67 | 78'07 |
| 5 | 0'01859 | 2'380 | 0'88100 | 1'47550 | 28'231 | 25'254 | 112'9 | 34'69 | 78'20 |
| 6 | 0'01378 | 2'353 | 0'87990 | 1'47540 | 27'810 | 25'205 | 112'5 | 34'57 | 77'96 |
| 7 | 0'00936 | 2'330 | 0'87882 | 1'47530 | 27'444 | 25'164 | 113'4 | 34'51 | 78'95 |

$${}_0P'_1 + P''_{UR_1} = 79'5 \pm 1$$

$$\mu' = 1'940 \pm 0'015$$

$$P''_{UR_1} = 5'2$$

$${}_0P'_1 = 74'3 \pm 1$$

$$\mu = 1'881 \pm 0'015$$

¹⁾ Die Momentwerte sind in Tabelle 2 bis 5 in 10^{-18} elektrost. Einh. als Einheit angegeben.

Tabelle 5. *o*-Tolunitril.

| | c_1 | ϵ | ϱ | n_∞ | P_{12} | $R_{\infty 12}$ | P_1 | P'_{El_1} | $P'_1 + P'_{UR_1}$ |
|---|---------|------------|-----------|------------|----------|-----------------|-------|-------------|--------------------|
| 1 | 0'02054 | 2'7229 | 0'87993 | 1'47595 | 32'689 | 25'272 | 321'6 | 34'66 | 286'9 |
| 2 | 0'01683 | 2'6393 | 0'87925 | 1'47580 | 31'629 | 25'238 | 323'7 | 34'81 | 288'8 |
| 3 | 0'01112 | 2'5170 | 0'87845 | 1'47540 | 30'003 | 25'173 | 329'9 | 33'81 | 296'0 |
| 4 | 0'00707 | 2'4293 | 0'87774 | 1'47535 | 28'792 | 25'138 | 332'7 | 34'10 | 298'6 |

$${}_0P'_1 + P_{UR_1} = 304'5 \pm 2$$

$$\mu' = 3'81_2 \pm 0'01$$

$$P''_{UR_1} = 5'2$$

$${}_0P'_1 = 299'3 \pm 2$$

$$\mu = 3'77_5 \pm 0'01$$

Tabelle 6.

| Substanz | $\mu \cdot 10^{18}$ | |
|---------------------------------|---------------------|--------------------|
| | ber. | beob. |
| Toluol | — | $0'40 \pm 0'05$ |
| Chlorbenzol | — | $1'55 \pm 0'05$ |
| Benzonitril | — | $3'90 \pm 0'05$ |
| <i>o</i> -Chlortoluol | 1'39 | $1'32_4 \pm 0'02$ |
| <i>m</i> -Chlortoluol | 1'78 | $1'79_4 \pm 0'04$ |
| <i>p</i> -Chlortoluol | 1'94 | $1'88_1 \pm 0'015$ |
| <i>o</i> -Tolunitril | 3'72 | $3'77_5 \pm 0'01$ |

Die Übereinstimmung zwischen berechneten und beobachteten Momenten ist, wie Tabelle 6 zeigt, in allen vier Fällen vollauf befriedigend. Bezüglich der Nitrilgruppe spricht die Messung am *o*-Tolunitril zusammen mit den anderweitig bekannten¹⁾ Momentwerten von *p*-Brombenzonitril und *o*-Chlorbenzonitril (beobachtet 2'64, berechnet 2'40 bzw. 4'75 und 4'84) dafür, dass das Moment der CN-Gruppe in der Ebene des Benzols liegt [Momentrichtung ist Richtung der Verbindungslinie der beiden Kohlenstoffatome, negativer Pol liegt aussen²⁾]. Da auch beim *p*-Nitranilin die Abweichung von der Vektorzusammensetzung wesentlich geringer ist³⁾, als es auf Grund einer ersten Messung von HOJENDAHL den Anschein hatte, gewinnt man allgemein den Eindruck, dass Abweichungen von der Vektorzusammen-

¹⁾ L. BERGMANN, E. ENGEL und S. SANDOR, loc. cit. O. HASSEL und E. NÆSHAGEN, Z. physikal. Ch. (B) **12**, 79. 1931. ²⁾ Der bei BERGMANN, ENGEL und SANDOR gezogene Schluss bezüglich einer anderen Lage des Moments der Nitrilgruppe stützt sich offenbar auf Effekte, die kaum die Messfehler übersteigen. Das dort als Beweisstück angeführte *p, p'*-Dicyandiphenyl ist unter der angegebenen Literaturstelle nicht zu finden. ³⁾ Siehe K. L. WOLF und W. HEROLD, Z. physikal. Ch. (B) **13**, 203. 1931.

setzung in den Fällen, in denen gewinkelte Substituenten nicht vorhanden sind, eine geringere Rolle spielen, als man eine Zeitlang zu glauben geneigt war. Wir haben deshalb eine Neuberechnung der Momente der Di- und Triderivate im Sinne der Arbeit von HERZFELD und SMALLWOOD¹⁾ auf Grund genaueren Messmaterials, das — wo nötig — noch ergänzt werden soll, in Angriff genommen, über deren Ergebnisse später berichtet werden soll.

¹⁾ K. F. HERZFELD und H. M. SMALLWOOD, J. Am. chem. Soc. **52**, 1919. 1930.

Kiel, Physikalisch-chemisches Laboratorium der Universität.

August 1931.

Über die elektrischen Momente der Nitrohalogenbenzole.

Von

Hermann Lütgert.

(Eingegangen am 3. 9. 31.)

Es werden die Gesamtpolarisationen der isomeren Nitrochlor-, Nitrobrom- und Nitroiodbenzole bei je zwei Temperaturen gemessen. Auf Grund dieser Messungen werden die Atompolarisationen, allerdings nur sehr roh, abgeschätzt und die elektrischen Momente berechnet.

Von den Momenten der Nitrohalogenbenzole sind bisher nur die der Nitrochlorbenzole von WALDEN und WERNER¹⁾ einerseits und von HOJENDAHL²⁾ andererseits, und das des *p*-Nitrobrombenzols von HOJENDAHL²⁾ veröffentlicht worden. Die noch vorhandene Lücke wurde mit den Versuchen, über die hier berichtet werden soll, durch die Messung der noch fehlenden Nitrobrombenzole und der Nitroiodbenzole verkleinert. Gleichzeitig wurden die Momente der bereits gemessenen Körper nochmals bestimmt, da die erwähnten vorliegenden Werte zum Teil Diskrepanzen aufweisen.

Um die Grösse der Atompolarisation, die von vielen Autoren bei der Berechnung der Momente vernachlässigt wird, wenigstens abschätzen zu können, wurden die Messungen bei zwei Temperaturen (25° und 65.4° bzw. 62.1°) durchgeführt. Die daraus für den temperaturunabhängigen Teil der Polarisation zu berechnenden Werte sind natürlich sehr roh, da bei der erforderlichen Extrapolation auf unendliche Temperatur die vorhandenen Fehler auf das 15fache anwachsen. Dennoch ist es auf diese Weise doch möglich, statt der sonst ziemlich allgemein üblichen Angabe des grösstmöglichen Wertes für das Moment, mit einem gewissen Fehlerbereich etwas über den wahrscheinlichsten Wert auszusagen³⁾.

Die Messungen wurden in der bereits früher beschriebenen⁴⁾ Apparatur durchgeführt. Dabei wurde, nachdem der Kondensator mit reinem Benzol gefüllt und eingespielt worden war, die Lösung durch zwei- bis dreimalige Zugabe von gewogenen Substanzmengen

¹⁾ WALDEN und WERNER, Z. physikal. Ch. (B) **2**, 10. 1929. ²⁾ HOJENDAHL, Physikal. Z. **30**, 394. 1929.

³⁾ Es wird leider nicht immer mit genügender Deutlichkeit darauf hingewiesen, dass es sich bei den meisten für elektrische Momente angegebenen Werten infolge der Vernachlässigung der Atompolarisation um die grösstmöglichen Werte handelt.

⁴⁾ Z. physikal. Ch. (B) **13**, 29. 1931.

mehr und mehr konzentriert und jedesmal gemessen. So wurden bei jeder Temperatur und von jedem Körper zwei bis drei Messreihen aufgenommen und auf Übereinstimmung und linearen Verlauf der Dielektrizitätskonstanten-Konzentrationskurve geprüft. Wenn dabei bei höherer Konzentration ein Abweichen vom linearen Verlauf der Kurve durch mehr als einen Messpunkt belegt ist, so ist das bei den Ergebnissen vermerkt worden. Diese Punkte sind zur Auswertung später nicht mehr verwandt worden. Die Genauigkeit der Messungen beträgt $\pm 0.03\%$ für die DK. Wie dieser Fehler die Polarisation je nach ihrer Grösse und bei verschiedenen Konzentrationen beeinflusst, ist aus folgender Zusammenstellung zu ersehen¹⁾.

Fehler der Gesamtpolarisation in Prozent.

| Molenbruch | Polarisation | | |
|------------|--------------|-----|-----|
| | 100 | 200 | 400 |
| 0.001 | 14 | 7 | 3.5 |
| 0.002 | 7 | 3.5 | 1.8 |
| 0.004 | 3.5 | 1.8 | 0.9 |
| 0.008 | 1.8 | 0.9 | 0.5 |

Bei der Berechnung der Gesamtpolarisation durch Bildung des Mittelwertes wurden die Einzelwerte dementsprechend mit Gewichten belegt, die der Konzentration proportional waren²⁾.

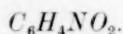
Ergebnisse.

Extrapoliert man mittels der für die Gesamtpolarisation erhaltenen Werte auf den temperaturunabhängigen Teil der Polarisation (Elektronen- und Atompolarisation), so erhält man folgende Werte:

| $C_6H_4NO_2$ | | | |
|---|-------------|-------------|---------------|
| | Cl | Br | J |
| <i>o</i> | 18 ± 35 | 8 ± 50 | 50 ± 40 |
| <i>m</i> | 24 ± 30 | 64 ± 38 | 26 ± 33 |
| <i>p</i> | 51 ± 22 | 7 ± 43 | ³⁾ |
| Für die Elektronenpolarisation berechnet man für die drei Isomeren | | | |
| | 37.6 | 40.5 | 45.5 |

¹⁾ Siehe WEISSBERGER und SÄNGEWALD, Physikal. Z. **30**, 797. 1929. — Dabei wurde Sorge getragen, dass die Fehler in der Dichtebestimmung keinen wesentlichen Einfluss auf das Ergebnis hatten. Sie wurde mit einer Genauigkeit von ± 0.01 bestimmt. ²⁾ Siehe A. PARTS, Z. physikal. Ch. (B) **12**, 312. 1931. ³⁾ *p*-Nitrojodbenzol ist in Benzol bei 25° sehr schwer löslich. Auf die Bestimmung der Polarisation bei dieser Temperatur wurde daher verzichtet.

Diese Ergebnisse erlauben es nicht, über die Grösse der Atom-polarisation mehr als nur ganz rohe Annahmen zu machen. Man kann nur vermuten, dass sie für alle gemessenen Nitrohalogenide des Benzols nicht sehr verschieden sein wird, und zwar müssen die Werte alle zwischen 0 und 20 liegen. Da man auf jeden Fall mit einem endlichen Wert für die Atompolarisation wird rechnen müssen, so kommt man bei der Berechnung der Momente den Verhältnissen wohl am nächsten, wenn man diesen Wert in allen Fällen mit 10 ansetzt, und der dieser Grösse anhaftenden Unsicherheit sowie der relativ kleinen Unsicherheit der Gesamtpolarisation (etwa ± 3) durch eine Fehlerbreite von ± 10 für die Orientierungspolarisation Rechnung trägt. Die unter diesen Voraussetzungen errechneten Momente, die sicher einen sehr grossen Grad von Wahrscheinlichkeit haben, sind nachfolgend zusammengestellt worden. Dazugefügt sind die von WALDEN und WERNER und die von HØJENDAHL gefundenen Werte sowie die Werte, die unter der Annahme der normalen Valenzwinkel auf Grund der Einzelmomente von 3·8 für NO_2 an Benzol gebunden und 1·5 (1·2) für Halogen an Benzol gebunden durch Vektoraddition errechnet wurden¹⁾:



| | <i>Cl</i> | | | <i>Br</i> | | <i>J</i> | Berechnet |
|----------|-------------------------|---------------------|----------------|-------------------------|----------------|-------------------------|------------|
| | LÜTGERT | WALDEN u. WERNER | HØJEN- DAHL | LÜTGERT | HØJEN- DAHL | LÜTGERT | |
| <i>o</i> | $3\cdot96 \pm 0\cdot06$ | 3·78 | 4·25 | $3\cdot98 \pm 0\cdot06$ | — | $3\cdot66 \pm 0\cdot07$ | 4·7 (4·5) |
| <i>m</i> | $3\cdot12 \pm 0\cdot08$ | 3·18 | 3·38 | $3\cdot17 \pm 0\cdot08$ | — | $3\cdot22 \pm 0\cdot09$ | 3·3 (3·35) |
| <i>p</i> | $2\cdot34 \pm 0\cdot1$ | 2·36 | 2·55 | $2\cdot45 \pm 0\cdot1$ | 2·53 | $2\cdot63 \pm 0\cdot12$ | 2·3 (2·6) |

Die Übereinstimmung mit den Werten von WALDEN und WERNER ist ausgezeichnet. Die Werte von HØJENDAHL sind wohl alle etwas zu hoch.

Zwei Folgerungen kann man aus dem Vergleich dieser Ergebnisse mit den berechneten Werten ziehen:

1. Die Annahme, dass sich die Teilmomente zweier Substituenten am Benzol in 1·3- und 1·4-Stellung gegenseitig nicht irgendwie beeinflussen, ist für die Nitrohalogenbenzole in erster Näherung berechtigt.

¹⁾ Der Faktor 10^{-18} ist hier der Einfachheit halber wegelassen worden.

2. Die Abweichung der Momente 1'2-disubstituierter Benzole von den berechneten Werten kann nicht allein eine Folge der Raumerfüllung sein, denn es müssten sich in diesem Fall in den Momenten der *o*-Nitrohalogenbenzole Unterschiede zeigen, die aus der verschiedenen Grösse der Halogenatome herzuleiten wären, und das ist nicht der Fall.

Anmerkung bei der Korrektur: Als diese Untersuchung abgeschlossen und zum Druck gegeben worden war, erschien die Arbeit von L. TIGANIK¹⁾. Er veröffentlicht ebenfalls Dipolmessungen der Nitrochlor- und Nitrobrombenzole. Die von ihm gefundenen Werte liegen alle 7 bis 9% höher als die hier mitgeteilten. Dieser Unterschied ist leicht zu erklären. Der bei meinen Messungen benutzte Kondensator wurde, wie früher schon gesagt²⁾ mit Gemischen von Nitrobenzol-Benzol nach Messungen von PHILIP geeicht. Auf Grund dieser Messungen berechnet man das Moment des Nitrobenzols zu $\mu \equiv 3.75$ ³⁾. TIGANIK dagegen findet für Nitrobenzol $\mu \equiv 3.97$ d. h. 6% höher. Die Unterschiede beruhen also im wesentlichen auf verschiedenen Eichwerten für die verwandten Kondensatoren. Es wurde aber davon Abstand genommen eine Umrechnung vorzunehmen, da sich die von mir gefundenen Werte ausgezeichnet an die von WALDEN und WERNER⁴⁾ anlehnen. Diese Autoren eichen ihren Messkondensator mit einem Aceton-Alkoholgemisch auf Grund der Messungen von DRUDE⁵⁾. Ferner stimmt der früher von mir für Blausäure gefundene Wert sehr gut mit dem von O. WERNER überein⁶⁾. WERNER eicht seinen Kondensator mit einem Alkohol-Benzolgemisch nach Messungen von PHILIP. Diese ausgezeichnete Übereinstimmung von drei völlig unabhängig gemachten Messreihen, deren Eichungen auf ganz verschiedenen Messungen aufbauen, veranlassen dazu an den hier veröffentlichten Zahlen vorläufig festzuhalten. Es wird später hierauf noch zurückgekommen werden. Wichtig ist zunächst, dass die beiden Schlussfolgerungen über die gegenseitige Beeinflussung der Substituenten durch diese Verschiedenheiten nicht berührt werden.

¹⁾ L. TIGANIK, Z. physikal. Ch. (B) **13**, 425. 1931. ²⁾ Z. physikal. Ch. (B) **14**, 30. 1931. ³⁾ Durch diese Bezeichnungsweise soll angedeutet werden, dass bei der Berechnung die Atompolarisation nicht berücksichtigt wurde. ⁴⁾ WALDEN und WERNER, loc. cit. ⁵⁾ Z. physikal. Ch. (B) **2**, 10. 1928. ⁶⁾ Z. physikal. Ch. (B) **4**, 371. 1929.

Messungen.

o-Nitrochlorbenzol.

| Molenbruch | Molgewicht | Dichte | DK | $P_{1,2}$ | P_2 |
|------------------|------------|---------|--------|-----------|-------|
| Temperatur 25'0° | | | | | |
| 0'00000 | 78'047 | 0'87322 | 2'2736 | 26'636 | — |
| 0'00184 | 78'193 | 0'87446 | 2'3160 | 27'265 | 368 |
| 0'00246 | 78'243 | 0'87486 | 2'3314 | 27'491 | 375 |
| 0'00347 | 78'323 | 0'87553 | 2'3560 | 27'848 | 376 |
| 0'00375 | 78'344 | 0'87573 | 2'3609 | 27'918 | 369 |
| 0'00482 | 78'436 | 0'87643 | 2'3859 | 28'281 | 369 |
| 0'00562 | 78'493 | 0'87699 | 2'4059 | 28'560 | 370 |

 $P_2 = 371$

| | | | | | |
|------------------|--------|---------|--------|--------|-----|
| Temperatur 62'1° | | | | | |
| 0'00000 | 78'047 | 0'83357 | 2'2045 | 26'823 | — |
| 0'00167 | 78'180 | 0'83470 | 2'2363 | 27'334 | 333 |
| 0'00313 | 78'297 | 0'83580 | 2'2643 | 27'774 | 330 |
| 0'00358 | 78'332 | 0'83600 | 2'2729 | 27'913 | 331 |
| 0'00511 | 78'453 | 0'83702 | 2'3031 | 28'383 | 332 |
| 0'00625 | 78'544 | 0'83781 | 2'3255 | 28'729 | 332 |

 $P_2 = 332$ *m*-Nitrochlorbenzol.

| Molenbruch | Molgewicht | Dichte | DK | $P_{1,2}$ | P_2 |
|------------------|------------|---------|----------------------|-----------|-------|
| Temperatur 25'0° | | | | | |
| 0'00000 | 78'047 | 0'87322 | 2'2736 | 26'636 | — |
| 0'00165 | 78'179 | 0'87427 | 2'2982 | 27'011 | 252 |
| 0'00252 | 78'247 | 0'87483 | 2'3110 | 27'200 | 251 |
| 0'00396 | 78'362 | 0'87576 | 2'3325 | 27'520 | 250 |
| 0'00517 | 78'457 | 0'87657 | 2'3506 | 27'786 | 249 |
| 0'00630 | 78'548 | 0'87730 | 2'3670 ¹⁾ | 28'094 | 247 |
| 0'00756 | 78'649 | 0'87814 | 2'3855 ¹⁾ | 28'295 | 246 |
| 0'00868 | 78'737 | 0'87885 | 2'4019 ¹⁾ | 28'533 | 245 |

 $P_2 = 250$

| | | | | | |
|------------------|--------|---------|--------|--------|-----|
| Temperatur 65'4° | | | | | |
| 0'00000 | 78'047 | 0'82952 | 2'1990 | 26'866 | — |
| 0'00199 | 78'205 | 0'83080 | 2'2225 | 27'253 | 221 |
| 0'00252 | 78'246 | 0'83115 | 2'2285 | 27'351 | 220 |
| 0'00391 | 78'358 | 0'83203 | 2'2461 | 27'638 | 224 |
| 0'00496 | 78'441 | 0'83267 | 2'2586 | 27'841 | 223 |
| 0'00694 | 78'597 | 0'83390 | 2'2828 | 28'231 | 224 |

 $P_2 = 223$ ¹⁾ Die letzten drei Werte für die DK weichen deutlich von der Geraden ab.

p-Nitrochlorbenzol.

| Molenbruch | Molgewicht | Dichte | DK | $P_{1,2}$ | P_2 |
|------------------|------------|---------|--------|-----------|-------------|
| Temperatur 25'0° | | | | | |
| 0'00000 | 78'047 | 0'87322 | 2'2736 | 26'636 | — |
| 0'00204 | 78'210 | 0'87460 | 2'2913 | 26'909 | 160 |
| 0'00357 | 78'330 | 0'87557 | 2'3048 | 27'116 | 161 |
| 0'00415 | 78'377 | 0'87597 | 2'3101 | 27'197 | 162 |
| 0'00640 | 78'556 | 0'87745 | 2'3295 | 27'492 | 160 |
| 0'00721 | 78'621 | 0'87798 | 2'3363 | 27'595 | 160 |
| 0'00892 | 78'756 | 0'87911 | 2'3514 | 27'822 | 160 |
| 0'01065 | 78'893 | 0'88032 | 2'3666 | 28'047 | 159 |
| | | | | | $P_2 = 160$ |

| | | | | | |
|------------------|--------|---------|--------|--------|-------------|
| Temperatur 65'4° | | | | | |
| 0'00000 | 78'047 | 0'82952 | 2'1990 | 26'866 | — |
| 0'00158 | 78'173 | 0'83050 | 2'2103 | 27'058 | 148 |
| 0'00203 | 78'208 | 0'83075 | 2'2130 | 27'105 | 145 |
| 0'00367 | 78'339 | 0'83175 | 2'2252 | 27'312 | 148 |
| 0'00408 | 78'372 | 0'83205 | 2'2283 | 27'364 | 148 |
| 0'00660 | 78'572 | 0'83355 | 2'2457 | 27'657 | 146'5 |
| 0'00667 | 78'576 | 0'83360 | 2'2464 | 27'667 | 147 |
| | | | | | $P_2 = 147$ |

o-Nitrobrombenzol.

| Molenbruch | Molgewicht | Dichte | DK | $P_{1,2}$ | P_2 |
|------------------|------------|---------|--------|-----------|-------------|
| Temperatur 25'0° | | | | | |
| 0'00000 | 78'047 | 0'87322 | 2'2736 | 26'636 | — |
| 0'00106 | 78'178 | 0'87440 | 2'2988 | 27'012 | 380 |
| 0'00119 | 78'195 | 0'87460 | 2'3017 | 27'055 | 377 |
| 0'00220 | 78'319 | 0'87573 | 2'3250 | 27'399 | 373 |
| 0'00286 | 78'402 | 0'87652 | 2'3418 | 27'643 | 378 |
| 0'00300 | 78'418 | 0'87667 | 2'3448 | 27'686 | 376'5 |
| | | | | | $P_2 = 377$ |

| | | | | | |
|------------------|--------|---------|--------|--------|-------------|
| Temperatur 65'4° | | | | | |
| 0'00000 | 78'047 | 0'82952 | 2'1990 | 26'866 | — |
| 0'00209 | 78'307 | 0'83175 | 2'2383 | 27'507 | 333 |
| 0'00239 | 78'344 | 0'83210 | 2'2442 | 27'601 | 334 |
| 0'00364 | 78'498 | 0'83340 | 2'2682 | 27'987 | 334 |
| 0'00540 | 78'716 | 0'83540 | 2'3018 | 28'515 | 332 |
| | | | | | $P_2 = 333$ |

m-Nitrobrombenzol.

| Molenbruch | Molgewicht | Dichte | DK | $P_{1,2}$ | P_2 |
|------------------|------------|---------|--------|-----------|-------------|
| Temperatur 25.0° | | | | | |
| 0.00000 | 78.047 | 0.87322 | 2.2736 | 26.636 | — |
| 0.00169 | 78.256 | 0.87515 | 2.2997 | 27.030 | 259 |
| 0.00190 | 78.283 | 0.87538 | 2.3033 | 27.084 | 262 |
| 0.00280 | 78.407 | 0.87640 | 2.3159 | 27.277 | 256 |
| 0.00372 | 78.506 | 0.87745 | 2.3304 | 27.488 | 256 |
| 0.00393 | 78.533 | 0.87770 | 2.3342 | 27.544 | 258 |
| 0.00535 | 78.709 | 0.87930 | 2.3559 | 27.864 | 256 |
| | | | | | $P_2 = 257$ |
| Temperatur 65.4° | | | | | |
| 0.00000 | 78.047 | 0.82952 | 2.1990 | 26.866 | — |
| 0.00156 | 78.240 | 0.83125 | 2.2186 | 27.189 | 234 |
| 0.00267 | 78.378 | 0.83250 | 2.2332 | 27.427 | 237 |
| 0.00414 | 78.559 | 0.83420 | 2.2514 | 27.720 | 233 |
| 0.00570 | 78.753 | 0.83600 | 2.2717 | 28.045 | 233 |
| | | | | | $P_2 = 234$ |

p-Nitrobrombenzol.

| Molenbruch | Molgewicht | Dichte | DK | $P_{1,2}$ | P_2 |
|------------------|------------|---------|----------------------|-----------|-------------|
| Temperatur 25.0° | | | | | |
| 0.00000 | 78.047 | 0.87322 | 2.2736 | 26.636 | — |
| 0.00242 | 78.347 | 0.87590 | 2.2968 | 26.995 | 175 |
| 0.00250 | 78.356 | 0.87600 | 2.2976 | 27.007 | 175 |
| 0.00286 | 78.401 | 0.87640 | 2.3007 | 27.056 | 173 |
| 0.00301 | 78.411 | 0.87655 | 2.3027 | 27.084 | 175 |
| 0.00377 | 78.514 | 0.87740 | 2.3096 | 27.197 | 175.5 |
| 0.00462 | 78.618 | 0.87835 | 2.3169 ¹⁾ | 27.306 | 171.5 |
| 0.00503 | 78.669 | 0.87882 | 2.3208 ¹⁾ | 26.364 | 171.0 |
| | | | | | $P_2 = 174$ |
| Temperatur 65.4° | | | | | |
| 0.00000 | 78.047 | 0.82952 | 2.1990 | 26.866 | — |
| 0.00171 | 78.260 | 0.83140 | 2.2119 | 27.084 | 154 |
| 0.00330 | 78.454 | 0.83308 | 2.2240 | 27.289 | 155 |
| 0.00544 | 78.720 | 0.83538 | 2.2400 | 27.559 | 154.5 |
| | | | | | $P_2 = 155$ |

¹⁾ Die letzten beiden Werte für die DK weichen deutlich von der Geraden ab.

o-Nitroiodbenzol.

| Molenbruch | Molgewicht | Dichte | DK | $P_{1,2}$ | P_2 |
|------------------|------------|---------|--------|-----------|-------------------|
| Temperatur 25.0° | | | | | |
| 0.00000 | 78.047 | 0.87322 | 2.2736 | 26.636 | — |
| 0.00118 | 78.249 | 0.87517 | 2.2982 | 27.005 | 339 |
| 0.00169 | 78.336 | 0.87598 | 2.3090 | 27.167 | 341 |
| 0.00298 | 78.556 | 0.87810 | 2.3354 | 27.556 | 335 |
| 0.00341 | 78.630 | 0.87885 | 2.3440 | 27.681 | 333 |
| 0.00444 | 78.806 | 0.88055 | 2.3659 | 27.999 | 334 |
| | | | | | $\bar{P}_2 = 335$ |

| | | | | | |
|------------------|--------|---------|--------|--------|-------------------|
| Temperatur 65.4° | | | | | |
| 0.00000 | 78.047 | 0.82952 | 2.1990 | 26.866 | — |
| 0.00102 | 78.221 | 0.83120 | 2.2162 | 27.146 | 301 |
| 0.00140 | 78.287 | 0.83173 | 2.2220 | 27.243 | 296 |
| 0.00204 | 78.396 | 0.83275 | 2.2335 | 27.430 | 303 |
| 0.00261 | 78.493 | 0.83365 | 2.2430 | 27.583 | 302 |
| 0.00316 | 78.586 | 0.83455 | 2.2530 | 27.742 | 304 |
| 0.00350 | 78.646 | 0.83505 | 2.2574 | 27.816 | 298 |
| | | | | | $\bar{P}_2 = 301$ |

m-Nitroiodbenzol.

| Molenbruch | Molgewicht | Dichte | DK | $P_{1,2}$ | P_2 |
|------------------|------------|---------|--------|-----------|-------------------|
| Temperatur 25.0° | | | | | |
| 0.00000 | 78.047 | 0.87322 | 2.2736 | 26.636 | — |
| 0.00124 | 78.259 | 0.87522 | 2.2932 | 26.934 | 267 |
| 0.00208 | 78.403 | 0.87658 | 2.3072 | 27.145 | 271 |
| 0.00372 | 78.683 | 0.87915 | 2.3338 | 27.545 | 271 |
| 0.00401 | 78.724 | 0.87960 | 2.3371 | 27.592 | 265 |
| 0.00562 | 79.007 | 0.88220 | 2.3647 | 28.002 | 269 |
| | | | | | $\bar{P}_2 = 269$ |

| | | | | | |
|------------------|--------|---------|--------|--------|-------------------|
| Temperatur 65.4° | | | | | |
| 0.00000 | 78.047 | 0.82952 | 2.1990 | 26.866 | — |
| 0.00224 | 78.429 | 0.83293 | 2.2276 | 27.342 | 239 |
| 0.00225 | 78.431 | 0.83293 | 2.2271 | 27.335 | 235 |
| 0.00395 | 78.723 | 0.83555 | 2.2505 | 27.719 | 242 |
| 0.00435 | 78.790 | 0.83620 | 2.2555 | 27.799 | 241 |
| 0.00601 | 79.074 | 0.83875 | 2.2772 | 28.151 | 240 |
| 0.00625 | 79.115 | 0.83915 | 2.2806 | 28.194 | 239 |
| | | | | | $\bar{P}_2 = 240$ |

p-Nitroiodbenzol.

| Molenbruch | Molgewicht | Dichte | DK | $P_{1,2}$ | P_2 |
|------------------|------------|---------|--------|-----------|-------------|
| Temperatur 65·4° | | | | | |
| 0·00000 | 78·047 | 0·82952 | 2·1990 | 26·866 | — |
| 0·00198 | 78·385 | 0·83258 | 2·2169 | 27·169 | 180 |
| 0·00226 | 78·434 | 0·83300 | 2·2194 | 27·211 | 180 |
| 0·00467 | 78·845 | 0·83680 | 2·2417 | 27·582 | 180 |
| 0·00490 | 78·885 | 0·83720 | 2·2441 | 27·620 | 181 |
| 0·00665 | 79·184 | 0·83985 | 2·2603 | 27·891 | 181 |
| | | | | | $P_2 = 181$ |

Die Notgemeinschaft der Deutschen Wissenschaft unterstützte diese Arbeit dadurch, dass sie die Mittel für die Apparatur zur Verfügung stellte. Dafür sei ihr an dieser Stelle gedankt.

Herrn Prof. BRAUNE habe ich zu danken für die Gastfreundschaft, die er mir in seinem Institut gewährte, und für den Anteil, den er an meinen Untersuchungen nahm.

Hannover, Physikal.-chem. Institut d. Technischen Hochschule.

Die Verbrennung von Schwefelkohlenstoff mit Sauerstoff.

Von

H. W. Thompson und C. F. Kearton.

(Mit 1 Figur im Text.)

(Eingegangen am 8. 7. 31.)

Es werden die Einflüsse verschiedener Faktoren auf den kritischen Druckbereich für die spontane Verbrennung von Schwefelkohlenstoff-Sauerstoffgemischen untersucht. Durch Änderung der Gefässgrösse sowie auch des Mischungsverhältnisses, wird die obere Druckgrenze merklich beeinflusst. Es wird gezeigt, dass die Reaktionsketten durch Zusammenstoss mit Schwefelkohlenstoff oft abgebrochen werden, mit Sauerstoff aber sich weiter fortpflanzen. Offenbar dient auch die Wand als Kettenbrecher, da sie mit Schwefelkohlenstoff bedeckt ist. Ein Reaktionsmechanismus wird besprochen, in dem eine Art Peroxyd entstehen soll.

Die vor einem Jahre in dieser Zeitschrift veröffentlichte Untersuchung über die Verbrennung von Schwefelkohlenstoffdampf mit Sauerstoff¹⁾ wurde inzwischen weiter fortgesetzt. Im folgenden sollen die wichtigsten Ergebnisse unserer neueren Versuche mitgeteilt werden, bei denen für jeden einzelnen Versuch trotz der damit verbundenen Unbequemlichkeit stets ein sauberes Gefäss verwendet wurde.

Die auffallendste Eigenschaft der Schwefelkohlenstoff-Sauerstoffreaktion besteht darin, dass sie mit der Verbrennung von Wasserstoff mit Sauerstoff bei niedrigen Drucken eine Ähnlichkeit aufweist²⁾. Es zeigte sich nämlich, dass oberhalb von etwa 138° C ein Gemisch von Schwefelkohlenstoff und Sauerstoff nur zwischen zwei Druckgrenzen zündet, ausserhalb welcher die Verbrennung kaum vor sich geht.

Dieser für die spontane Explosion kritische Druckbereich erweitert sich mit steigender Temperatur. Versuche von der Art, wie die von ALYEA und HABER³⁾ bei Untersuchung der Verbrennung des Wasserstoffknallgases, deuteten darauf, dass die Zündung auch in diesem Falle von der Wand ausgeht. Gemische aus Schwefelkohlenstoff und Sauerstoff entflammten „ohne Wand“ erst bei merklich höheren Temperaturen, als in den gewöhnlich gebrauchten Quarzgefässen.

Nun ist es in der letzten Zeit von höchstem Interesse geworden, unsere Kenntnis sowohl über den Anfang und Abbruch, wie auch über

¹⁾ THOMPSON, Naturw. 18, 531. 1930. Z. physikal. Ch. (B) 10, 280. 1930.

²⁾ THOMPSON und HINSHELWOOD, Pr. Roy. Soc. (A) 122, 610. 1929. ³⁾ ALYEA und HABER, Naturw. 18, 441. 1930. Z. physikal. Ch. (B) 10, 193. 1930.

die Fortpflanzung von Reaktionsketten zu erweitern. Zunächst wurde der Schwefelkohlenstoffall der Wasserstoffverbrennung vollkommen analog angesehen. Wir haben aber jetzt die Einflüsse der Gefäßdimensionen, die des Mischungsverhältnisses und die des Zusatzes fremder Gase und anderer Faktoren auf diese Reaktion untersucht. Es zeigte sich, dass die beiden Fälle nicht in allen Einzelheiten parallel sind.

Die experimentelle Anordnung und die Versuchsmethode waren mit den früher beschriebenen prinzipiell identisch. Die meisten Daten wurden aus Versuchen entnommen, bei denen mit verschiedenen Gemischen gefüllte Glasrohre in ein geheiztes Ölbad eingetaucht wurden („Methode der konstanten Dichte und veränderlichen Temperatur“). Als Lichtquelle für die photochemischen Versuche wurde die unfiltrierte Strahlung einer ziemlich intensiven Quecksilberlampe benutzt.

Ergebnisse.

Der Einfluss der Gefäßgrösse auf die Druckgrenzen der Explosion wurde in der Weise studiert, dass die Grenzen in verschiedenen weiten Gefässen ermittelt wurden. Im Falle des Wasserstoffknallgases hat man aus den allerersten Versuchen geglaubt, dass die obere Grenze von der Wand ganz unabhängig ist. Von ALYEA und HABER ist aber gefunden worden, dass die Druckgrenze von der adsorbierten Gas-schicht an der Wand abhängig ist; und ALYEA schlug spezielle Mechanismen für die Entstehung der Ketten von der adsorbierten Gas-schicht vor¹⁾. Neuere Versuche von HINSELWOOD²⁾ über die Wandreaktion zwischen Wasserstoff und Sauerstoff widersprechen aber der ALYEAschen Deutung. Demnach ist die Abhängigkeit der oberen Zündungsgrenze von den Wandbedingungen noch nicht völlig geklärt; auf jeden Fall ist dieselbe im Wasserstoff-Sauerstofffall nicht besonders ausgeprägt.

In dem Falle des Schwefelkohlenstoffs ist es jedoch sicher, dass die niedrigste Entflammungstemperatur mit Änderung der Gefäßweite sich ändert, und zwar mit Verkleinerung des Gefässes verschiebt sich das ganze Explosionsgebiet nach höheren Temperaturen (Fig. 1). Ferner gibt es Hinweise darauf, dass die Kurven ABC , $A'B'C'$ und $A''B''C''$ bei abnehmender Gefäßweite immer flacher werden. Obwohl dies aus der Figur nicht klar hervorgeht, genügen drei Versuchs-

¹⁾ ALYEA, J. Am. chem. Soc. 53, 1324. 1931.
Mitteilung, Arbeit im Druck.

²⁾ HINSELWOOD, private

reihen, den Sachverhalt darzustellen. Für diesen wurden Gefäße von 2,5, 1,0 und 0,5 cm Durchmesser verwendet. Typische Resultate sind in den folgenden Tabellen zusammengestellt.

Röhre A. 2,5 cm Durchmesser. 10 cm Länge.

| Versuch Nr. | CS ₂ : 3 O ₂ . Totaldruck mm (ber.) | Ergebnis |
|-----------------------|--|---------------------------|
| 1. Temperatur 160° C. | | |
| 4 | 38 | keine Explosion |
| 3 | 64 | Explosion |
| 5 | 133,5 | " |
| 2 | 159 | " |
| 6 | 208,5 | " |
| 7 | 244,5 | keine Explosion in 3 Min. |
| 8 | 311,2 | " " " 3 " |
| 1 | 360 | " " " 3 " |
| 9 | 410,5 | " " " 3 " |
| 2. Temperatur 200° C. | | |
| 8 | 38 | explodierte nach 30 Sek. |
| 3 | 120,5 | " " 10 " |
| 1 | 369 | " " 10 " |
| 2 | 420 | " " 25 " |
| 6 | 432 | " " 30 " |
| 4 | 506 | " " 1 Min. |
| 5 | 656 | " " 20 Sek. |
| 7 | 935 | keine Explosion in 3 Min. |
| 9 | 1055 | " " " 3 " |
| 3. Temperatur 180° C. | | |
| 1 | 182 | explodierte nach 15 Sek. |
| 2 | 224 | " " 15 " |
| 4 | 286,5 | " " 19 " |
| 3 | 349 | " " 18 " |
| 5 | 398,5 | " " 44 " |
| 7 | 486 | keine Explosion in 5 Min. |
| 6 | 635 | " " " 5 " |

Röhre B. 1,0 cm Durchmesser. 11 cm Länge.

| Versuch Nr. | CS ₂ : 3 O ₂ . Totaldruck mm (ber.) | Ergebnis |
|-----------------------|--|---------------------------|
| 1. Temperatur 217° C. | | |
| 6 | 213 | explodierte nach 12 Sek. |
| 3 | 259 | " " 12 " |
| 4 | 338 | " " 10 " |
| 7 | 396 | " " 11 " |
| 5 | 441 | " " 35 " |
| 1 | 656 | keine Explosion in 5 Min. |
| 2 | 1161 | " " " 5 " |

Röhre B (Fortsetzung).

| Versuch Nr. | CS ₂ : 3 O ₂ . Totaldruck mm (ber.) | Ergebnis |
|-----------------------|--|---------------------------------|
| 2. Temperatur 202° C. | | |
| 8 | 88 | explodierte nach 1 Min. 10 Sek. |
| 2 | 155 | " " 30 Sek. |
| 4 | 201 | " " 25 " |
| 5 | 266 | " " 35 " |
| 3 | 314 | " " 30 " |
| 7 | 414 | keine Explosion in 5 Min. |
| 6 | 563 | " " 5 " |
| 1 | 653 | " " 5 " |

Abgeschätzte Werte der Grenzen.

| Rohr-Typus | Temperatur | Volumenverhältnis immer 1 CS ₂ : 3 O ₂ | |
|------------|------------|--|--------------------|
| | | Untere Grenze mm | Obere Grenze mm |
| A | 142 | — | 169 |
| | 150 | 85 | 148, 186 |
| | 160 | 60 | 227 |
| | 172 | — | 300 |
| | 173 | — | 344 |
| | 180 | — | 442, 400 |
| | 190 | — | 612 |
| | 200 | — | 795 |
| | 210 | — | 870 |
| | | | |
| B | 172 | 181 | 187 |
| | 180 | keine Explosion | keine Explosion |
| | 185 | 130 | — |
| | 190 | — | 266, 285 |
| | 191 | 114 | — |
| | 200 | — | 395 |
| | 202 | — | 364 |
| | 210 | — | > 500 |
| | 211 | — | 561 |
| | 217 | — | 587 |
| | 224 | — | 550 |
| | 235 | — | 800 |
| | 238 | — | 760 |
| C | 250 | — | 935 |
| | 275 | — | > 1095 |
| | 224 | 140 | 280 |
| | 260 | — | 597 |
| | 275 | — | > 1500 |
| | 290 | — | > 2000 |

Wie aus den Tabellen zu sehen ist, wurde die untere Explosionsgrenze nur in einigen Fällen beobachtet. Dies liegt daran, dass die Beobachtung der unteren Druckgrenze mit gewissen Schwierigkeiten

verbunden ist. Bei hohen Drucken wurde das Ausbleiben der Explosion derart geprüft, dass das Gemisch, falls es nach 4- bis 5-minütigem Eintauchen in dem Ölbad nicht entflammt hat, beim Herannahen an ein Gebläse stets zündete. Dies diente als Beweis dafür, dass der Druck des Gemisches oberhalb des zur Ölbadtemperatur gehörigen Grenzdruckes lag. Bei der Bestimmung der unteren Grenze wurde aber bemerkt, dass manchmal Gemische, die im Bade nicht sichtbar zündeten, auch im Gebläse nicht entflamnten. Dies kann zwei Ursachen haben: entweder, dass die Gemische im Ölbad doch

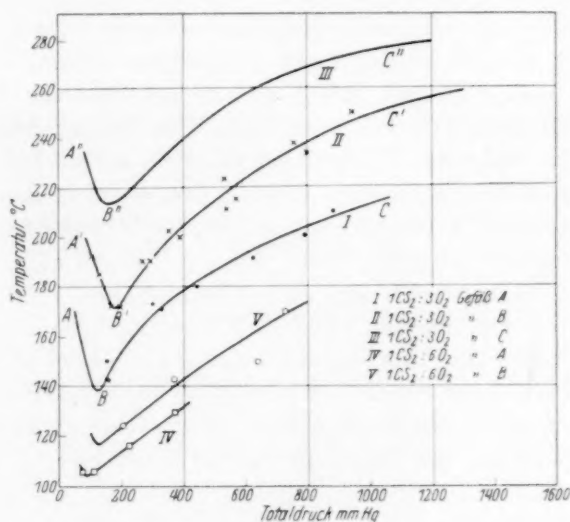


Fig. 1.

unbemerkt zündeten (dies wäre in Anbetracht der Schwachheit der Explosion durchaus möglich), oder — wir halten dies für die wahrscheinlichere Möglichkeit — die untere Druckgrenze ist fast temperaturunabhängig. Dies letztere scheint auch mit den Befunden in anderen Fällen, z. B. beim reinen Wasserstoffknallgas und auch bei Stickstoffperoxydzusatz¹⁾ übereinzustimmen, da diese ebenfalls eine temperaturunabhängige, untere Druckgrenze aufweisen.

Es wurden ferner Versuche von einer anderen Art ausgeführt, um genauere Werte für die untere Grenze zu erhalten. In diesen Versuchen wurden Schwefelkohlenstoff-Sauerstoffgemische von gewünschter Zu-

¹⁾ THOMPSON und HINSHELWOOD, Pr. Roy. Soc. (A) **124**, 219. 1929.

sammensetzung in ein vorher evakuiertes geheiztes Gefäss eingeführt. Bei der unteren Druckgrenze sollte das Gemisch beim Hereinströmen explodieren. Diese Methode ist aber mit einer prinzipiellen Schwierigkeit verbunden, indem wegen der Induktionszeit der Explosion ein zu grosser Wert für den Explosionsdruck gemessen wird. Auch hängt die Zündung von der Strömungsgeschwindigkeit ab. Tatsächlich konnte man auf diese Weise keine reproduzierbaren Messungen machen.

Hier bedarf auch ein weiterer Punkt der Erwähnung. In den engsten Rohren explodierten bei 275° C alle Gemische bei Drucken unterhalb 1500 mm, und auch vielleicht bei noch höheren Drucken. Wie schon in anderen Fällen darauf hingewiesen worden ist, muss die Kurve BC bzw. $B'C'$ und $B''C''$ bei einer bestimmten Temperatur und dem zugehörigen Druck umkehren. Der Umkehrpunkt ist von SEMENOFF im Falle des Wasserstoffknallgases besprochen worden¹⁾. Hier könnte es wohl auch sein, dass ein Maximum in der Kurve III schon bei etwa 270° C erreicht worden ist. Bei Gesamtdrucken oberhalb von ungefähr 1000 mm waren die Explosionen viel heftiger als man erwartet hätte, und trugen den Charakter einer Verpuffung. Ob im allgemeinen der Charakter der Entflammung beim Überschreiten des Maximums wirklich sich ändert, möchten wir aber nicht behaupten.

Die Änderung der Entzündungsfähigkeit von Schwefelkohlenstoff-Sauerstoffgemischen mit Gefässgrösse und Totaldruck bietet ein sofortiges Verständnis der Versuche älterer Beobachter, die streuende Resultate erhalten haben²⁾. In unseren Versuchen, wie auch in den früheren von THOMPSON³⁾, war die Trägheit der Verbrennung ausserhalb des Druckgebiets der Explosion sehr ausgeprägt. Hier waren die Induktionszeiten meistens kleiner, als in den früheren Versuchen; es könnte wohl sein, dass diese Veränderlichkeit von Verunreinigungen in dem Schwefelkohlenstoff veranlasst wird. Bei Abwesenheit einer Induktionszeit, d. h. wenn bei Einleitung des Sauerstoffs in das mit Schwefelkohlenstoff gefüllte Gefäss Explosion sofort eintritt, wurde eine etwas niedrigere „Minimum“-Zündungstemperatur gefunden als durch die andere Methode. Dieses liegt vermutlich daran, dass die Adsorptionsgleichgewichte hier etwas anders sind und die Erzeugung der Ketten irgendwie anders vor sich geht.

¹⁾ KOPP, KOWALSKY, SAGULIN und SEMENOFF, Z. physikal. Ch. (B) **6**, 307. 1930.

²⁾ Siehe BONE und TOWNSEND, Flame and Combustion in Gases, Kap. 33.

³⁾ THOMPSON, Naturw. **18**, 531. 1930. Z. physikal. Ch. (B) **10**, 280. 1930.

Die Fortpflanzung der Ketten wird offenbar durch Sauerstoffüberschuss begünstigt und von Schwefelkohlenstoff selbst etwas gehemmt. Die niedrigste Entflammungstemperatur eines $1\text{CS}_2:3\text{O}_2$ -Gemisches liegt bei jedem Druck höher, als jene eines $1\text{CS}_2:6\text{O}_2$ -Gemisches. Dieses Verhalten ist in den Kurven IV und V der Fig. 1 dargestellt, welche aus folgenden Daten stammen.

| Rohr-Typus | Temperatur | Volumenverhältnis immer $1\text{CS}_2:6\text{O}_2$ | |
|------------|------------|--|--------------------|
| | | Untere Grenze mm | Obere Grenze mm |
| B | 123 | — | 200 |
| | 142 | — | 382 |
| | 150 | — | 630 |
| | 170 | — | 720 |
| | 195 | — | > 1100 |
| A | 106 | 81 | 100 |
| | 117 | — | 221 |
| | 131 | — | 382 |

Aus der auftretenden Volumenänderung bei der Verbrennung ist glaubhaft, dass in beiden Fällen dieselbe Reaktion stattfindet. Einige Messungen mit $1\text{CS}_2:10\text{O}_2$ -Gemischen sind mit dem Nachteil verbunden, dass bei diesem Mischungsverhältnis eine grosse Menge Schwefel abgeschieden wird und die Reaktion verläuft nicht wie bei Sauerstoffüberschuss. Auf jeden Fall zünden im allgemeinen $1\text{CS}_2:1\text{O}_2$ -Gemische, selbst in den weitesten Gefässen, die wir verwendet haben, nicht unterhalb von etwa 180° bis 190°C , und man muss annehmen, dass die kettenfortpflanzenden Prozesse bei diesem Mischungsverhältnis verhindert sind.

Z. B. explodiert ein Gemisch aus 50 mm CS_2 und 250 mm O_2 bei 190°C nach einigen Sekunden oder Minuten, während das Gemisch von 150 mm CS_2 mit 250 mm O_2 bei dieser Temperatur selbst nach 1 Stunde nicht zündet. Diese begünstigende Wirkung des Sauerstoffs für die Kettenausbreiterung und die Hemmung durch Schwefelkohlenstoff selbst bedarf einer näheren Überlegung, auf die wir weiter unten zu sprechen kommen.

Eine solche hemmende Wirkung der zu oxydierenden Verbindung ist in der Verbrennung des Schwefelwasserstoffs vor kurzem gefunden worden¹⁾. Hier wurde nämlich festgestellt, dass die Reaktionsgeschwindigkeit mit etwa der zweiten Potenz der Sauerstoffkonzen-

¹⁾ THOMPSON und KELLAND, J. chem. Soc. London 1931, 1809.

tration steigt, während sie umgekehrt proportional einer kleinen positiven Potenz der Schwefelwasserstoffkonzentration verläuft; d. h. die Ketten werden vom Schwefelwasserstoff selbst abgebrochen. Bei Stickstoffzusatz wird die Schwefelwasserstoffverbrennung verlangsamt, und bei grösseren Mengen des Diluens wird die Explosion unvollständig. Dagegen muss betont werden, dass jene Substanzen, die als „chemische“ Inhibitoren gelten, als Kettenbrecher viel erfolgreicher als die inerten Gase wirken. Z. B. rufen kleine Mengen des Broms und des Äthylens eine merkliche Verkleinerung der Reaktionsgeschwindigkeit hervor¹⁾. Es liegt nahe anzunehmen, wie BÄCKSTRÖM²⁾ unter anderen gezeigt hat, dass die vortreffliche Wirkung solcher Substanzen auf einer chemischen Reaktion mit den aktiven Produkten, d. h. mit den Kettenträgern beruht. Letztere könnten wohl freie Atome oder Radikale sein; im Falle des Schwefelkohlenstoffs wird aber später eine andere und offenbar wahrscheinlichere Möglichkeit vorgeschlagen.

Der hemmende Einfluss des Stickstoffs, des Broms und des Äthylens auf die Verbrennung von Schwefelkohlenstoff ist auch studiert worden. Hier aber muss man den Effekt an beiden Grenzen untersuchen, denn die diese Grenzen bestimmenden Prozesse dürften a priori prinzipiell zu unterscheiden sein. Es zeigt sich, dass Äthylen-, Brom- bzw. Stickstoffzusatz eine Erhöhung der unteren Druckgrenze der Explosion verursacht. Mit Äthylen kann der Einfluss sehr bedeutend werden, indem die Entflammungstemperatur viel höher liegt. Stickstoff ist am allerwenigsten wirksam.

Von den inerten Gasen wird die obere Druckgrenze vielleicht kaum beeinflusst, bis die Konzentration derselben sehr gross wird. Mit Äthylen und vermutlich leichter adsorbierbaren Gasen wird der Effekt ausgeprägter, und zwar in dem Sinne, dass die Zumischung des fremden Gases die Mengen von Schwefelkohlenstoff und Sauerstoff herabsetzt, welche für die Hemmung der Explosion nötig sind. Dafür wird eine Erklärung in der Diskussion vorgeschlagen.

Um den Reaktionsmechanismus näher kennen zu lernen, haben wir auch die photochemische Reaktion des Sauerstoffs mit Schwefelkohlenstoff studiert, indem wir Gemische der Substanzen bei verschiedenen Drucken und bei Temperaturen zwischen 20° bis 130° C in Quarzgefässen mit ultravioletem Licht bestrahlten. Von BER-

¹⁾ N. S. KELLAND, unveröffentlichte Beobachtungen. ²⁾ BÄCKSTRÖM, J. Am. chem. Soc. **49**, 714. 1927. Trans. Farad. Soc. **24**, 601. 1928.

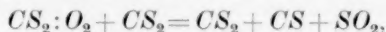
THELOT¹⁾ ist dieser Prozess untersucht worden. Nach Bestrahlung solcher Gemische während Tage und oft Monate hat er eine teilweise, in manchen Fällen jedoch kaum merkbare Reaktion beobachtet. Zu unserer Überraschung führten unsere Versuche nach sorgfältiger Wiederholung zu keiner photochemischen Reaktion; weder eine langsame Verbrennung, noch eine Verschiebung der Explosionsgrenzen wurde beobachtet. Wir haben nämlich geglaubt, dass entweder die vom Schwefelkohlenstoff durch Lichtabsorption in der Gegend der Prädissoziationsgrenze abgespaltenen Schwefelatome oder die *CS*-Radikale mit Sauerstoff reagieren würden. Dies ist aber offenbar nicht der Fall. Um die Reaktionsträgheit zu erklären, kann man verschiedene Hypothesen machen. Dass die Strahlung nicht adsorbiert wird, halten wir für unmöglich, weil in der Tat Schwefel allmählich sich abscheidet. Es bleiben zwei andere Möglichkeiten: entweder die *S*-Atome bzw. *CS*-Radikale reagieren nicht mit Sauerstoffmolekülen oder die Ketten werden auf irgendwelche Weise schnell abgebrochen. Wenn letzteres der Fall wäre, so hätte man auf jeden Fall eine winzige Reaktion messen können sollen. Daher muss man wohl glauben, dass *S*-Atome nicht mit Sauerstoffmolekülen reagieren. Merkwürdig, wie dieser Schluss erscheinen mag, steht er nicht im Widerspruch mit anderen Entdeckungen der letzten Zeit, z. B. reagieren *O*-Atome mit H_2 ebenfalls schwer²⁾. Die Hypothese muss aber durch Versuche geprüft werden, in welchen durch Lichtabsorption zersetzter Schwefeldampf mit Sauerstoff in Berührung gebracht wird.

Den Versuchen von FARKAS, HABER und HARTECK³⁾ folgend, in welchen Wasserstoffknallgas durch hinzugefügte *O*-Atome zur Vereinigung gebracht wurde, haben wir Schwefelkohlenstoff-Sauerstoffgemische, die kleine Mengen Stickstoffperoxyd enthielten, bestrahlt. Weder thermisch noch photochemisch übte das Stickstoffperoxyd eine Wirkung aus. Nun ist von HARTECK und KOPSCH²⁾ gefunden worden, dass Schwefelkohlenstoff von *O*-Atomen angegriffen wird. Deshalb müssen wir hier vermuten, dass die Zahl der durch *O*-Atome erzeugten Kettenglieder zu klein ist, um die Desaktivierung durch CS_2 selbst oder etwa durch Stickstoffperoxyd zu überwinden.

¹⁾ BERTHELOT, C. r. **126**, 1060. 1898. ²⁾ KOPSCH und HARTECK, Naturw. **17**, 727. 1929. Z. Elektrochem. **36**, 714. 1929. Z. physikal. Ch. (B) **12**, 327. 1931. KISTIAKOWSKY, J. Am. chem. Soc. **52**, 1868. 1930. Z. physikal. Ch. (B) **13**, 155. 1931. ³⁾ FARKAS, HABER und HARTECK, Naturw. **18**, 266, 443. 1930. Z. Elektrochem. **36**, 711. 1930.

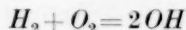
Diskussion.

VON GILL, MARDLES und TETT¹⁾ ist die Verbrennung von Schwefelkohlenstoff vor einiger Zeit studiert worden. Sie haben die hemmende Wirkung des Schwefelkohlenstoffs selbst und auch anderer Verbindungen untersucht und als Kettenträger eine peroxyartige Verbindung $CS_2 \cdot O_2$ angenommen, welche beim Zusammenstoss mit Schwefelkohlenstoff zersetzt wird und zwar nach einer Gleichung



so dass auf diese Weise der Schwefelkohlenstoff selbst stark inhibitorisch wirken könnte. Nach ihnen ist der Einfluss anderer „antiknock“ Substanzen ebenso chemisch zu erklären.

Im Falle der Explosion des Wasserstoffknallgases bei niedrigen Drucken wurde ursprünglich die fundamentale Bildung des Wasserstoffsuperoxyds vorgeschlagen. Diese könnte wohl an der Wand stattfinden. Nach BONHOEFFER und HABER sowie auch ALYEA und HABER sollte man eher



an der Wand annehmen, wodurch die Knallgasvereinigung weiter nach dem Schema von BONHOEFFER und HABER²⁾ vor sich gehen könnte. Während beide Hypothesen ihre eigenen Schwierigkeiten haben, besitzt doch die erste den Vorteil, die merkwürdige Wirkung des Stickstoffperoxyds auf diese Weise möglicherweise erklären zu können. Tatsächlich glauben wir, durch den Schwefelkohlenstofffall, in welchem wir auch die primäre Entstehung einer Art Peroxyd annehmen möchten, eine Unterstützung der ursprünglichen Idee zu haben.

Wir haben folgende wesentliche Ergebnisse festgestellt. Die Zündung von Schwefelkohlenstoff-Sauerstoffgemischen wird von der Anwesenheit einer Wand erleichtert; die untere Druckgrenze wird ein wenig durch Inertgaszusatz aufwärts verschoben, die obere Grenze bleibt dagegen fast unverändert. Die Kettenfortpflanzung wird von Schwefelkohlenstoff verhindert, von Sauerstoff stark begünstigt. Die obere Druckgrenze hängt von der Gefässweite ab, und zwar so, dass in engeren Gefässen der Totaldruck von Schwefelkohlenstoff-Sauerstoff an der Grenze kleiner ist als in grösseren Gefässen. In der Zündung wird neben den Hauptprodukten (Kohlenoxyd, Kohlensäure, Schwefeldioxyd) etwas CS und Schwefel gebildet.

¹⁾ GILL, MARDLES und TETT, Trans. Farad. Soc. **24**, 374. 1928.

²⁾ BONHOEFFER und HABER, Z. physikal. Ch. (A) **137**, 263. 1928.

Der plausible Mechanismus des ganzen Prozesses, obwohl er nur hypothetischen Charakter aufweist, scheint der folgende zu sein. Es bildet sich zunächst die Substanz $CS_2:O_2$. Dies wird vermutlich an der Wand stattfinden. Die $CS_2:O_2$ -Verbindung diffundiert in den Gasraum und unter den richtigen Druckverhältnissen werden die zur Zündung führenden, offenbar verzweigenden Ketten erzeugt. Zusammenstöße mit Sauerstoffmolekülen vermögen die Fortpflanzung erfolgreich zu gestalten. Bei einer bestimmten Schwefelkohlenstoffkonzentration werden die Ketten im Gas von dieser Substanz selbst so stark abgebrochen, indem CS_2 chemisch mit den aktiven Zentren reagiert, dass die Explosion nicht zustande kommt. Diese kettenbrechende Wirkung des Schwefelkohlenstoffs kann aber auch an der Wand sehr leicht stattfinden, und tatsächlich noch leichter, wenn die Wand von dem leicht adsorbierten Schwefelkohlenstoff fast völlig bedeckt wird. Dass inerte Gase die obere Grenze kaum beeinflussen, findet eine einfache Deutung darin, indem die aktive $CS_2:O_2$ -Verbindung nur chemisch zersetzt werden kann; auch werden solche inerten Gase verhältnismässig wenig an der Wand adsorbiert. Dass Äthylen und ähnliche Substanzen eine ausgeprägtere Wirkung zeigen, hängt vielleicht auch damit zusammen, dass sie chemisch reaktionsfähiger und auch leichter adsorbierbar sind. Dass Schwefelatome unter den erwähnten Umständen keine Reaktion hervorbringen können, steht nicht im Widerspruch mit unserer Deutung des Reaktionsmechanismus; es ist aber nicht ganz klar, inwieweit die Versuche von HARTECK und KOPSCH (loc. cit.) über die Reaktion zwischen O-Atome und Schwefelkohlenstoff hier einzuordnen sind. Es ist nämlich zunächst gar nicht sicher, dass die Reaktion, die sie beobachtet haben, von genau derselben Art ist wie die in unserem Falle.

Die Deutung, die wir vorgeschlagen haben, unterscheidet sich nur teilweise von jener, die ALYEA vor kurzem gegeben hat (loc. cit.). Nach seiner Ansicht unterschreitet man die obere Druckgrenze, sobald der Schwefelkohlenstoff genügend desorbiert wird. Dies stimmt ja mit unserer Auffassung überein, da bei genügender Desorption, die Desaktivierung durch Schwefelkohlenstoff vermindert wird.

Eine Schwierigkeit, die wir bei dieser Deutung nicht übersehen können, besteht darin, dass die Reaktionsketten offenbar von der Wand ausgehen, während sie auch an der Wand beim Zusammenstoß mit Schwefelkohlenstoff sterben. Dabei ist aber zu bemerken, dass die Desaktivierung durch CS_2 in der Gegend der oberen Grenze im

Gasraum auch wesentlich ist. Ob die Wanddesaktivierung eine sekundäre Rolle spielt oder nicht, kann man nicht behaupten.

Anmerkung bei der Korrektur: Vor kurzem ist eine Arbeit von FOWLER und VAIDYA¹⁾ erschienen, in welcher diese Autoren die Flamme in der Verbrennung sowie auch die Lumineszenz in der sogenannten „langsamen Verbrennung“ spektroskopisch untersucht haben. Die Banden, die sie beobachtet haben, deuten darauf hin, dass S_2 , SO und CS in dem Reaktionsmechanismus eine Rolle spielen, und die Zwischenstufen, welche FOWLER und VAIDYA für möglich halten, stehen mit der unserigen Deutung im Einklang.

In der allerletzten Zeit hat auch MARDLES²⁾ neuere Beispiele der Autoxydationstheorie von der Verbrennung diskutiert.

Zusammenfassung.

Die Verbrennung von Schwefelkohlenstoff mit Sauerstoff ist weiter untersucht worden. Es zeigt sich, dass der vor einiger Zeit entdeckte kritische Druckbereich der Explosion bei Änderung von verschiedenen Faktoren ebenfalls sich ändert. In dieser Hinsicht sind Änderungen der Gefässgrösse, des Mischungsverhältnisses der reagierenden Bestandteile sowie auch der Einfluss fremder Gase studiert worden. Äthylen und Brom hemmen die Reaktion. Einige photochemische Versuche werden beschrieben. Es wird ein Reaktionsmechanismus gegeben, in dem eine peroxyartige Verbindung gebildet wird, und in dem weiter die aktiven Zentren der Ketten entweder durch Zusammenstoss mit Schwefelkohlenstoff sterben, oder mit Sauerstoff sich weiter fortpflanzen. Die Wand dient als Kettenbrecher, da sie mit adsorbiertem Schwefelkohlenstoff bedeckt ist.

¹⁾ FOWLER und VAIDYA, Pr. Roy. Soc. (A) **132**, 310. 1931.
Nature **128**, 116. 1931.

²⁾ MARDLES,

Oxford, 7. Juli 1931.

Über die Parawasserstoffumwandlung an Wolfram und Nickel.

Von

A. Farkas.

(Aus dem Institut für Physikalische Chemie der Universität Frankfurt a. M.)

(Mit 8 Figuren im Text.)

(Eingegangen am 16. 9. 31.)

Es wird die katalytische Parawasserstoffumwandlung an Wolfram und Nickel untersucht. Sauerstoff wirkt auf beide stark vergiftend. Beim Nickel kann bei bestimmten Bedingungen eine Hydridbildung nachgewiesen werden. Sowohl die Sauerstoffvergiftung, wie auch die Hydridbildung rufen eine Veränderung des Akkomodationskoeffizienten von Wasserstoff an diesen Metallen hervor. Die Parawasserstoffkatalyse und die Akkomodationseffekte werden einheitlich gedeutet.

Im folgenden sollen Versuche beschrieben werden, welche die Para-Orthowasserstoffumwandlung an Wolfram- und Nickeldrähten zum Gegenstand haben. Die Ergebnisse dieser Versuche mit Wolfram und Nickel als Katalysator schliessen sich an Beobachtungen am Platin an¹⁾, die gezeigt haben, dass hier ein jeder Adsorptions- und Desorptionsprozess zur Gleichgewichtseinstellung bezüglich der Para-Orthowasserstoffkonzentration führt.

Wolfram und Nickel werden einzeln behandelt, und zwar werden zunächst die katalytischen Erscheinungen, dann die Akkomodationseffekte beschrieben.

I. Versuche mit Wolfram.

1. Katalyse.

a) Druck- und Temperaturabhängigkeit.

Die Versuchsanordnung war dieselbe wie bei der Untersuchung der Parawasserstoffumwandlung an Platin. [Einzelheiten bezüglich der Parawasserstoffdarstellung, Konzentrationsmessung und Versuchsausführung siehe bei BONHOEFFER und HARTECK²⁾ und BONHOEFFER und FARKAS (loc. cit.).] Als Ausgangsgas wurde meist 47 % iger Parawasserstoff verwendet. Das Reaktionsgefäß war bei den ersten Versuchen ein zylindrisches Gefäß von 22 cm Länge und 8 cm

¹⁾ K. F. BONHOEFFER und A. FARKAS, Z. physikal. Ch. (B) **12**, 231. 1931.

²⁾ K. F. BONHOEFFER und P. HARTECK, Z. physikal. Ch. (B) **4**, 113. 1929.

Durchmesser. Der 0.1 mm starke Wolframdraht¹⁾ war axial in dem Gefäß ausgespannt und an zwei eingeschmolzenen Platinhaltern befestigt. Mit diesem Gefäß liessen sich keine reproduzierbaren Resultate erzielen, jedoch wurde festgestellt, dass starkes Ausglühen des Drahtes auf etwa 2400° C aktivierend, ein geringer Sauerstoffzusatz aber vergiftend wirkt. Ferner zeigte sich ein erheblicher Unterschied zwischen der Wärmeabgabe eines im Wasserstoff erhitzten, katalytisch aktiven und eines inaktiven Drahtes; ich werde auf diese Erscheinung weiter unten bei der Beschreibung der Akkomodationseffekte näher eingehen.

Um die Gefäßwände bequemer ausheizen zu können und insbesondere um eine Kühlung mit flüssiger Luft zu ermöglichen (und dadurch die Wandreaktion an eventuell verdampftem Wolfram von der Reaktion am Draht selbst zu trennen), wurde bei den weiteren Versuchen als Reaktionsgefäß ein zylindrisches Glasgefäß von 170 mm Länge und 60 mm Durchmesser gewählt. Der Wolframdraht war in diesem Gefäß V-förmig, ähnlich wie in Glühlampen angeordnet und hatte eine Länge von 20 cm. Die hiermit ausgeführten Versuche erwiesen sich bei Kühlung der Gefäßwand mit flüssiger Luft als reproduzierbar.

Die Vorbehandlung des Drahtes zum Versuch geschah folgendermassen: Da gezogene Drähte beim Glühen ihren Widerstand verändern²⁾, wurde der Draht zunächst im Vakuum etwa $\frac{1}{2}$ Stunde auf 2000° C erhitzt. Darauf wurde der Strom abgeschaltet und der kalte Draht einige Zeit mit Luft in Kontakt gelassen. Dann wurde das Reaktionsgefäß unter dauerndem Pumpen 1 Stunde lang auf 360° C erhitzt. Nach dem Abkühlen des Gefässes wurde es in flüssige Luft getaucht und die Durchführung der Versuche begonnen.

Bei 50 mm Wasserstoffdruck zeigt sich von 0° bis 100° C innerhalb 10 bis 20 Minuten eine kaum nachweisbare Umwandlung. Bei 300° C setzt eine schnelle Reaktion ein. Wird nun die Temperatur erniedrigt, so bleibt der Draht noch bei Temperaturen aktiv, bei denen er vorher unwirksam war. In der Tabelle 1 ist der so erhaltene Reaktionsverlauf für 50 mm Druck und 0° bis 300° C zusammengestellt.

¹⁾ Die zu den Versuchen benötigten Wolframdrähte (gezogene Einkristalldrähte) wurden mir liebenswürdigerweise von der Firma Osram G. m. b. H., Berlin, zur Verfügung gestellt, wofür ich auch an dieser Stelle meinen besten Dank ausspreche. ²⁾ F. CREDNER, Z. physikal. Ch. 82, 457. 1913.

Tabelle 1.

| Temperatur in ° C | Reaktionszeit | Parawasserstoff- konzentration |
|----------------------|---------------|-----------------------------------|
| 0 | 0 Min. | 47.0 |
| 0 | 1 " | 42.6 |
| 0 | 1.5 " | 40.8 |
| 0 | 2 " | 38.8 |
| 0 | 3 " | 36.0 |
| 0 | 4 " | 33.3 |
| 0 | 5 " | 31.7 |
| 0 | 6 " | 30.0 |
| 0 | 8 " | 28.5 |
| 100 | 0 " | 47.0 |
| 100 | 1 " | 33.8 |
| 100 | 1.5 " | 30.5 |
| 100 | 2 " | 28.3 |
| 200 | 0 " | 47.0 |
| 200 | 1 " | 29.8 |
| 200 | 2 " | 25.1 |
| 300 | 0 Sek. | 47.0 |
| 300 | 15 " | 35.2 |
| 300 | 30 " | 29.6 |
| 300 | 45 " | 27.1 |
| 300 | 60 " | 26.4 |

Die Resultate sind gut reproduzierbar, z. B. wurden bei 0° C und 50 mm Druck zwei Versuche im Abstand von 1 Stunde ausgeführt. Ihre Übereinstimmung ist aus der Tabelle 1 ersichtlich: Die Reaktionszeiten 1, 2, 4 und 6 Minuten beziehen sich auf den ersten, die Zeiten 1.5, 3, 5 und 8 Minuten auf den zweiten Versuch.

Der Zeitverlauf der Reaktion lässt sich durch die Gleichung

$$p_t - p_\infty = (p_0 - p_\infty) e^{-kt}$$

darstellen, dabei bedeuten p_t , p_0 und p_∞ die Parawasserstoffkonzentration zur Zeit t , $t=0$ und $t=\infty$. Wird daher $\log(p_t - p_\infty)$ gegen t aufgetragen so ergibt sich eine gerade Linie (siehe Fig. 1). Im folgenden wird zur Charakterisierung der relativen Reaktions-

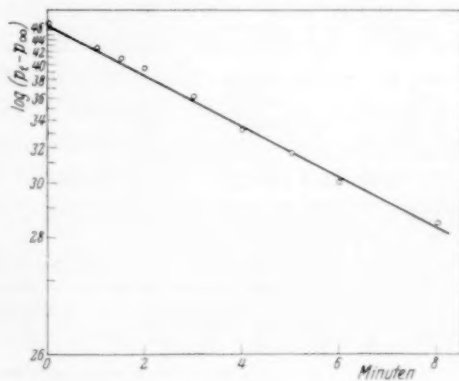


Fig. 1.

geschwindigkeit immer die Halbwertszeit angegeben, d. h. die Zeit, in der die Reaktion zur Hälfte vor sich gegangen ist, also die Parawasserstoffkonzentration von 47 auf 36 % gesunken ist. Die absolute Reaktionsgeschwindigkeit (= Umsatz in Mol pro Sekunde) ist dem Verhältnis Druck/Halbwertszeit proportional.

Die Druckabhängigkeit der Umwandlungsgeschwindigkeit wurde bei 0° C untersucht. Die Resultate sind in der Tabelle 2 zusammengestellt.

Tabelle 2. Temperatur 0° C.

| Druck in mm Hg | Halbwertszeit in Sek. | Druck/Halbwertszeit = absolute Reaktionsgeschwindigkeit in will- kürlichen Einheiten |
|-------------------|--------------------------|--|
| 50 | 180 | 0.28 |
| 100 | 270 | 0.37 |
| 200 | 420 | 0.48 |
| 400 | 510 | 0.78 |

Bei einer Steigerung des Druckes auf das 8fache erhöht sich die absolute Reaktionsgeschwindigkeit nur auf das 2.8fache.

Wird der Wolframdraht im Wasserstoff auf höhere Temperaturen, bis zu 1600° C, erhitzt, so tritt eine wesentlich stärkere Aktivierung nicht ein, wohl aber bei einigen Minuten langem Glühen im Vakuum bei 2400° C. Nach dieser Behandlung ist die katalytische Aktivität des Wolframdrahtes auf das 10- bis 20fache gestiegen. Die Halbwertszeit beträgt bei 0° C und 50 mm Druck 10 bis 15 Sekunden, und selbst bei der Temperatur der flüssigen Luft ist noch eine deutliche Umwandlung zu beobachten. (Im letzteren Falle wird natürlich gewöhnlicher Wasserstoff in ein parawasserstoffreicherer Gemisch umgewandelt.) Im Laufe eines Tages tritt eine allmähliche Vergiftung des Drahtes ein, doch lässt sich der aktive Zustand stets durch Erhitzen im Vakuum wieder erhalten und die dazu gehörigen Reaktionsgeschwindigkeiten

Tabelle 3.

| Temperatur in ° C | Halbwertszeit in Sek. | |
|----------------------|-----------------------|-----|
| | I | II |
| 0 | 8 | 17 |
| - 25 | 15 | 24 |
| - 50 | 24 | 48 |
| - 75 | 59 | 85 |
| - 100 | 340 | 480 |
| - 110 | 920 | — |
| - 185 | etwa 15000 | — |

lassen sich innerhalb Schwankungen von etwa 100 % reproduzieren. In der Tabelle 3 ist die Halbwertszeit bei 50 mm Druck und verschiedenen Temperaturen zusammengestellt (I und II beziehen sich auf zwei Versuchsreihen).

Die Temperaturabhängigkeit der Halbwertszeit (H) wird angenähert durch die ARRHENIUSsche Formel

$$\log H = \frac{Q}{RT} + B$$

wiedergegeben (siehe Fig. 2), dabei bedeutet R die Gaskonstante, T die absolute Temperatur, B eine Konstante, Q hat den Wert von 3800 cal.

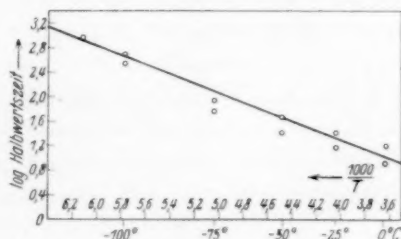


Fig. 2.

Die Druckabhängigkeit der Umwandlungsgeschwindigkeit am hochaktiven Wolframdraht wurde bei 0°, -100° und -110° C untersucht. (Bei der letzten Temperatur ist die Gleichgewichtskonzentration 28 % Parawasserstoff, was bei der Bestimmung der Halbwertszeit berücksichtigt wurde.) Die erhaltenen Resultate zeigt die Tabelle 4.

Tabelle 4.

| Temperatur in °C | Druck in mm | Halbwertszeit in Sek. | Druck/Halbwertszeit = absolute Reaktionsgeschwindigkeit in will- kürlichen Einheiten |
|---------------------|----------------|--------------------------|--|
| -110 | 25 | 510 | $4.9 \cdot 10^{-2}$ |
| -110 | 50 | 920 | $5.4 \cdot 10^{-2}$ |
| -110 | 100 | 1630 | $6.1 \cdot 10^{-2}$ |
| -110 | 200 | 2700 | $7.4 \cdot 10^{-2}$ |
| -100 | 25 | 150 | $16.7 \cdot 10^{-2}$ |
| -100 | 50 | 240 | $20.8 \cdot 10^{-2}$ |
| -100 | 100 | 510 | $19.6 \cdot 10^{-2}$ |
| -100 | 200 | 720 | $27.8 \cdot 10^{-2}$ |
| -100 | 400 | 1110 | $36.0 \cdot 10^{-2}$ |
| 0 | 50 | 17 | $294 \cdot 10^{-2}$ |
| 0 | 100 | 25 | $400 \cdot 10^{-2}$ |
| 0 | 200 | 30 | $666 \cdot 10^{-2}$ |
| 0 | 400 | 50 | $800 \cdot 10^{-2}$ |

Man erkennt, dass die absolute Reaktionsgeschwindigkeit mit dem Druck sich wenig ändert. Bei der 8fachen Druckerhöhung steigt sie bei -110° , -100° und 0° C auf das 1.5-, 1.7- bzw. auf das 2.7fache.

Beim Erhitzen des Drahtes auf 2800° C verdampfen schon merkliche Mengen Wolfram¹⁾ und schlagen sich auf der inneren Gefäßswand nieder. Der so entstandene, noch unsichtbare Metallbelag ist ein guter Katalysator; die Gleichgewichtseinstellung bezüglich der Ortho-Parawasserstoffkonzentration ist bei -185° C und 50 mm Druck innerhalb 20 Minuten praktisch vollendet.

b) Vergiftung.

Wie schon erwähnt, tritt innerhalb eines Tages eine allmähliche Vergiftung des Drahtes ein. Diese wird durch Spuren von Sauerstoff verursacht, der durch Gasabgabe der Gefäßswände in das Reaktionsgefäß gelangt. Dass die so freiwerdenden Gasreste für die Vergiftung eine entscheidende Rolle spielen, geht aus der Tatsache hervor, dass bei Kühlung des Reaktionsgefäßes mit flüssiger Luft der Draht

leicht durch kurzes Erhitzen auf 2400° C aktiviert werden kann, während dies bei Kühlung mit Aceton-Kohlensäure nicht mehr gelingt. Offenbar ist die Gasabgabe schon bei -80° so stark, dass der Draht dauernd vergiftet wird.

Absichtlich zugesetzter Sauerstoff wirkt schon in ganz geringen Mengen stark vergiftend. Das anfangs erwähnte schrittweise Aktivieren lässt sich auch am vergifteten Draht reproduzieren, wie

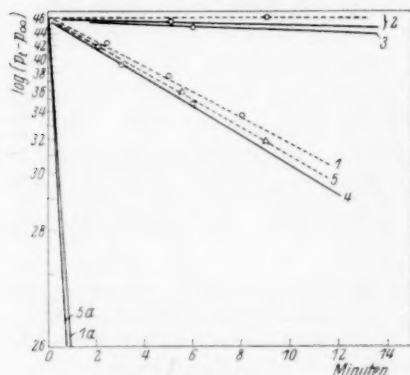


Fig. 3.

dies aus der graphischen Darstellung (Fig. 3) einiger bei 50 mm Druck ausgeführten Messungen hervorgeht. Die gestrichelten Linien beziehen sich auf Versuche bei -100° , die ausgezogenen auf solche bei 0° . Die Numerierung der Versuchsgeraden gibt die Reihenfolge der Vorbehandlung an: 1. 2 Minuten im Vakuum bei 2400° C ausgeglüht. 2. 100 cm^3 Sauerstoffzusatz von 0.01 mm Druck bei kaltem Draht. 3. 2 Minuten im Vakuum erhitzt auf 360° C. 4. 2 Minuten auf 360° C

¹⁾ H. A. JONES und J. LANGMUIR, Gen. Electric. Rev. **30**, 312. 1927.

erhitzt in 40 mm Wasserstoff. 5. 2 Minuten im Vakuum ausgeglüht bei 2400° C. (Die Linien 1a und 5a sind nicht direkt bestimmt, sondern aus den Linien 1 und 5 unter Berücksichtigung der Temperaturabhängigkeit der Reaktion, siehe S. 374, berechnet.) Hiernach wird ein Teil des den Wolfram vergiftenden Sauerstoffs durch Reduktion mit Wasserstoff, der andere nur durch Erhitzen auf höhere Temperatur im Vakuum von der Drahtoberfläche entfernt.

2. Akkomodationseffekte.

Wie bei Platin¹⁾, so wurden auch bei Wolfram Unterschiede in der Wärmeabgabe eines im Vakuum erhitzten katalytisch aktiven und inaktiven Drahtes beobachtet. Die im erwähnten (S. 371) grösseren Zylinder ausgeführten Messungen sind in Fig. 4 graphisch dargestellt. Das Reaktionsgefäss befand sich in einem Wasserbad von 14° C. Es ist bemerkenswert, dass die Wärmeabgabe des inaktiven Drahtes bei tiefen Temperaturen bis zu 15 % grösser, bei hohen Temperaturen jedoch um etwa 30 % kleiner ist als die des aktiven.

Im kleineren Gefäss bei Kühlung mit flüssiger Luft wurden keine systematischen Messungen vorgenommen. Es zeigte sich aber, ein deutlicher, ausserhalb der Fehlergrenze liegender Effekt (siehe Tabelle 5, in welcher der Effekt bei tiefen Temperaturen dargestellt ist).

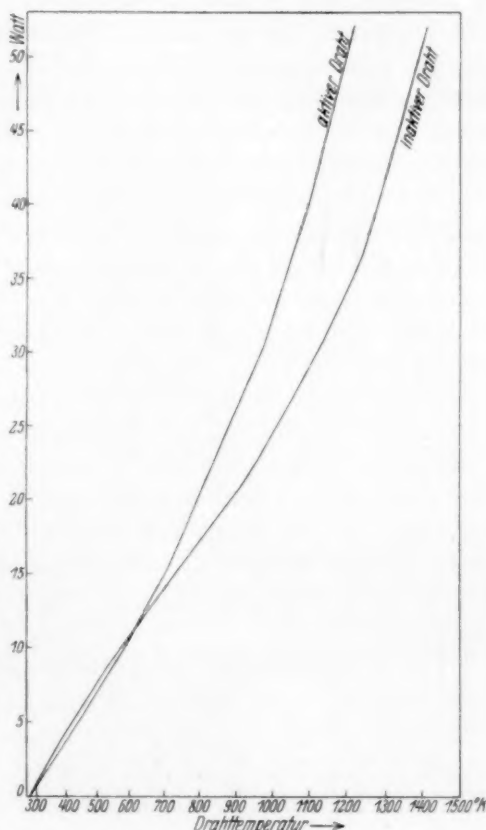


Fig. 4.

¹⁾ K. F. BONHOEFFER und A. FARKAS, loc. cit.

Tabelle 5. Druck 50 mm. Temperatur der Gefäßwand -184°C .

| Draht-Temperatur in $^{\circ}\text{C}$ | Wärmeabgabe in Watt | | Differenz in Proz. |
|---|------------------------|---------|-----------------------|
| | Der Draht ist aktiv | inaktiv | |
| 0 | 4.98 | 5.32 | 6.8 |
| -85 | 2.38 | 2.58 | 8.4 |
| -100 | 1.90 | 1.99 | 5.3 |

3. Deutung der Versuchsergebnisse.

Die Deutung der erhaltenen Resultate gelingt zwanglos mit dem am Platin angenommenen Reaktionsmechanismus. Der Wasserstoff wird atomar am Wolfram adsorbiert, so dass zwischen Ortho- und Parawasserstoff in der adsorbierten Phase nicht mehr unterschieden werden kann. Die gemessene absolute Reaktionsgeschwindigkeit ist die Desorptionsgeschwindigkeit des adsorbierten Wasserstoffs. Nach den vorliegenden Versuchen ist die Druckabhängigkeit der absoluten Reaktionsgeschwindigkeit gering und nimmt mit sinkender Temperatur ab. Hieraus kann man schliessen, dass die Wolframoberfläche selbst bei 0°C und 50 mm Druck mit Wasserstoff weitgehend bedeckt ist. Die Vergiftung des Drahtes beruht darauf, dass das sauerstoffbedeckte Wolfram den Wasserstoff nicht mehr zu dissoziieren vermag. Dies geht auch aus der Beobachtung LANGMUIRS¹⁾ hervor, dass an sauerstoffvergiftetem Wolfram thermisch kein atomarer Wasserstoff erzeugt werden kann. Die Aktivierung besteht in der Entfernung der Sauerstoffhaut. Da diese aber in zwei getrennten Stufen (siehe S. 372 und 374) sich geht (1. durch Behandlung mit Wasserstoff, 2. durch Glühen im Vakuum auf hohe Temperatur), so kann man folgern, dass der Sauerstoff in zwei verschiedenen Formen an Wolfram gebunden ist. Der eine Sauerstoff-Wolframkomplex ist durch Wasserstoff schon bei niedriger Temperatur (300°C) reduzierbar, die zweite Form ist dagegen nur durch Erhitzen auf höhere Temperatur im Vakuum zu zerstören.

Es sei ausdrücklich betont, dass nach den angeführten Befunden eine reine Wolframoberfläche ein ausgezeichneter Katalysator für die Parawasserstoffumwandlung und daher wohl auch für alle Wasserstoffkatalysen ist. Wird das Wolfram inaktiv gefunden, so beruht dies lediglich auf einer Sauerstoffvergiftung der Oberfläche. Eben in

¹⁾ J. LANGMUIR, J. Am. chem. Soc. **34**, 1310. 1913.

dieser Sauerstoffvergiftung unterscheidet sich die Parawasserstoffkatalyse an Wolfram von der an Platin, bei Platin wirkt Sauerstoff aktivierend.

Zur Deutung der Akkomodationseffekte ist folgendes zu sagen: Der Wärmeaustausch an der Grenzfläche fest | gasförmig erfolgt im allgemeinen teils durch Reflexions-, teils durch Adsorptions- und Wiederverdampfungsprozesse. Die Langsamkeit der Parawasserstoffumwandlung bei tiefen Temperaturen zeigt, dass hier der Wärmeaustausch fast ausschliesslich durch Reflexionsprozesse besorgt wird. Nach den Betrachtungen von BAULE¹⁾ ist der Wärmeaustausch durch Reflexion um so besser, eine je kleinere Massendifferenz zwischen Gas- und Wandmolekülen besteht. Also ist für die Wärmeübertragung die sauerstoffbedeckte Oberfläche günstiger als die reine Metallfläche. Dies wird auch bei tiefen Temperaturen tatsächlich beobachtet. Bei höheren Temperaturen, wenn die Zahl der sekundlich adsorbierten und desorbierten Moleküle mit der Zahl der auftreffenden vergleichbar wird, liefern auch diese einen Beitrag zum Wärmeaustausch. Beim aktiven Draht ist entsprechend der grossen Reaktionsgeschwindigkeit die Zahl der Desorptionsprozesse gross, und dadurch erklärt sich die höhere Wärmeabgabe am aktiven gegenüber derjenigen am inaktiven Draht.

II. Versuche mit Nickel.

1. Katalyse.

a) Druck- und Temperaturabhängigkeit.

Die Versuche mit Nickel als Katalysator wurden mit derselben Versuchsanordnung, dem gleichen gekühlten Reaktionsgefäss und nach derselben Versuchsmethode, wie die Messungen an Wolfram ausgeführt.

Die Vorbehandlung des Nickeldrahtes erfolgte in der Weise, dass der frische Draht bei 900° bis 1000° C bis zur Erlangung eines konstanten Widerstands ausgeglüht wurde. Dabei verdampften schon Spuren von Nickel und bildeten an der inneren Gefässwand einen gut katalysierenden Belag wie beim Wolfram (siehe S. 376). Um die Wandreaktion auszuschalten, wurde nun Sauerstoff zugesetzt und dadurch die Wand und gleichzeitig auch der Draht vergiftet. Der Draht konnte dann durch Erhitzen auf 150° im Wasserstoff reduziert und wieder wirksam gemacht werden. Danach wurde mit den Versuchen begonnen (Näheres bezüglich Oxydation und Reduktion siehe weiter unten).

¹⁾ B. BAULE, Ann. Physik 44, 145. 1914.

Zunächst wurde die Temperaturabhängigkeit der Reaktionsgeschwindigkeit bei 25 mm Hg Druck untersucht, Tabelle 6 enthält die Resultate.

Tabelle 6.

| Temperatur in ° C | Halbwertszeit in Sek. | Temperatur in ° C | Halbwertszeit in Sek. |
|----------------------|--------------------------|----------------------|--------------------------|
| 50 | 1030 | 100 | 92 |
| 55 | 900 | 150 | 51 |
| 60 | 510 | 200 | 31 |
| 65 | 150 | 250 | 21 |
| 70 | 77 | 300 | 15 |
| 75 | 108 | 350 | 13 |
| 80 | 115 | | |

Es ist deutlich zu erkennen, dass die Halbwertszeit zunächst mit steigender Temperatur stark abnimmt, von 70° an aber weniger temperaturabhängig wird. Stellt man die Temperaturabhängigkeit der

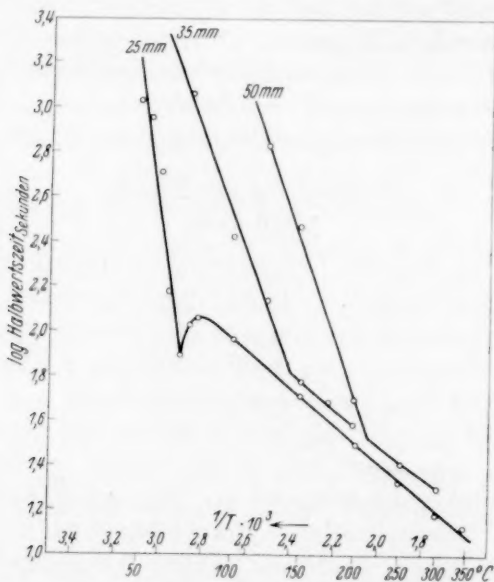


Fig. 5.

Halbwertszeit in Form einer ARRHENIUSschen Gleichung dar, so lässt die graphische Aufzeichnung dieser Funktion (siehe Fig. 5) einen deutlichen Knick erkennen. Bei wachsendem Druck verschiebt sich dieser Knickpunkt zu höheren Temperaturwerten.

Die Druckabhängigkeit der Reaktionsgeschwindigkeit wurde bei verschiedenen Temperaturen untersucht, die Tabelle 7 und Fig. 6 zeigen die erhaltenen Resultate.

Tabelle 7. Temperatur 150° C.

| Druck in mm Hg | Halbwertszeit in Sek. | Druck/Halbwertszeit = absolute Reaktionsgeschwindigkeit in will- kürlichen Einheiten |
|-------------------|--------------------------|--|
| 10 | 35 | 0.29 |
| 15 | 35 | 0.43 |
| 20 | 40 | 0.50 |
| 25 | 46 | 0.55 |
| 30 | 42 | 0.71 |
| 35 | 74 | 0.47 |
| 40 | 106 | 0.38 |
| 45 | 240 | 0.19 |
| 50 | 375 | 0.13 |
| 60 | 432 | 0.14 |
| 80 | 720 | 0.11 |
| 100 | 780 | 0.12 |
| 150 | 787 | 0.19 |
| 200 | 690 | 0.29 |

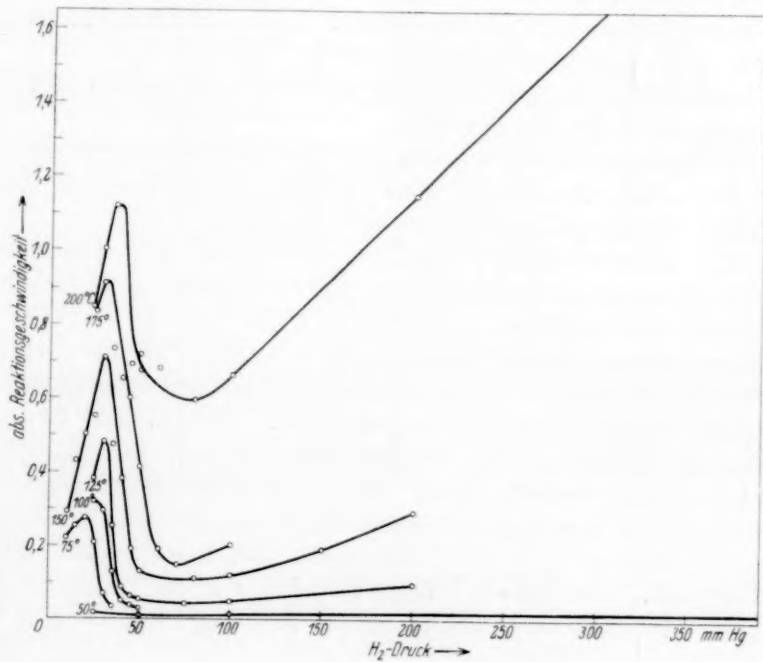


Fig. 6.

Demnach kann man im Verlauf der Reaktionsgeschwindigkeitskurve drei Gebiete unterscheiden: Im ersten steigt die Reaktionsgeschwindigkeit mit wachsendem Druck an, im zweiten fällt sie plötzlich ab und im dritten steigt sie bei Druckerhöhung wieder an. Der Anstieg ist im Gebiet 1 und 3 zunächst dem Druck proportional; bei höheren Drucken und niedrigen Temperaturen wird er im Gebiet 3 flacher.

b) Vergiftung.

Wie auf Wolfram, so wirkt der Sauerstoff auch auf Nickel vergiftend. Die Vergiftung, die offenbar auf einer Oxydation beruht, findet schon bei der Temperatur der flüssigen Luft statt¹⁾. Ein wesentlicher Unterschied gegenüber Wolfram besteht darin, dass die Sauerstoffhaut vom Nickel durch Erhitzen in Wasserstoff leicht entfernt werden kann. Dabei hat es sich gezeigt, dass die Reduktion nicht allmählich vor sich geht, sondern nach einer kürzeren oder längeren Induktionsperiode verhältnismässig rasch erfolgt. Als Beispiel einer Vergiftung und nachträglicher Reduktion sei hier folgender Versuch angeführt:

Reiner Draht, 75° C, 25 mm Druck. Nach 2 Minuten Reaktionszeit: Parawasserstoffkonzentration 33·5%.

Sauerstoffzusatz, bei 75° C und 25 mm Druck nach 5 Minuten Parawasserstoffkonzentration 46%.

Je 2 Minuten auf 80°, 85°, 90°, 95°, 100°, 105° und 110° C erhitzt, keine Reduktion. Bei 120° C 2 Minuten lang keine Veränderung, dann plötzliche Reduktion innerhalb einiger Sekunden.

Diese Induktionszeit ist ganz unregelmässig, wird jedoch bei höheren Temperaturen kleiner, bei 110° bis 120° C ist sie von der Grössenordnung 1 Minute.

Diese Reduktionserscheinung kann in folgender Weise gedeutet werden: Der Wasserstoff hat am oxydierten Nickeldraht einen grösseren Akkomodationskoeffizienten¹⁾ als am blanken Draht. Die Ursache hierfür ist dieselbe wie bei Wolfram (siehe S. 379). Der mit einer zusammenhängenden Oxydhaut überzogene Nickeldraht zeigt im Wasserstoff eine verhältnismässig gute Wärmeabgabe. Die Reduktion dieser Oxydhaut geht bei einer Temperatur von 100° noch sehr langsam vor sich. Entsteht aber durch Reduktion in der Oxydhaut ein Riss, so wird hier die Nickeloberfläche freigelegt, und es tritt an

¹⁾ D. R. HUGHES und R. C. BEVAN, Pr. Roy. Soc. (A) 117, 101. 1928.

dieser Stelle infolge des kleineren Akkomodationskoeffizienten des Wasserstoffs am blanken Nickel eine lokale Überhitzung auf. Durch diese Temperatursteigerung wird die Reduktion stark beschleunigt und von dem zufällig entstandenen Riss aus wird die ganze Oxydoberfläche abgelöst.

2. Akkomodationseffekte.

Ausser den Unstetigkeiten in der Temperatur- und Druckabhängigkeit der Parawasserstoffumwandlung zeigt auch die Wärmeabgabe des Nickeldrahtes im Wasserstoff eine Anomalie. Die diesbezüglichen Versuche wurden im Reaktionsgefäß bei Kühlung mit flüssiger Luft ausgeführt, indem der Draht in Wasserstoff von verschiedenem Druck auf eine bestimmte Temperatur gebracht und der Energieverbrauch gemessen wurde. Die Resultate der bei verschiedenen Drucken und Temperaturen ausgeführten Versuche sind in Fig. 7 graphisch dargestellt. Auf der Abszissenachse ist die Drahttemperatur, auf der Ordinatenachse der Energieverbrauch in Watt aufgetragen. Bei einer bestimmten Temperatur zeigt der Wattverbrauch einen Sprung. Um z. B. den Draht in 10 mm Wasserstoff auf einer Temperatur von 0°C zu halten, braucht man 2.52 Watt, um ihn auf $+10^{\circ}\text{C}$ zu erhitzen, werden nur 2.38 Watt, also 0.14 Watt weniger benötigt.

Der Knickpunkt im Wattverbrauch verschiebt sich mit steigendem Druck zu höheren Temperaturen, oberhalb 25 mm Druck wird er undeutlicher. Unterhalb 2 mm Druck erstreckt sich der Knick über ein weiteres Temperaturgebiet, wahrscheinlich deswegen, weil der dünne Draht infolge der starken Wärmeableitung an den

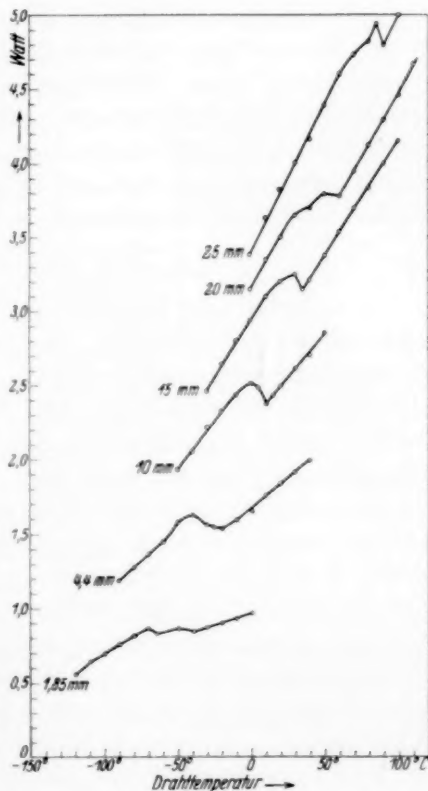


Fig. 7.

Enden und der schwächeren Wärmeleitfähigkeit des verdünnten Wasserstoffs keine gleichmässige Temperatur besitzt (Näheres siehe Diskussion).

3. Die Reproduzierbarkeit der Resultate.

Auf einem und demselben Draht liessen sich sämtliche Resultate bezüglich der Katalyse, wie auch der Wärmeabgabe sehr gut reproduzieren. Selbst durch eine Oxydation und nachträgliche Reduktion ändert sich kaum die katalytische Wirksamkeit und die Wärmeübertragung. An einem zweiten Draht liessen sich sowohl die Knickpunkte in der Temperaturabhängigkeit der Reaktionsgeschwindigkeit, wie auch in der Wärmeabgabe annähernd bei denselben Temperaturen wiederfinden (siehe Fig. 8, Erklärung weiter unten). Allerdings war die Druckabhängigkeit der Reaktionsgeschwindigkeit nicht so ausgeprägt wie beim ersten Draht, doch zeigte sich auch hier qualitativ derselbe Verlauf, insbesondere konnte die starke Abnahme der Reaktionsgeschwindigkeit bei Druckzunahme nachgewiesen werden.

4. Deutung der Versuchsergebnisse.

Zur Deutung der Resultate bezüglich der Parawasserstoffkatalyse wird der bei den Versuchen an Platin und Wolfram angenommene Mechanismus herangezogen. Die Unstetigkeitsstelle in der Temperatur- und Druckabhängigkeit der Reaktionsgeschwindigkeit und in der Wärmeabgabe zeigt, dass bei bestimmten Wasserstoffdrucken und Temperaturen aus dem Wasserstoff und dem Nickel eine feste Oberflächenverbindung, ein Nickelhydrid, entsteht¹⁾. Die Hydridbildung und -zersetzung am Draht geht im Temperaturintervall von -50° bis $+100^{\circ}$ C in 15 bis 30 Sekunden vor sich. Das Existenzgebiet dieses Nickelhydrids ist durch die in Fig. 8 wiedergegebene Zersetzungsdruckkurve begrenzt. Diese erhält man aus den jeweiligen Druck- und Temperaturkoordinaten der Knickpunkte (dabei ist, wie üblich, der Logarithmus der H_2 -Drucke gegen die reziproke absolute Temperatur aufgetragen). Die aus katalytischen Versuchen und aus Messungen der Wärmeabgabe erhaltenen Knickpunkte liegen ebenso wie auch die an verschiedenen Drähten bestimmten auf der gleichen Kurve. Im Gebiet links von dieser Kurve besteht die Oberfläche des Drahtes aus

¹⁾ Aus der Druckunabhängigkeit der H_2 -Sorption von Nickel bei 19° C wurde schon von N. NIKITIN (Z. anorg. Ch. **154**, 130. 1926), ferner aus der Konstanz der H_2 -Aufnahme eines Nickelkolloids von W. SCHENK und D. WEICHSELFELDER (Ber. Dtsch. chem. Ges. **56**, 2230. 1926) die Existenz von Nickelhydrid angenommen.

Nickelhydrid, rechts besteht sie aus „blankem“ Nickel. Es sei gleich hier erwähnt, dass dieses Hydrid nicht mit dem von DAVISSON und GERMER¹⁾ und RUPP²⁾ durch Elektroneninterferenz nachgewiesenen Hydrid zu identifizieren ist. Dieses ist noch bei 0.001 mm H_2 -Druck und Zimmertemperatur beständig und enthält den Wasserstoff im doppelten Gitterabstand in das Nickelgitter eingelagert. Demnach kommt ihm etwa die Formel Ni_8H zu. Das der Zersetzungsdruckkurve (Fig. 8) zugeordnete Hydrid ist bei Zimmertemperatur nur oberhalb 10 mm Wasserstoffdruck beständig und enthält vermutlich mehr Wasserstoff.

Unter Berücksichtigung der Hydridbildung können wir die Druckabhängigkeit der Reaktionsgeschwindigkeit (siehe Fig. 6) folgendermassen deuten: Bei kleinen Drucken adsorbiert zunächst die blanke Nickeloberfläche (es ist wahrscheinlich, dass sich schon bei sehr kleinen Drucken das Hydrid Ni_8H ausbildet und dann die Rolle des „blanken“ Nickels übernimmt). Mit steigendem Druck nimmt die Adsorption zu, folglich steigt auch die pro Sekunde desorbierte Menge, d. h. die Reaktionsgeschwindigkeit (siehe S. 382, Gebiet 1). Bei einem bestimmten Druck wird der Sättigungsdruck des Oberflächenhydrids erreicht und es bildet sich nun so lange das Nickelhydrid, bis die ganze Drahtoberfläche überzogen ist. Die hierbei verbrauchte Wasserstoffmenge ist wegen der Kleinheit der Oberfläche sehr gering. Die Katalyse nimmt an dieser Stelle stark ab (Gebiet 2), weil die „blanken“ Nickeloberfläche nicht mehr zugänglich ist und die Reaktion an ihr nicht mehr erfolgen kann. Bei weiterer Drucksteigerung beginnt auch die Nickelhydridoberfläche zu adsorbieren, die Umwandlung findet nun am Hydrid statt. Die Zunahme der absoluten Reaktionsgeschwindigkeit mit zunehmendem Druck im Gebiet 3 zeigt, dass immer wachsende Mengen adsorbiert werden, und dass bei den vorliegenden Versuchsbedingungen das Sättigungsgebiet des Nickelhydrids für die Wasser-

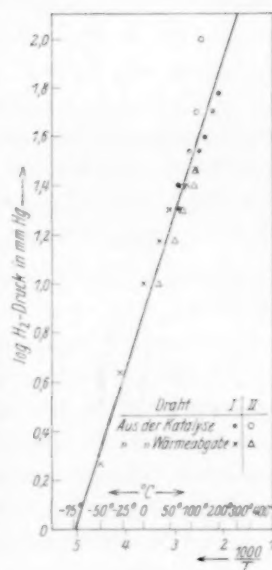


Fig. 8.

¹⁾ L. H. GERMER, Z. Physik **54**, 408. 1929. ²⁾ E. RUPP, Z. Elektrochem. **35**, 537. 1929.

stoffadsorption im allgemeinen nicht erreicht wird. Nur bei den niedrigsten Temperaturen und hohen Drucken ist dies der Fall.

Die sprunghafte Änderung in der Wärmeabgabe des Drahtes lässt sich ohne weiteres durch die Bildung und Zersetzung des Nickelhydrids erklären. Bei tieferen Temperaturen besteht die Drahtoberfläche aus Nickelhydrid, der Wärmeaustausch zwischen Gas und Draht erfolgt dann durch Reflexion der auftreffenden H_2 -Moleküle an diesem Hydrid. Bei höheren Temperaturen zersetzt es sich und die Reflexion findet an der Nickeloberfläche selbst statt. Nach ähnlichen Betrachtungen wie im Falle Wolfram-, „Oxyd“ (siehe S. 379) muss der Wärmeaustausch am Hydrid vollständiger sein als am Nickel.

Die Bildung und Zersetzung des Nickelhydrids sowie der Akkomodationskoeffizient von Wasserstoff am Nickelhydrid soll noch näher untersucht werden.

Nach den vorliegenden Befunden ist zu vermuten, dass die meisten Hydrierungsreaktionen, die bei höheren Wasserstoffdrucken und in Gegenwart von Nickel verlaufen, durch das Nickelhydrid katalysiert werden.

III. Zusammenfassung.

1. Die Ortho-Parawasserstoffumwandlung erfolgt sowohl an Wolfram wie auch an Nickel nach demselben Mechanismus, wie an Platin. Der Wasserstoff wird an diesen Metallen atomar adsorbiert und bei der Desorption in der Zusammensetzung abgegeben, die dem Gleichgewicht bei der jeweiligen Temperatur des Metalls entspricht.

2. Von Platin unterscheidet sich Wolfram und Nickel darin, dass bei den letztgenannten Metallen der Sauerstoff vergiftend wirkt.

3. Bei Nickel tritt bei bestimmten Bedingungen Bildung eines Oberflächenhydrids auf, dessen Wasserstoffzersetzungsdrucke bestimmt werden.

4. Durch die Vergiftung des Wolframs und des Nickels sowie durch die Nickelhydridbildung werden gewisse Akkomodationseffekte hervorgerufen, die durch den angenommenen Reaktionsmechanismus einheitlich erklärt werden können.

Es ist mir eine angenehme Pflicht, auch an dieser Stelle Herrn Prof. Dr. K. F. BONHOEFFER für sein förderndes Interesse an dieser Arbeit meinen besten Dank auszusprechen.

Über Additionsverbindungen der Cellulose mit Hydrazin, Äthylendiamin und Tetramethyldiamin.

(Röntgenographische Untersuchung an Cellulosederivaten. XI¹⁾.)

Von

C. Trogus und K. Hess.

(Aus dem Kaiser Wilhelm-Institut für Chemie, Abteilung Hess.)

(Mit 7 Figuren im Text.)

(Eingegangen am 20. 8. 31.)

Es wird auf röntgenographischem Wege der Nachweis geführt, dass Cellulose mit Hydrazin, Äthylendiamin und Tetramethyldiamin zu Verbindungen zusammentreten kann. Dabei wird eine einfache Beziehung zwischen den Dimensionen der in das Cellulosegitter eingetretenen Basenmoleküle und den Äquatorialinterferenzen festgestellt.

Bei Versuchen zur Aufklärung der Vorgänge bei der Einwirkung von wässrigen Kupferäthylendiaminlösungen auf Cellulosefasern wurde beobachtet, dass hochkonzentrierte, wässrige Äthylendiaminlösungen das Gitter der Cellulose vollkommen verändern, ohne dass dabei die typischen Kennzeichen der Faserquellung (plastisch-elastischer Zustand, Faserkontraktion, Quellungsfiguren, Desorientierung der Micellarreihen) beobachtet werden. Weiterhin ergab sich, dass ähnliche Erscheinungen bei der Einwirkung von anderen Diaminen, z. B. bei der Einwirkung von Hydrazin und Tetramethyldiamin auftreten.

Die Gitteränderung ist an eine untere Grenzkonzentration gebunden, die z. B. bei Hydrazin zwischen 38 und 42 Gewichtsproz. Hydrazin liegt; ähnliche Werte gelten für Äthylendiamin. Unterhalb dieser Grenzkonzentration wird das Gitter der Cellulose (natürliche Cellulose und Hydratcellulose) nicht verändert. In Fig. 1, 3 und 5 sind die Faseraufnahmen der natürlichen Cellulose (Ramie) nach Durchtränkung mit 64 gewichtsproz. Hydrazin, 77.5 gewichtsproz. Äthylendiamin und reinem Tetramethyldiamin wiedergegeben (in allen Fällen 18/20° C), in Fig. 2, 4 und 6 die entsprechenden Faseraufnahmen bei Verwendung von Hydratcellulose unter denselben Bedingungen.

¹⁾ X. Mitteilung: Vgl. Z. physikal. Ch., BODENSTEIN-Festband, 385. 1931.

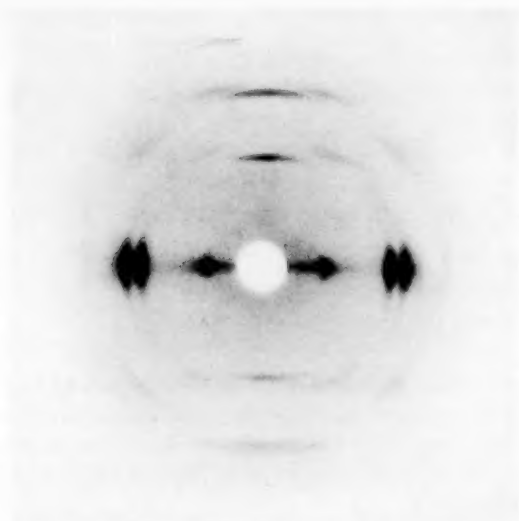


Fig. 1¹⁾. Röntgenfaserdiagramm von Hydrazincellulose I (aus natürlicher Ramie).

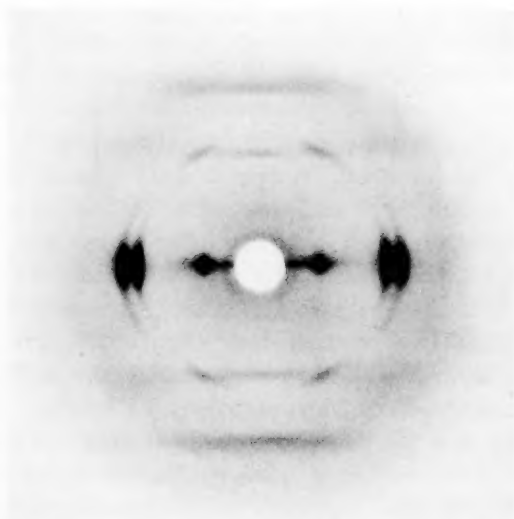


Fig. 2. Röntgenfaserdiagramm von Hydrazincellulose II (aus mercerisierter Ramie).

¹⁾ Der Plattenabstand in Fig. 1 bis 6 beträgt 49 mm.

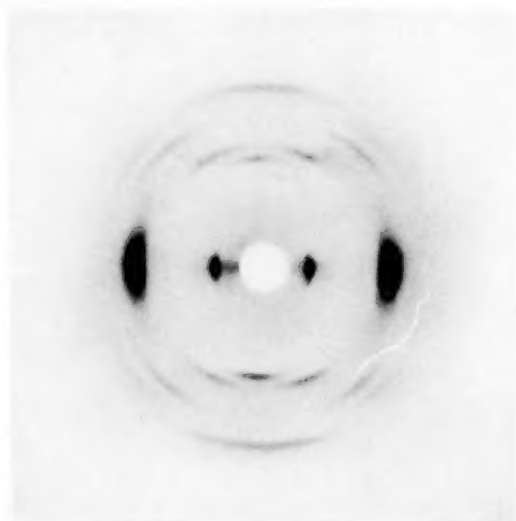


Fig. 3. Röntgenfaserdiagramm von Äthylendiamincellulose I
(aus natürlicher Ramie).

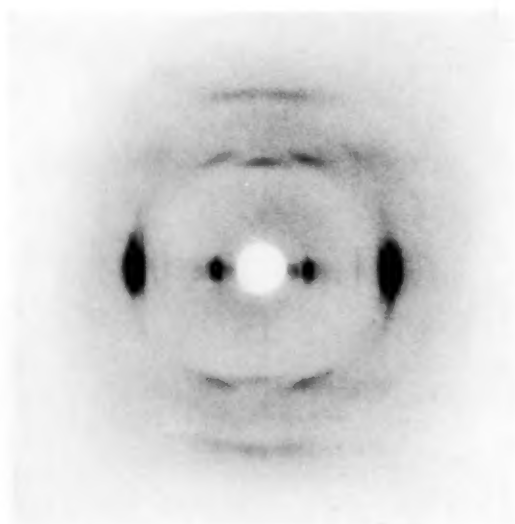


Fig. 4. Röntgenfaserdiagramm von Äthylendiamincellulose II
(aus mercerisierter Ramie).

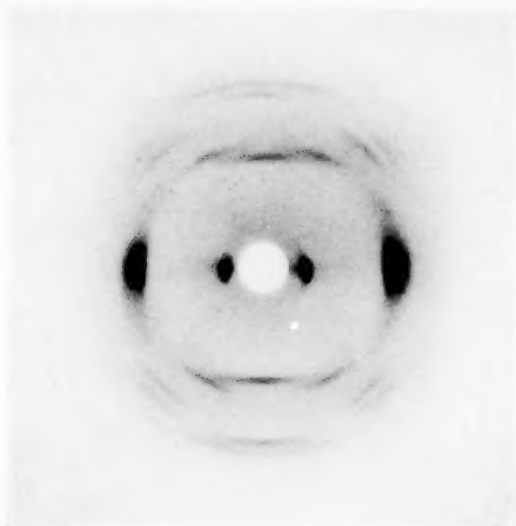


Fig. 5. Röntgenfaserdiagramm von Tetramethyldiamincellulose I
(aus natürlicher Ramie).

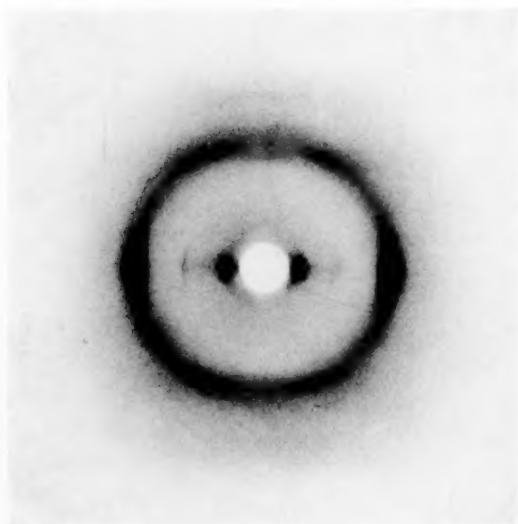


Fig. 6. Röntgenfaserdiagramm von Tetramethyldiamincellulose II
(aus mercerisierter Ramie).

Tabelle 1. Äquatorinterferenzen der Diamincellulosen.

| Verbindung | A_0 d in Å | Inten- sität | A_1 d in Å | Inten- sität | A_2 d in Å | Inten- sität | A_3 d in Å | Inten- sität |
|--|-------------------|-----------------|-------------------|-----------------|--------------------|-----------------|-------------------|-----------------|
| Natürliche Cellulose | 6'14 | m.st. | 5'45 | m.st. | 4'01 | s.st. | — | — |
| Hydratecellulose | 7'42 | st. | 4'59 | s.st. | 4'23 | s.st. | — | — |
| Hydrazincellulose I (aus na- türlicher Cellulose) | 9'76 | s.st. | 4'77 | s.st. | 4'28 | s.st. | 3'86 | sch. |
| Hydrazincellulose II (aus Hydratecellulose) | 10'30 | s.st. | 4'68 | s.st. | 4'25 | s.st. | 3'42 | sch. |
| Äthylendiamincellulose I (aus natürlicher Cellulose) | 11'86 | st. | 5'81 | sch. | 4'94 ¹⁾ | st. | 4'47 | st. |
| Äthylendiamincellulose II (aus Hydratecellulose) . . | 12'23 | st. | 4'76 | m.st. | 4'38 | st. | — | — |
| Tetramethyldiamincellu- lose I (aus natürlicher Cellulose) | 14'15 | s.st. | 7'03 | sch. | 4'76 | s.st. | 4'42 | st. |
| Tetramethyldiamincellu- lose II (aus Hydratecellu- lose) | 14'65 | s.st. | 7'25 | sch. | 4'56 ²⁾ | s.st. | — | — |

| Verbindung | A_4 d in Å | Inten- sität | A_5 d in Å | Inten- sität |
|--|-------------------|-----------------|-------------------|-----------------|
| Hydrazincellulose I (aus na- türlicher Cellulose) | 3'40 | s.sch. | — | — |
| Tetramethyldiamincellulose I (aus natürlicher Cellulose) | 4'19 | sch. | 3'76 | s.sch. |

Tabelle 2. Bestimmung der Faserperiode bei Diamin-
cellulosen (vorläufig).

| Substanz | Bezeich- nung der Interferenz | Inten- sität | d in Å | Schicht- linien- produkt | Faser- periode | Bemerkungen |
|--------------------------|-------------------------------------|-------------------|----------|--------------------------------|-------------------|--------------------------------|
| Hydrazincellu- lose I | II ₀ | st. | 5'21 | 0'2957 | 10'42 | diatrop |
| | II ₁ | sch. | 4'36 | 0'2974 | 10'36 | |
| | II ₂ | m.st. | 3'44 | 0'2935 | 10'50 | |
| | III ₀ | st. | 3'43 | 0'4495 | 10'29 | diatrop |
| | III ₁ | st. | 3'29 | 0'4461 | 10'38 | |
| | III ₂ | sch. | 2'56 | 0'4434 | 10'42 | |
| Hydrazincellu- lose | I ₀ | s.sch. | 10'25 | 0'1502 | 10'25 | diatrop (schwer vermessbar) |
| | I ₁ | sch. | 4'15 | 0'1484 | 10'37 | |
| | II ₀ | st. | 5'21 | 0'2956 | 10'42 | diatrop |
| | II ₁ | st. | 4'56 | 0'2848 | 10'45 | |
| | III ₀ | st. ¹⁾ | 3'43 | 0'4485 | 10'29 | pseudodiatrop? |

1) Schwer zu trennen.

2) Möglicherweise Doppelinterferenz.

Tabelle 2 (Fortsetzung).

| Substanz | Bezeichnung der Interferenz | Intensität | d in Å | Schichtlinienprodukt | Faserperiode | Bemerkungen |
|-----------------------------------|-----------------------------|------------|----------|----------------------|--------------|---------------|
| Äthylendiamin-cellulose I | Π_0 | st. | 5.28 | 0.2919 | 10.56 | diatrop |
| | Π_1 | st. | 4.85 | 0.2948 | 10.44 | |
| | Π_2 | m.st. | 3.92 | 0.2924 | 10.52 | |
| | Π_3 | sch. | 3.55 | 0.2906 | 10.60 | |
| | III_0 | st. | 3.42 | 0.4492 | 10.26 | pseudodiatrop |
| | IV_0 | sch. | 2.62 | 0.5839 | 10.48 | pseudodiatrop |
| Äthylendiamin-cellulose II | Π_0 | st. | 5.26 | 0.2923 | 10.52 | diatrop |
| | Π_1 | st. | 4.85 | 0.2941 | 10.48 | |
| | III_0 | m.st. | 3.45 | 0.4455 | 10.35 | diatrop? |
| | III_1 | sch. | 3.26 | 0.4423 | 10.42 | |
| Tetramethylen-diamin-cellulose I | Π_0 | st. | 5.24 | 0.2939 | 10.48 | diatrop |
| | Π_1 | m.st. | 4.66 | 0.3002 | 10.28 | |
| | Π_2 | sch. | 3.84 | 0.2927 | 10.52 | |
| | Π_3 | s.sch. | 3.49 | 0.2956 | 10.41 | |
| | III_0 | st. | 3.49 | 0.4418 | 10.47 | diatrop |
| | III_1 | m.st. | 3.29 | 0.4469 | 10.33 | |
| Tetramethylen-diamin-cellulose II | Π_0 | sch. | 5.21 | 0.2956 | 10.42 | diatrop |
| | Π_1 | st. | 4.55 | 0.3010 | 10.27 | |
| | III_0 | sch. | 3.43 | 0.4491 | 10.29 | diatrop |

In Tabelle 1 und 2 sind die Ergebnisse der Vermessung der Diagramme zusammengestellt. Es geht daraus hervor, dass die Faserperiode aus allen sechs Diagrammen zu etwa 10.3 Å berechnet werden kann. Doch sind Anzeichen dafür vorhanden, dass dieser Wert nur einen Minimalwert darstellt. Möglicherweise ist die Faserperiode dreibis viermal so gross.

In Fig. 7 sind in der Verschiebekamera die ausgeblendeten Äquatoren der Diagramme im Vergleich mit natürlicher Ramie und mercerisierter Ramie unter vergleichbaren Bedingungen aufgenommen. Aus diesem Vergleich ergibt sich besonders eindrucksvoll, dass die intensive Interferenz A_0 mit steigender Molekülgrösse des Diamins nach dem Durchstosspunkt zu verschoben wird. Nach Tabelle 1 ist die Verschiebung¹⁾ annähernd konstant (2.0 ± 0.2 bis $2.4 \pm 0.2 \text{ Å}$). Die

¹⁾ Berechnet man aus Flüssigkeitsaufnahmen von 64% igem Hydrazin, 78% igem Äthylendiamin und Tetramethyldiamin in üblicher Weise mit Hilfe der KEESOMschen Formel die mittleren Molekülabstände (STEWART, KEESOM, KATZ), so

Grösse der Verschiebung stimmt gut mit der Grösse von zwei Methylen-
gruppen ($-CH_2-CH_2-$) überein (etwa 2 Å), um die sich die Basen
voneinander unterscheiden. Es kann daraus der Schluss gezogen
werden, dass die Substitutionsrichtung im Cellulosekristallit quer zur
Faserachse liegt, und dass die Basen jeweils nur mit einer NH_2 -Gruppe
an einer und derselben C_6 -Gruppe angreifen.

Die Gitteränderung der Cellulose durch Diamine ist als Ausdruck
für die Bildung einer Verbindung zwischen Diamin und Cellulose auf-
zufassen. Da eine zur Kondensation mit den Diaminen befähigte

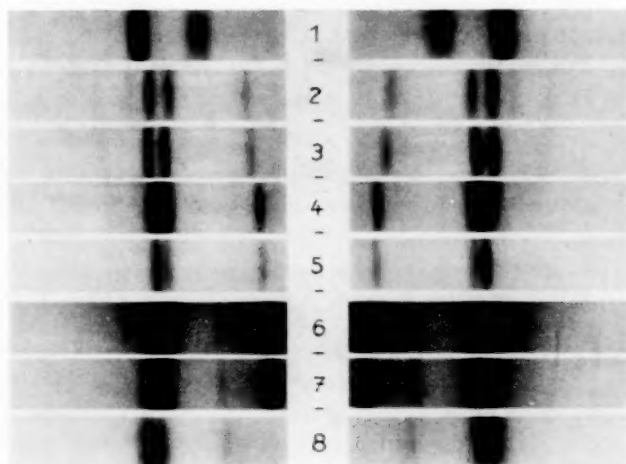


Fig. 7. Vergleich der Äquatorialinterferenzen der Diamincellulosen (Verschiebe-
kamera, Plattenabstand 62,5 mm). 1. Natürliche Ramie. 2. Hydrazincellulose I.
3. Hydrazincellulose II. 4. Äthylendiamincellulose I. 5. Äthylendiamincellulose II.
6. Tetramethyldiamincellulose I. 7. Tetramethyldiamincellulose II. 8. Hydrat-
cellulose.

Gruppe (z. B. CO -Gruppe) in der Cellulose kaum in Frage kommen
dürfte, liegt die Annahme nahe, dass es sich in diesen Verbindungen
um Molekülverbindungen eines bisher unbekannten Typus
handelt.

Versuche zur Ermittlung eines Äquivalenzverhältnisses zwischen
Cellulose und Diamin führten noch nicht zu befriedigenden Ergebnissen.

ergibt sich, dass die Zunahme dieser Werte [Hydrazin (4,2 Å) Äthylendiamin
(5,3 Å) Tetramethyldiamin (5,5 Å)] in keiner Beziehung zu dieser Gitterver-
größerung stehen.

Tabelle 3. Bestimmung der Äquivalenz von Cellulose: Hydrazin in Hydrazincellulose in Abhängigkeit von der Konzentration.

| Vers. Nr. | % N_2H_4 | Mole C_6 | Mole N_2H_4 | N_2H_4/C_6 | Bemerkungen |
|-----------|------------|------------|---------------|--------------|--------------------------------------|
| 1 | 50.62 | 2.78 | 3.04 | 1.09 | natürliche Cellulose, Trockenversuch |
| 2 | 64.08 | 3.04 | 2.28 | 0.75 | |
| 3 | 50.93 | 3.09 | 2.73 | 0.885 | |
| 4 | 63.52 | 2.40 | 3.20 | 1.334 | |
| 5 | 64.08 | 2.98 | 4.31 | 1.45 | natürliche Cellulose |
| 6 | 64.08 | 3.09 | 3.70 | 1.20 | |
| 7 | 64.08 | 2.875 | 5.78 | 2.01 | Hydratecellulose |
| 8 | 64.08 | 3.09 | 2.59 | 0.839 | |
| 9 | 63.52 | 3.75 | 5.25 | 1.40 | natürliche Cellulose |
| 10 | 50.62 | 3.24 | 0.86 | 0.265 | |
| 11 | 41.51 | 2.94 | 2.45 | 0.835 | |
| 12 | 64.08 | 2.994 | 3.25 | 1.07 | |
| 13 | 38.0 | 3.061 | 1.064 | 0.348 | |
| 14 | 45.2 | 3.01 | 2.34 | 0.777 | |
| 15 | 51.2 | 3.01 | 1.71 | 0.567 | |
| 16 | 38.37 | 2.30 | 0.965 | 0.420 | |
| 17 | 64.08 | 2.88 | 2.87 | 0.997 | |

In Tabelle 3 sind die gefundenen Werte für die Reaktion zwischen Cellulose und Hydrazin zusammengestellt. Es geht daraus hervor, dass je C_6 -Gruppe in Abhängigkeit von der Hydrazinkonzentration zwischen 0.5 und 1.5 Moleküle Hydrazin aufgenommen werden. Zur Ermittlung der von der Faser chemisch gebundenen Hydrazinmenge wurde die von O. SCHWARZKOPF¹⁾ für die Ermittlung der Natronlaugeaufnahme durch Cellulose bei der Bildung von Alkalicellulose vorgeschlagene Methode in entsprechend abgeänderter Form benutzt. Es ist noch nicht gelungen, die Ursache für die im vorliegenden Fall beobachteten Schwankungen der Werte zu beseitigen. Bei Versuchen, das Äquivalenzverhältnis nach der von VIEWEG für Natroncellulose angegebenen Differenzmethode zu bestimmen, führte bei Hydrazincellulose zu einer Zusammensetzung von 1.0 bis 1.3 Mole Hydrazin je C_6 , und für Äthylendiamincellulose zu einer Zusammensetzung von 0.9 bis 1.4 Mole Äthylendiamin je C_6 . Obwohl diese Bestimmungsmethode in quellbaren Systemen mit erheblichen Fehlern behaftet ist, geht aus den Bestimmungen hervor, dass die Äquivalenz in der Nähe von 1 Mol Base : 1 Mol $C_6H_{10}O_5$ liegt.

¹⁾ O. SCHWARZKOPF, Cellulosechemie **12**, 33. 1931.

Die Diaminverbindungen der Cellulose werden bei mehrtägigem Lagern über Phosphorpentoxyd bei 760 mm nicht zerstört. Indessen weisen die Röntgendiagramme der in dieser Weise getrockneten Präparate kleine Veränderungen auf, die noch weiterer Untersuchung bedürfen.

Beim Behandeln mit Wasser werden die Verbindungen zersetzt, wobei aus den aus natürlicher Cellulose bereiteten Verbindungen natürliche Cellulose, aus den aus Hydratcellulose bereiteten Verbindungen Hydratcellulose regeneriert wird. Es ist daher nicht möglich, ähnlich wie es in anderen Fällen beobachtet worden ist, die beiden Celluloseformen über ihre Verbindungen mit den Diaminen ineinander umzuwandeln.

In der Umsetzung mit Diaminen bestätigt sich erneut die grosse Reaktionsfähigkeit der Cellulose mit Basen. Da Cellulose in ähnlicher Weise auch mit Säuren reagiert (Additionsverbindungen mit Salpetersäure und Überchlorsäure) muss man annehmen, dass in der Cellulose eine Substanz mit sauren und basischen Gruppen vorliegt, die für das Molekül den Charakter eines starken Dipols erwarten lassen.

Die Untersuchung wird fortgesetzt.

Der Notgemeinschaft der Deutschen Wissenschaft sind wir für finanzielle Unterstützung zu wärmstem Dank verpflichtet.

Nach der Drucklegung eingegangene Berichtigung.

In der Abhandlung von ARNOLD WEISSBERGER und RUDOLF SÄNGEWALD:

„Über das elektrische Moment polymorpher Weinsäuredimethylester
und über die Existenz racemischer Verbindungen in Lösung“

Z. physikal. Ch. (B) **13**, 383. 1931, ist folgendes zu berichtigen:

S. 384 Zeile 16 von oben: lies -9.1° statt $+9.1^\circ$

S. 384 „ 2 „ unten: „ -8.8° „ $+8.8^\circ$.

An die Herren Mitarbeiter!

Die Herren Verfasser werden im Interesse der von ihnen selbst gewünschten raschen Veröffentlichung ihrer Aufsätze gebeten, die *Korrekturen so bald als irgend möglich zu erledigen* und an den Verlag zurückzuschicken sowie von der Zusendung eines Revisionsabzugs der Korrektur nach Möglichkeit abzusehen.

Die Herausgeber und der Verlag
der Zeitschrift für Physikalische Chemie.